

S T A T I S T I C K É Z P R A C O V Á N Í  
V Y S L E D K U M Ě Ř E N í

Josef Humlíček

B r n o  
1984

(C) Josef Humlíček, Univerzita J. E. Purkyně

V každém konkrétním měření je třeba zvládnout řadu problémů, většinou specifických pro danou úlohu. Správnost zjištěných hodnot záleží především na potlačení systematických chyb, způsobených měřicími přístroji nebo nevhodným postupem. Jádro tohoto problému vystihuje jednoduchý příklad: kratším metrem naměříme nesprávné (příliš velké) délky. Práce spojená s odstraněním možných systematických chyb představuje obvykle značnou část námehy vynaložené na celé měření.

Přes obrovskou různorodost mají měření výrazný společný rys. Je jím fakt, že opakování za stejných podmínek nedává přesné stejné výsledky. Jenak se uplatňují náhodné chyby měření, nebo se také samotné studované objekty projevují v náhodných jevech, které se řídí pouze pravděpodobnostními zásadami (měření v mikrosvětě). Potřebné informace ze souboru naměřených dat, ve kterém jsou patrné náhodné vlivy, získáváme vhodným statistickým zpracováním.

Popisem náhodných jevů se zabývá teorie pravděpodobnosti, zpracováním pozorovaných náhodných výsledků další matematická disciplína - statistika. Statistika používá pojmu a výsledků teorie pravděpodobnosti; v kapitole I tohoto skripta jsou potřebné základy vyloženy. K pochopení statistických metod je třeba porozumět pravděpodobnostnímu popisu náhodných jevů a zvládnout použití náhodných proměnných. Užitečné je i podrobnejší seznámení s několika typy často používaných rozdělení, které je rovněž soustředěno do kapitoly I.

Základní statistickou úlohou je zjišťování hodnot parametrů zkoumaného objektu z naměřených dat. Metody statistického odhadu parametrů jsou obsahem kapitoly II. Velká pozornost je věnována příkladům; je možné, že pro řadu čtenářů by mohly být právě tyto příklady vhodnými "vstupními body" do studované problematiky. Výklad statistických testů hypotéz v kapitole III je stručný, možnost posoudit rozdělení dat pomocí testů dobré shody by však měla být považována za důležitou.

K dalšímu studiu je k dispozici rozsáhlá literatura, z dostupných pramenů jsem vybral jen malou část. Zacházení s výsledky měření může být pobídkou k přemýšlení o základech matematiky náhody. Myslím, že by bylo chybou podceňovat elementární úvahy o pravděpodobnosti, které najdeme v několika dobrých populárních knihách.

O b s a h

I. Základní pojmy teorie pravděpodobnosti

1. Pravděpodobnost jevů	..... ?
Klasická, statistická a moderní definice. Podmíněná pravděpodobnost. Nezávislost náhodných jevů. Pravidla pro výpočet pravděpodobnosti. Bayesův teorém.	
2. Náhodné proměnné	..... 9
Diskrétní funkce rozdělení. Hustota pravděpodobnosti. Funkce náhodné proměnné. Distribuční funkce. Náhodné vektory. Marginální a podmíněné rozdělení. Nezávislost náhodných proměnných. Výsledky měření - hodnoty náhodných proměnných. Dva příklady měření.	
3. Vlastnosti náhodných proměnných	..... 16
Střední hodnota. Disperze. Střední kvadratické odchylka. Medián a moda. Momenty. Asymetrie a exces. Momenty náhodného vektoru. Disperze, kovariance, korelační koeficient. Lineární funkce. Hustota součtu a podílu. Přibližné formule pro střední hodnotu a disperzi (přenos chyb). Charakteristická funkce.	
4. Normální rozdělení	..... 22
Hustota, momenty, distribuční funkce. Integrál pravděpodobnosti. Standardní odchylka. Lineární funkce normálně rozdělených proměnných.	
5. Zákon velkých čísel a centrální limitní věta	..... 25
Slabý a silný zákon velkých čísel. Limitní rozdělení průměru. Příklad součtu rovnoměrně rozdělených čísel.	
6. Vícerozměrné normální rozdělení	..... 28
Hustota pravděpodobnosti. Kovarianční matice a forma. Dvojrozměrné rozdělení. Elipsy konstantní hustoty. Pravděpodobnostní obsah eliptických a obdélníkových oblastí. Význam korelačního koeficientu.	
7. Binomické a Poissonovo rozdělení	..... 32
8. $\chi^2$ , Studentovo a F- rozdělení	..... 34
9. Další modelová rozdělení, souvislost některých rozdělení	..... 40

II. Odhad parametrů

10. Metody statistického odhadu parametrů	..... 45
Přímo a nepřímo měřené hodnoty. Konzistence a nestranost odhadu. Efektivnost. Odhad intervalem a oblastí hodnot. Metoda maximální věrohodnosti. Metoda nejménších čtverců. Rozdělení dat. Poznámka o inversní pravděpodobnosti.	
11. Příklad měření časového intervalu	..... 50
Odhad střední hodnoty a disperze. Odhad intervalem. Kontrola pravděpodobnostního obsahu. Rozdělení dat.	

12. Odhad přímo měřených hodnot	.....	57
Váhy. Disperze pro jednotkovou váhu. Odhad střední hodnoty. Odhad intervalem při známé disperzi. Odhad disperze. Odhad intervalem při odhadované disperzi. Kontrola rozdělení dat. Nápadně vybočující hodnoty.		
13. Příklad měření doby života částice	.....	62
Odhad střední hodnoty exponenciálního rozdělení. Výsledky simulovaného experimentu.		
14. Odhad polohy symetrického rozdělení	.....	65
Optimální odhad pro několik modelových rozdělení. Asymptotické disperze. Vyrovnáný průměr. Příklad dvou odhadů polohy rovnoměrného rozdělení.		
15. Příklad odhadu dvou parametrů lineárního modelu	.....	68
Odhad při normálním rozdělení dat. Maximální věrohodnost a nejmenší čtverce. Výsledky simulovaného měření. Odhady eliptickou oblastí. Intervalové odhady jednotlivých parametrů. Pokus s jiným rozdělením dat.		
16. Odhad parametrů lineárního modelu	.....	76
Lineární model. Odhad parametrů. Odhad elipsoidem při známé disperzi. Odhad disperze. Odhad elipsoidem při odhadované disperzi. Intervalové odhady jednotlivých parametrů. Souvislost se sumou čtverců odchylek.		
17. Odhad parametrů nelineárního modelu	.....	80
Nelineární model. Maximální věrohodnost a nejmenší čtverce. Lineární přiblížení.		
18. Příklad odhadu parametrů nelineárního modelu	.....	81
Proložení modelu simulovanými daty (Lorentzův profil). Summa čtverců v okolí minima. Odhad intervalem. Vliv zadání pěvných hodnot některých parametrů.		

### III. Testy hypotéz

19. Statistické testy hypotéz	.....	86
Souvislost odhadu a testu. Jednoduchá a složená hypotéza. Chyby prvního a druhého druhu. Kritické oblast. Síla testu. Příklad testu zvětšení střední hodnoty. Testy dobré shody.		

20. Pearsonův test dobré shody	.....	88
Histogram. Pearsonův $\chi^2$ - test. Příklad použití -		
- data ze spektrometru. Volba buněk histogramu.		
21. Kolmogorovův test dobré shody	.....	92
Empirická distribuční funkce. Kolmogorovův test.		
Test rozdělení dat z §11. Test rozdělení dat		
ze spektrometru.		

Dodatek

D1. Tabulka $\chi^2$ - rozdělení	.....	95
D2. Tabulka Studentova rozdělení	.....	96
D3. Tabulka F- rozdělení	.....	97

Literatura

..... 101

## I. Základní pojmy teorie pravděpodobnosti

### 1. Pravděpodobnost jevů

V současné době je známo několik různých způsobů, jak definovat kvantitativně pravděpodobnost. Uvedeme tři možnosti, z nichž každá je svým způsobem výhodná a jejich srovnání je užitečné pro pochopení problémů stojících v cestě zavedení univerzální definice.

#### Klasická definice

Pravděpodobnost  $P(X)$  určitého jevu  $X$  určujeme pomocí souboru tzv. elementárních událostí; označíme je  $E_1, \dots, E_n$ . To jsou navzájem se vylučující jevy (nastane-li jeden z nich, nemůže nastat žádný jiný), o kterých předpokládáme, že jsou "stejně pravděpodobné", nebo "stejně možné". Pojem stejné pravděpodobnosti pokládáme za základní a nesnažíme se ho definovat. Jestliže se událost  $X$  dá vyjádřit jako sjednocení některé  $m$ -tice různých elementárních událostí (t.j. jako jev, při kterém nastane  $E_{k_1}$  nebo  $E_{k_2}$  nebo ... nebo  $E_{k_m}$  se všemi  $k_1, \dots, k_m$  navzájem různými), položíme  $P(X)=m/n$ . Pro pravděpodobnost elementárních událostí máme tedy  $P(E_i)=1/n$  pro všechna  $i=1, \dots, n$ . Podstatná část klasické definice se dá vyjádřit následující formulací:

$$\text{pravděpodobnost} = \frac{\text{počet příznivých případů}}{\text{počet všech možných případů}} . \quad (1)$$

Ihned je ovšem třeba doplnit, že všechny možné případy musí být stejně pravděpodobné. Vyhledání množiny elementárních událostí je obvykle založeno na symetrii objektů, které se daného jevu účastní (házení ideální kostkou, ruleta apod.). Není-li počet všech možných případů konečný, ale zůstává možnost zdůvodnit stejnou pravděpodobnost některých podmnožin všech jevů, lze definici (1) v podstatě zachovat. Namísto počtu případů je nutné použít vhodnou míru velikosti oblastí, reprezentujících příznivé a všechny možné případy (délky, plochy atd.). V učebnicích teorie pravděpodobnosti se v těchto okolnostech používá termínu geometrické pravděpodobnosti.

#### Statistická definice

Označme počet pokusů, ve kterých je sledován náhodný jev  $X$ , symbolem  $N$ . Jestliže v  $M$  případech jev  $X$  nastal (ve zbylých  $N-M$  nenastal), můžeme definovat pravděpodobnost  $X$  jako limitu relativní četnosti  $M/N$  při  $N$  jdoucím k nekonečnu:

$$P(X) = \lim_{N \rightarrow \infty} \frac{M}{N} . \quad (2)$$

Pravděpodobnosti nemožného a jistého jevu jsou tedy po řadě 0 a 1; je-li  $X$  sjednocením konečného počtu vzájemně se vylučujících jevů  $A_1, \dots, A_k$ , je zřejmě  $P(X)=P(A_1)+\dots+P(A_k)$ . Tato definice vyjadřuje intuitivně zřejmou souvislost mezi pravděpodobností jevu a jeho četností při opakování pokusů. Ačkoliv nekonečnou řadu pokusů nelze realizovat, předpo-

kládáme, že s rostoucím počtem N se relativní četnost blíží k limitní (i když třeba neznámé) hodnotě (2).

### Moderní definice

Pravděpodobnost je definována jako číselná míra na množině F všech možných jevů (ke každému jevu z F je přiřazeno číslo P), splňující následující axiomy:

- (a)  $P(X) \geq 0$  pro všechny jevy  $X \in F$ ;
  - (b)  $P(U) = 1$  pro jistý jev U (t.j. pro takový jev U, který nastává vždycky);
  - (c)  $P(A_1 \text{ nebo } A_2 \text{ nebo } \dots) = P(A_1) + P(A_2) + \dots$  pro libovolné vzájemně se vylučující jevy  $A_1, A_2, \dots$
- (3)

Vlastnosti pravděpodobnosti z klasické a statistické definice jsou zachovány, chybí jen předpis pro konkrétní přiřazení numerických hodnot pravděpodobnosti jednotlivým jevům. To je přirozený důsledek požadavku, aby aparát teorie pravděpodobnosti mohl popisovat stejné množiny náhodných jevů, které se liší hodnotami pravděpodobnosti. Například při házení ideální kostkou je  $P(1) = \dots = P(6) = 1/6$  (1, ..., 6 znamená výsledek hodu); odchylka od ideálního stavu vede k tomu, že se pravděpodobnosti liší od  $1/6$  a jejich hodnoty je třeba zjistit. Metody teorie pravděpodobnosti však fungují stejně v obou případech.

Pokueme se zformulovat hodnocení uvedených třech způsobů definice pravděpodobnosti. Pravděpodobnostní míra zavedená v moderní definici (3) reprezentuje podstatnou stránku společného náhodným jevům; je vhodná pro logickou výstavbu matematické teorie. Klasický přístup (1) prokáže mnohdy cenné služby proto, že vyplňuje kostru obecných požadavků hodnotami pravděpodobnosti. I když velmi často potřebnou množinu stejně pravděpodobných elementárních událostí nenajdeme, nemá cenu klasickou definici odmítout; tím bychom se ochudili o mnoho podstatných výsledků. Statistikou definici (2) považují někteří autoři za jedině správnou. V souvislosti se dvěma druhými alternativami se však přikloníme k chápání vztahu (2) jako prostředku k určení numerických hodnot pravděpodobnostní míry z moderní definice.

### Podmíněná pravděpodobnost

Pravděpodobnost náhodného jevu A za předpokladu, že nastává jev B, se nazývá podmíněnou pravděpodobností. Značí se symbolem  $P(A|B)$  a je definována pomocí pravděpodobnosti jevu AaB (t.j. jak A tak B současně) následujícím vztahem:

$$P(AaB) = P(B)P(A|B). \quad (4)$$

$P(A|B)$  je definována jen tehdy, je-li  $P(B) > 0$ .

### Nezávislost náhodných jevů

Dva náhodné jevy  $A_1, A_2$  se nazývají nezávislé, jestliže

$$P(A_1 \text{ a } A_2) = P(A_1)P(A_2), \text{ nebo } P(A_1 | A_2) = P(A_1), P(A_2 | A_1) = P(A_2). \quad (5)$$

Pojem nezávislosti náhodných jevů je velmi důležitý a budeme se s ním často setkávat. Hřejší definice se však prakticky ke zjištění nezávislosti nepoužívá. Obvykle využijeme empirických poznatků k tomu, abychom rozhodli o správnosti tvrzení, že dva jevy spolu "nijak nesouvisí", a tuto nazávislost vyjádříme formálně vztahem (5).

### Jednoduchá pravidla

Pro pravděpodobnost, že jev A nenastane (neboli nastane jev, který označíme buď ne A, nebo  $\bar{A}$ ), vychází

$$P(\bar{A}) = 1 - P(A). \quad (6)$$

Pravděpodobnost, že nastane alespoň jeden ze dvou jevů A, B je

$$P(A \text{ nebo } B) = P(A) + P(B) - P(A \text{ a } B). \quad (7)$$

Pokud jev A musí nastat společně s právě jedním z k navzájem se vylučujících jevů  $B_1, \dots, B_k$ , to jest A je jev  $(A \text{ a } B_1) \text{ nebo } (A \text{ a } B_2) \text{ nebo } \dots \text{ nebo } (A \text{ a } B_k)$ , dostaneme s pomocí (3) a (4) tzv. vzorec pro úplnou pravděpodobnost

$$P(A) = \sum_{i=1}^k P(A \text{ a } B_i) = \sum_{i=1}^k P(B_i)P(A | B_i). \quad (8)$$

### Bayesův teorém

Z definice podmíněné pravděpodobnosti (4) plyne rovnost

$$P(A \text{ a } B) = P(B)P(A | B) = P(A)P(B | A), \text{ nebo } P(B | A) = \frac{P(A | B)P(B)}{P(A)} \quad (9)$$

To je tzv. Bayesův teorém. Je-li jev B jedním ze vzájemně se vylučujících jevů  $B_i$  ze vztahu (8), vychází odtud Bayesův vzorec ve tvaru

$$P(B_i | A) = \frac{P(A | B_i)P(B_i)}{\sum_{i=1}^k P(B_i)P(A | B_i)}. \quad (10)$$

Smysl posledního vztahu je následující: předpokládejme, že umíme najít pravděpodobnosti  $P(B_1), \dots, P(B_k)$  a  $P(A | B_1), \dots, P(A | B_k)$  pro náhodný jev A, který nastává spolu s právě jedním jevem  $B_1, \dots, B_k$ . Budeme-li ze všech výsledků pokusu vybírat jen ty, ve kterých událost A nastala, dává Bayesův teorém (10) hodnoty pravděpodobností  $P(B_i | A)$ , které se obecně liší od výchozích pravděpodobností  $P(B_i)$  náhodných jevů  $B_i$  sledovaných bez doplňující podmínky.

## 2. Náhodné proměnné

Studium náhodných jevů lze převést beze zbytku do řeči čísel prostřednictvím náhodné proměnné. To je proměnná veličina, jejíž hodnoty reprezentují všechny možné výsledky pokusu s náhodnými jevy; pravděpodobnosti jednotlivých výsledků jsou tak přiřazeny odpovídajícím hodnotám náhodné proměnné. Nejrůznější náhodné jevy, jejichž struktura je z hlediska uplatnění pravděpodobnostních zákonů stejná, jsou popisovány

jedinou náhodnou proměnnou. Pro zkoumání náhodných proměnných máme k dispozici rozvinutý aparát matematické analýzy.

Je-li množina hodnot náhodné proměnné  $\eta$  spočetná (lze indexovat přirozenými čísly, například  $y_1, y_2, \dots$ ), nazýváme  $\eta$  diskrétní náhodnou proměnnou a soubor pravděpodobností  $P_\eta(y_1), P_\eta(y_2), \dots$  diskrétní funkci rozdělení. Výhodné je použití spojitých náhodných proměnných, které mohou nabývat libovolných reálných hodnot ze spojitych intervalů. Potom není možné přiřadit dané hodnotě nenulovou pravděpodobnost, protože pravděpodobnost spojená s intervalem hodnot by byla nekonečná. Přirozeným řešením tohoto problému je zavedení hustoty pravděpodobnosti; zadáné hodnotě  $x$  spojité náhodné proměnné  $\xi$  přiřadíme hustotu

$$f_\xi(x) = \lim_{\Delta x \rightarrow 0} \frac{P(x \leq \xi < x + \Delta x)}{\Delta x}. \quad (1)$$

Pravděpodobnost, že hodnoty  $\xi$  jsou z intervalu  $(x, x + \Delta x)$  je tedy pro dostatečně malé  $\Delta x$  úměrná délce intervalu a koeficientem úměrnosti je hustota  $f_\xi(x)$ , neboli "pravděpodobnost na jednotkovou délku intervalu". Protože hustota je obecně funkci  $x$ , dostaneme pravděpodobnost pro konečný interval  $(x_1, x_2)$  integrací:

$$P(x_1 \leq \xi < x_2) = \int_{x_1}^{x_2} f_\xi(x) dx. \quad (2)$$

S použitím Diracovy  $\delta$ -funkce můžeme rozšířit zadání hustoty tak, že v sobě zahrnuje vlastnosti diskrétní i spojité náhodné proměnné. Například funkce

$$f_\xi(z) = P_1 \delta(z-z_1) + P_2 \delta(z-z_2) + (1-P_1-P_2) \frac{1}{\sqrt{2\pi}} \exp\left(-\frac{z^2}{2}\right) \quad (3)$$

je hustotou náhodné proměnné  $\xi$ , která nabývá hodnot  $z_1, z_2$  s pravděpodobnostmi  $P_1, P_2$  a libovolných reálných hodnot různých od  $z_1, z_2$  s hustotou danou třetím členem na pravé straně vzorce (3). Aby byl splněn požadavek pravděpodobnosti jistého jevu (viz (1.3)), musí platit

$$\sum_i^\infty P_\eta(y_i) = 1, \quad \int_{-\infty}^{\infty} f_\xi(x) dx = 1 \quad (4)$$

pro libovolnou náhodnou proměnnou  $\eta$  (diskrétní) a  $\xi$  (spojitou, vně intervalů možných hodnot položíme hustotu rovnou nule). Z této normovací podmínky vychází faktor u exponenciální funkce ve vztahu (3).

### Funkce náhodné proměnné

Je-li  $\xi$  náhodná proměnná s hustotou  $f_\xi(x)$  a  $h(x)$  zadáná funkce s hodnotami  $y = h(x)$ , můžeme přenést pravděpodobnostní míru z intervalů hodnot  $x$  do intervalů hodnot  $y$ , které jsou pak hodnotami nové náhodné proměnné (označme ji  $\eta$ ). Je-li transformace  $y = h(x)$  vzájemně jednoznačná, přechází interval  $(x, x+dx)$  v  $(y, y+dy)$  pro infinitesimální  $dx$ ; přitom je  $dy = |h'(x)| dx$ . Pro hustotu  $g_\eta(y)$  tedy s pomocí definice (1) dostaneme

$g_{\xi}(y) dy = f_{\xi}(x) dx$ , a odtud

$$g_{\xi}(y) = \frac{f_{\xi}(x)}{|h'(x)|} = \frac{f_{\xi}[h^{-1}(y)]}{|h'[h^{-1}(y)]|}. \quad (5)$$

$h'(x)$  značí derivaci a  $h^{-1}(y)$  funkci inverzní:  $x=h^{-1}(y)$ , která podle předpokladu a jednoznačnosti transformace  $y=h(x)$  existuje. V opačném případě se několik intervalů  $(x, x+dx)$  transformuje do intervalu  $(y, y+dy)$  a pravděpodobnosti je třeba sečítat přes všechny takové intervaly I:

$$g_{\xi}(y) = \sum_I \frac{f_{\xi}(x)}{|h'(x)|}. \quad (6)$$

Vypočteme například hustotu pro  $y=x^2$ ; v tomto případě je  $x=\sqrt{y}$  pro  $x>0$  a  $x=-\sqrt{y}$  pro  $x<0$ . Odtud dostaneme

$$g_{\xi}(y) = \frac{f_{\xi}(-\sqrt{y}) + f_{\xi}(\sqrt{y})}{2\sqrt{y}} \text{ pro } y>0. \quad (7)$$

### Distribuční funkce

K úplnému zadání náhodné proměnné  $\xi$  se vedle diskrétní funkce rozdelení  $P_{\xi}(x_i)$  nebo hustoty pravděpodobnosti  $f_{\xi}(x)$  výborně hodí distribuční funkce  $F_{\xi}(x)$  reálného argumentu  $x \in (-\infty, \infty)$ , definovaná vztahem

$$F_{\xi}(x) = P(\xi < x) \quad (8)$$

pro diskrétní i spojitě  $\xi$ . Souvislost s hustotou spojité náhodné proměnné je podle (2) následující:

$$F_{\xi}(x) = \int_{-\infty}^x f_{\xi}(t) dt, \quad f_{\xi}(x) = \frac{dF_{\xi}(x)}{dx}. \quad (9)$$

Druhá z hořejších formulí platí jen tehdy, existuje-li v bodě x derivace. Funkce  $F_{\xi}(x)$  má podle definice (8) skok velikosti  $P(x_i)$  v každém bodě  $x_i$ , pro který je pravděpodobnost  $P(x_i)$  nenulová. Distribuční funkce je neklesající, podle vztahu (4) jsou její krajní funkční hodnoty 0 a 1. Diskrétní funkci rozdelení, hustotě nebo distribuční funkci se stručně říká rozdelení náhodné proměnné.

### Vícerozměrné náhodné proměnné

Některé náhodné jevy je třeba popisovat několika reálnými čísly. Uspořádaná n-tice reálných čísel  $(x_1, \dots, x_n)$ , které je přiřazena pravděpodobnostní míra, tvorí hodnotu n-rozměrné náhodné proměnné. Často se používá také název náhodný vektor nebo soustava náhodných proměnných. Diskrétní náhodný vektor je určen pravděpodobnostmi  $P(x_1, \dots, x_n)$  toho, že jednotlivé složky nabudou diskrétních hodnot  $x_{11}, x_{12}, \dots, x_{n1}, x_{n2}, \dots$ . Hodnotám  $(x_1, \dots, x_n)$  spojitého náhodného vektoru  $\xi$  (podtržením symbolu zdůrazňujeme, že jde o veličinu s několika komponentami  $\xi_1, \dots, \xi_n$ ) je přiřazena hustota pravděpodobnosti

$$f_{\xi}(x_1, \dots, x_n) = \lim_{\Delta x_1 \rightarrow 0, \dots, \Delta x_n \rightarrow 0} \frac{P(x_1 \in [x_1, x_1 + \Delta x_1] \text{ a } \dots \text{ a } x_n \in [x_n, x_n + \Delta x_n])}{\Delta x_1 \dots \Delta x_n}. \quad (10)$$

Distribuční funkce je definována zobecněním vztahu (8):

$$F_{\underline{f}}(x_1, \dots, x_n) = P(f_1 < x_1 \text{ a } \dots \text{ a } f_n < x_n). \quad (11)$$

Souvislost hustoty a distribuční funkce je analogií první z formulí (9):

$$F_{\underline{f}}(x_1, \dots, x_n) = \int_{-\infty}^{x_1} \dots \int_{-\infty}^{x_n} f_{\underline{f}}(t_1, \dots, t_n) dt_1 \dots dt_n. \quad (12)$$

Pravděpodobnost nalezení funkčních hodnot v zadané oblasti  $\Omega$  je

$$P(\underline{f} \in \Omega) = \int_{\Omega} \dots \int f_{\underline{f}}(t_1, \dots, t_n) dt_1 \dots dt_n. \quad (13)$$

### Marginální a podmíněné rozdělení

Projekce funkcí charakterizujících rozdělení pravděpodobnosti náhodného vektoru do "směru" jeho komponent jsou označovány jako marginální rozdělení. Například

$$\begin{aligned} r_{f_1}(x_1) &= \int_{-\infty}^{\infty} \dots \int_{-\infty}^{\infty} f_{\underline{f}}(x_1, t_2, \dots, t_n) dt_2 \dots dt_n, \\ F_{f_1}(x_1) &= F_{\underline{f}}(x_1, \infty, \dots, \infty) \end{aligned} \quad (14)$$

jsou marginální hustotou a marginální distribuční funkcí proměnné  $f_1$ .

Tyto funkce určují pravděpodobnosti intervalů proměnné  $f_1$  bez ohledu na hodnoty zbylých komponent  $\underline{f}$ .

Řady rozdělovacích funkcí (jedna nebo několik komponent zadány pevně) se nazývají podmíněné rozdělení. Například z hustoty (10) dostaneme hustotu pravděpodobnosti komponent  $f_2, \dots, f_n$  za předpokladu, že  $f_1$  nabývá pevné hodnoty  $x_1^{(0)}$ , vhodným normováním:

$$r_{f_2, \dots, f_n}(x_2, \dots, x_n | f_1 = x_1^{(0)}) = \frac{f_{\underline{f}}(x_1^{(0)}, x_2, \dots, x_n)}{r_{f_1}(x_1^{(0)})}, \quad (15)$$

kde  $r_{f_1}$  je marginální hustota (14). Normovací faktor vychází přímo z definice podmíněné pravděpodobnosti (1.4).

### Nezávislost náhodných proměnných

Má-li náhodný vektor  $\underline{f}$  s komponentami  $f_1, \dots, f_n$  distribuční funkci, která je součinem marginálních distribučních funkcí,

$$F_{\underline{f}}(x_1, \dots, x_n) = F_{f_1}(x_1) \dots F_{f_n}(x_n), \quad (16)$$

označujeme náhodné proměnné  $f_1, \dots, f_n$  jako nezávislé. Smysl tohoto pojmenování je stejný jako v případě nezávislosti náhodných jevů (§1, vzorec (1.5)) – pravděpodobnosti nebo hustoty jedné z proměnných nezáleží vůbec na ostatních. Hodnoty podmíněných pravděpodobností nebo hustot (jako např. ve vztahu (15)) jsou tytéž jako bez podmínek, což se dá stručně vyjádřit formulí (16),

### Výsledky měření – hodnoty náhodných proměnných

Měřením získáváme ve velké většině případů soubory čísel. Náhodné

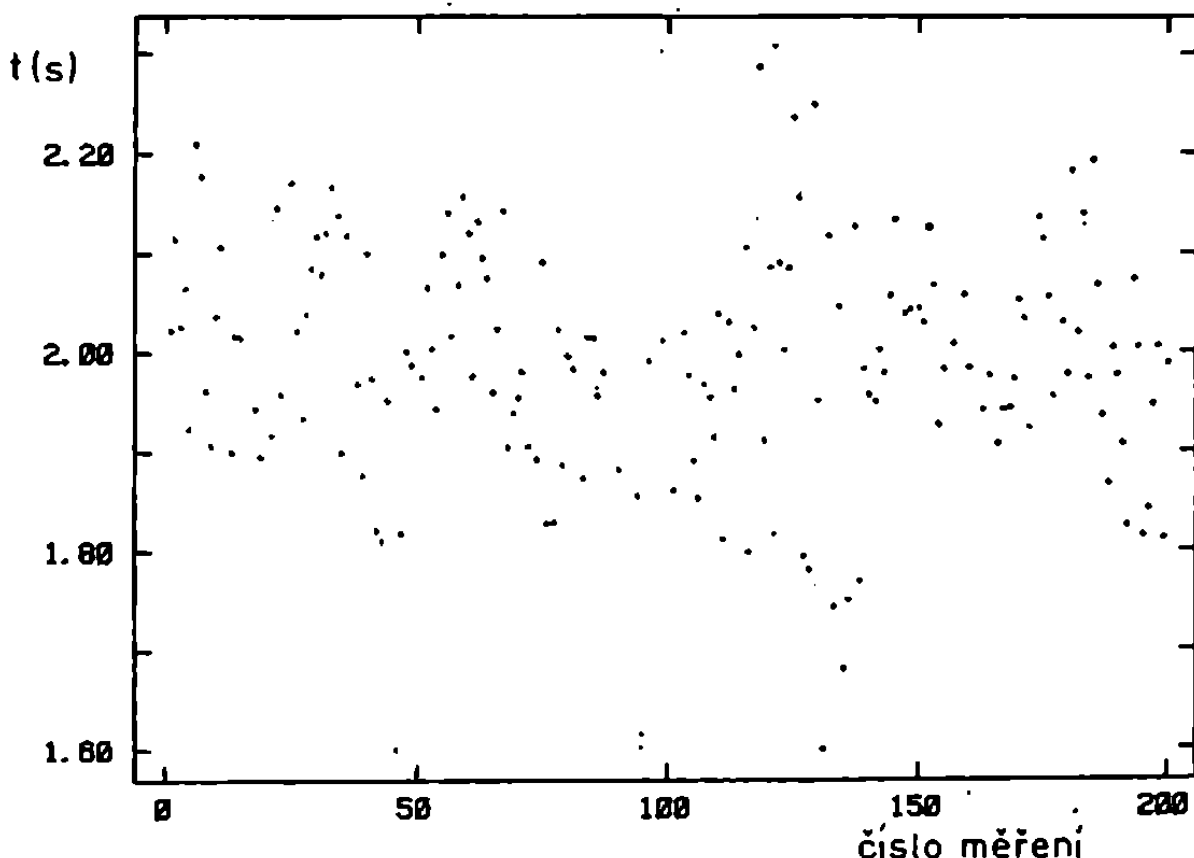
vlivy působící v procesu měření vedou k tomu, že je více možných výsledků. O tom se můžeme přesvědčit pouze opakováním celého měření v nezměněných podmínkách. Zkušenost nás učí, že se relativní četnosti možných výsledků s rostoucím počtem opakování blíží k pevným hodnotám → pravděpodobnostem. V opačném případě usuzujeme na změnu podmínek měření.

Naměřená čísla jsou hodnotami náhodných proměnných. Cílem je ovšem zjištění vlastností měřeného objektu, které jsou reprezentovány pevnými hodnotami parametrů. Tyto parametry, spolu s náhodnými vlivy, formují náhodné proměnné popisující výsledky měření. Vhodným zpracováním dat se snažíme potlačit vliv náhody a "určit", nebo lépe "odhadnout", hledané parametry. Statistický termín odhad je lepší, protože hodnoty parametrů vypočtené z naměřených dat tvoří opět náhodné proměnné a jejich souvislost se skutečnými parametry můžeme vyjádřit pouze pomocí pojmu pravděpodobnosti.

Na závěr ukážeme výsledky dvou typických měření.

#### Příklad měření časového intervalu

K měření byl vybrán časový interval známé délky – totiž doba, za kterou proběhne vteřinová ručička hodin dva vteřinové dílky ciferníku. Při průchodu ručky výchozí značkou byly "ručně" spuštěny, a po průběhu dvou dílků opět ručně zaastaveny, digitální hodiny, které počítaly intervaly délky asi 0.58 ms (milisekundy). Počet tisků digitálních hodin byl



Obr. 1. Výsledky opakováno měření času.

zaregistrován a měření opakováno celkem 200-krát. Vynecháme diskusi o možných systematických chybách, které by mohla být velmi obsáhlé i v tomto jednoduchém případě. Výsledky jednotlivých měření se ovšem liší od správné hodnoty  $t_0 = 2s$ , především proto, že se málokdy podaří spustit a zastavit hodiny při průchodu ručky přesně nad značkou ciferníku. Soubor výsledků je graficky znázorněn v obr. 1. Registrované údaje jsou hodnotami diskrétní náhodné proměnné (pouze celočíselné násobky délky tiku digitálních hodin. V § 11 se k tomuto příkladu vrátíme a uvidíme, že toto diskrétní rozdělení může být velmi dobře approximováno jedním známým rozdělením spojitým; ukážeme, jak je třeba získaná data zpracovat a jak interpretovat výsledky.

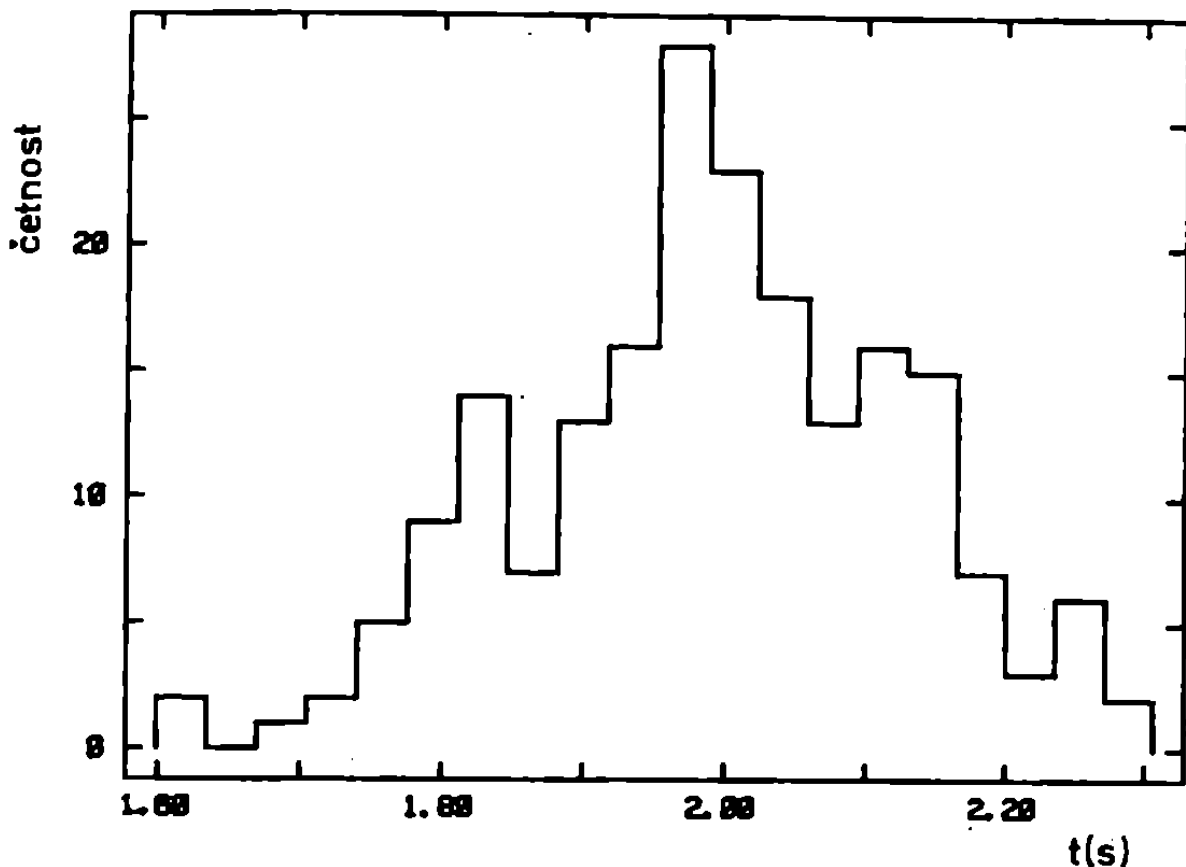
Hrubou představu o hustotě pravděpodobnosti příslušné náhodné proměnné poskytuje histogram na obr. 2. Výškou sloupců jsou tam znázorněny počty naměřených hodnot ve dvaceti stejně dlouhých intervalech mezi největším a nejmenším údajem. Četnosti v jednotlivých sloupcích histogramu jsou náhodné veličiny, proto dochází k výrazným odchylkám od předpokládaného plavného průběhu hustoty pravděpodobnosti.

V tomto měření se uplatňují náhodné vlivy prostřednictvím nekontrolovatelných lidských reakcí. Zřejmě by nebylo příliš obtížné spouštění a zastavování hodin zautomatizovat a tím měření zpřesnit. Pro následující příklad bylo zvoleno měření, do jehož průběhu člověk nezasahuje.

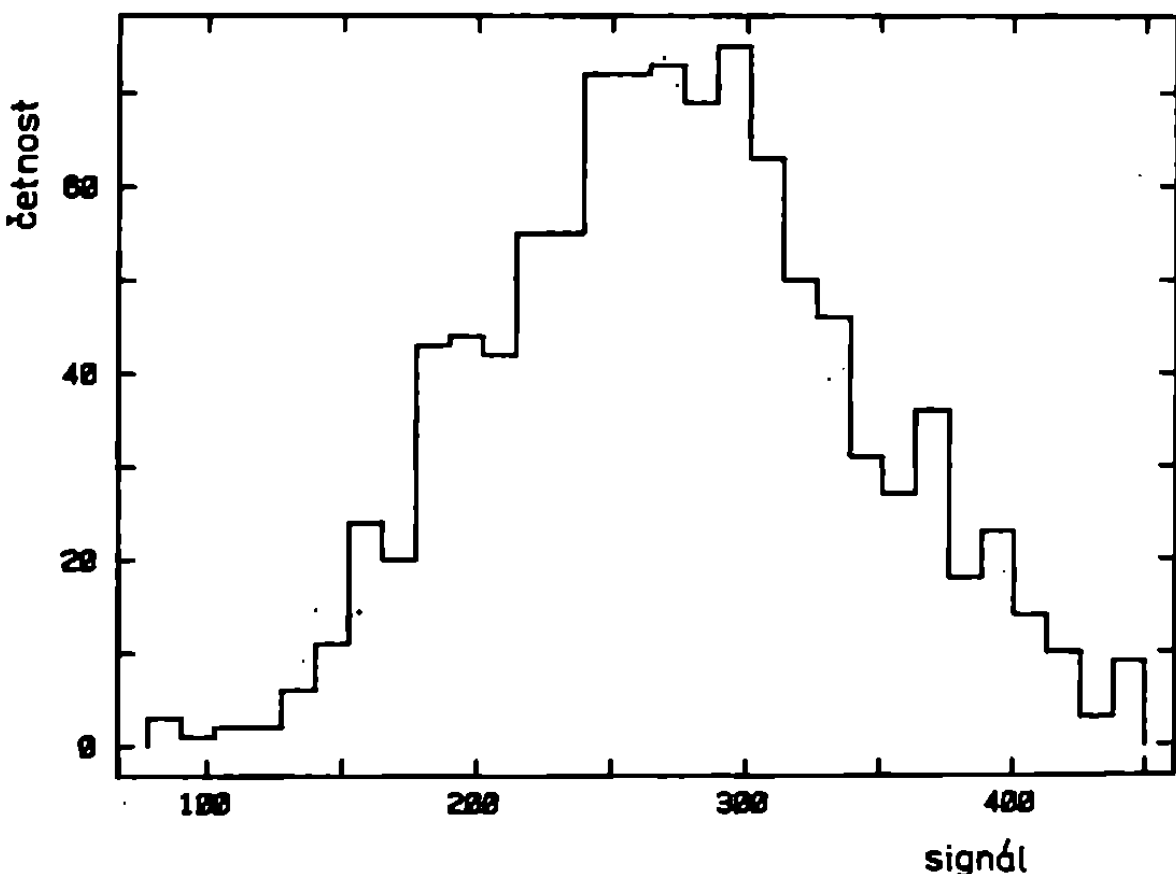
#### Příklad měření propustnosti spektrometrem

Propustnost (podíl intenzit prošlého a dopadajícího světla) zkoumaného vzorku se měří spektrometrem. Ze světla vycházejícího ze zdroje se vybírá určité pásmo vlnových délek. Světelný paprsek je rozdělen na dvě části, z nichž jedna prochází vzorkem a druhá jde mimo něj. Obě části jsou registrovány detektorem, který převádí intenzity na elektrické napětí. V elektrických obvodech jsou tyto signály zpracovány tak, že údajem na výstupu je propustnost vzorku. Činnost moderních spektrometrů je řízena počítačem a měření, včetně zápisu výsledků, může probíhat zcela automaticky. Přesto jsou výsledky opět zatíženy náhodnými chybami.

Pro naši ukázku jsme vybrali data pořízená na kvalitním infračerveném spektrometru, na kterém byla pevně nastavena vlnová délka světla a počítač registroval v konstantních časových intervalech výstupní signál. Tisíc zapsaných hodnot je znázorněno v obr. 3 ve formě histogramu. Aby vynikl diskrétní charakter výsledků, zachovali jsme signál ve tvaru celých čísel - tak, jak vychází z analogově-digitálního převodníku v přístroji. Propustnost dostaneme násobením tohoto údaje konstantou, danou nastavením aparatury; nesprávné nastavení vede k systematickým chybám. Kolísání signálu, označované jako šum, je způsobeno především náhodnými procesy ve zdroji světla a v detektoru. V dobrém přístroji jsou tyto prvky vybrány tak, aby poměr signál/šum byl co největší. Zlepšení dosažitelné s přijatelnou námahou obvykle není možné. Návod k optimálnímu zpracování dat,



2. Histogram sestavený z dat v obr. 1.



Obr. 3. Histogram výsledků 1000x opakováního měření na infráčerveném spektrometru.

které jsou k dispozici, poskytují statistické metody. Analýzou rozdělení náhodné veličiny z tohoto příkladu se budeme zabývat v §§ 20 a 21; ukážeme, že je stejného typu jako v hořejším příkladě ručního měření času.

### 3. Vlastnosti náhodných proměnných

Náhodná proměnná je úplně zadána svou distribuční funkcí, případně hustotou nebo diskrétní funkcí rozdělení. Velmi užitečné jsou následující číselné hodnoty, které vystihují některé podstatné vlastnosti rozdělení pravděpodobnosti.

#### Střední hodnota

náhodné veličiny  $\eta$  (diskrétní, rozdělení  $P(y_i)$ ) a  $f$  (spojité, s hustotou  $f(x)$ ) je definována vztahem

$$E(\eta) = \sum_i y_i P(y_i), \quad E(f) = \int_{-\infty}^{\infty} xf(x) dx, \quad (1)$$

jestliže tyto výrazy existují. Pro zadané funkce  $g(\eta)$ ,  $h(f)$  jsou střední hodnoty

$$E[g(\eta)] = \sum_i g(y_i) \cdot P(y_i), \quad E[h(f)] = \int_{-\infty}^{\infty} h(x) f(x) dx. \quad (2)$$

Je třeba si uvědomit, že střední hodnota není funkcí hodnot náhodné proměnné; symbolem  $E(f)$  vyjadřujeme, že jde o střední hodnotu proměnné  $f$ .

Je to lineární funkcionál, z definice (2) vychází

$$E[ad_1(f) + bd_2(f)] = aE[d_1(f)] + bE[d_2(f)] \quad (3)$$

pro libovolná čísla  $a, b$ . Střední hodnota charakterizuje polohu rozdělení. Označuje se někdy také jako matematické očekávání, expektance, střed rozdělení. Pro některé rozdělení toto číslo neexistuje, např. pro tzv. Cauchyovu hustotu  $f(x) = [\pi(1+x^2)]^{-1}$  (viz §9) není integrál (1) definován.

#### Disperze

je střední hodnota kvadrátů odchylek od střední hodnoty náhodné veličiny:

$$D(\eta) = E\{[y - E(\eta)]^2\} = \sum_i [y_i - E(\eta)]^2 P(y_i),$$
$$D(f) = E\{[x - E(f)]^2\} = \int_{-\infty}^{\infty} [x - E(f)]^2 f(x) dx; \quad (4)$$

pokud existuje, charakterizuje šířku rozdělení. Velmi často se pro ni užívá symbolu  $\sigma^2$ , hodnotě  $\sigma$  se pak říká střední kvadratická odchylka.

#### Medián a moda

jsou dalšími charakteristikami polohy rozdělení. Medián  $x_{1/2}$  je taková hodnota náhodné proměnné  $f$  s distribuční funkcí  $F(x)$ , pro kterou

$$F(x_{1/2}) = P(x < x_{1/2}) = 1/2. \quad (5)$$

Jinými slovy: pravděpodobnosti, že  $f$  nabude hodnot pod a nad mediánem jsou stejné a rovnají se jedné polovině. Pro symetrické rozdělení je medián

roven střední hodnotě. Moda  $x_m$  je hodnotou, pro kterou má hustota maximum  $f(x_m)$ , nebo nastává maximum pravděpodobnosti  $P(x_m)$  v případě diskrétního rozdělení.

### Momenty

Momentem řádu  $k$  náhodné veličiny  $\xi$  vzhledem k číslu  $c$  se nazývá střední hodnota  $E[(\xi - c)^k]$ . Momenty vzhledem k počátku ( $c=0$ ) bývají označovány jako algebraické:

$$\gamma_k = E(\xi^k), \quad (6)$$

momenty vzhledem ke střední hodnotě ( $c = E(\xi)$ ) jsou centrální:

$$\mu_k = E\{[\xi - E(\xi)]^k\}. \quad (7)$$

Střední hodnota je tedy prvním algebraickým momentem ( $\mu_1$ ), disperze druhým centrálním momentem ( $\mu_2$ ).

### Asymetrie a exces

Asymetrie  $\gamma_1$  je definována jako

$$\gamma_1 = \sqrt{\mu_3^2 / \mu_2^3} = \mu_3 / \mu_2^{3/2}. \quad (8)$$

Pro symetrické rozdělení je  $\mu_3$  a tedy i asymetrie nulová. Pro nesymetrické rozdělení je  $\gamma_1$  vhodnou mírou odchylky od symetrie. Exces

$$\gamma_2 = \mu_4 / \mu_2^2 - 3 \quad (9)$$

je zvolen tak, aby pro normální rozdělení (§4) byl nulový. Umožňuje rychlé posouzení odlišnosti zadaného rozdělení od normálního (je mírou "špičatosti" ...  $\gamma_2 > 0$  má rozdělení ostřejší,  $\gamma_2 < 0$  rozdělení plošší než normální se stejnou disperzí).

### Momenty náhodného vektoru

Pojmy střední hodnoty a momentů, zavedené ve vztazích (1), (2), (6) a (7), se dají snadno zobecnit pro vícerozměrnou náhodnou proměnnou. Kvůli jednoduchosti zápisu se omezíme na případ náhodného vektoru  $\xi$  se dvěma komponentami ( $\xi_1, \xi_2$ ), který nabývá hodnot  $(x_1, x_2)$  s hustotou  $f(x_1, x_2)$ . Střední hodnota funkce  $h(\xi_1, \xi_2)$  je definována formulí analogickou k (2):

$$E[h(\xi_1, \xi_2)] = \iint_{-\infty}^{\infty} h(x_1, x_2) f(x_1, x_2) dx_1 dx_2. \quad (10)$$

Zvolíme-li za funkci  $h$  mocniny  $\xi_1$  a  $\xi_2$ , dostaneme z posledního vztahu momenty vektoru  $\xi$ . Vypíšeme explicitně nejdůležitější z nich. Dvojice prvních algebraických momentů

$$E(\xi_1) = \iint_{-\infty}^{\infty} x_1 f(x_1, x_2) dx_1 dx_2, \quad E(\xi_2) = \iint_{-\infty}^{\infty} x_2 f(x_1, x_2) dx_1 dx_2 \quad (11)$$

bývá značena jako střed rozdělení vektoru  $\xi$ . Dále jsou to druhé centrální momenty

$$D(\xi_1) = \sigma_1^2 = E\{[\xi_1 - E(\xi_1)]^2\}, \quad D(\xi_2) = \sigma_2^2 = E\{[\xi_2 - E(\xi_2)]^2\}, \quad (12)$$

což jsou disperze komponent  $\xi_1, \xi_2$  (disperze marginálních rozdělení ze vztahu (2.14)). Konečně, smíšený druhý centrální moment

$$D(\xi_1, \xi_2) = E\{[\xi_1 - E(\xi_1)][\xi_2 - E(\xi_2)]\} = E(\xi_1 \xi_2) - E(\xi_1)E(\xi_2) \quad (13)$$

se značí také jako kovariace  $\xi_1$  a  $\xi_2$ , nebo korelační moment. Všimneme si, že z definicí (12) a (13) vychází  $\sigma_1^2 = D(\xi_1, \xi_1)$ .

### Korelační koeficient

Koeficient korelace  $\rho(\xi_1, \xi_2)$  mezi  $\xi_1$  a  $\xi_2$  je definován vztahem

$$\rho(\xi_1, \xi_2) = D(\xi_1, \xi_2)/\sqrt{D(\xi_1)D(\xi_2)} = D(\xi_1, \xi_2)/(\sigma_1 \sigma_2); \quad (14)$$

snadno se ověří, že může nabývat pouze hodnot z intervalu  $(-1, 1)$ . Jsou-li  $\xi_1, \xi_2$  nezávislé (viz §2), je  $E(\xi_1 \xi_2) = E(\xi_1)E(\xi_2)$  a podle (13) vyjde  $D(\xi_1, \xi_2) = 0$ , tedy i  $\rho(\xi_1, \xi_2) = 0$ . Je-li korelační koeficient nenulový, nemohou být příslušné náhodné proměnné nezávislé. Obrácené tvrzení však neplatí: existují závislé náhodné proměnné, které mají nulový korelační koeficient. Je-li  $\rho(\xi_1, \xi_2) = 0$ , říkáme, že  $\xi_1$  a  $\xi_2$  jsou nekorelované, což je slabší vlastnost než nezávislost. Přesto je korelační koeficient užitečnou charakteristikou; podrobnejší prozkoumáme jeho význam v případě normálně rozdeleného náhodného vektoru v § 6.

### Matice druhých momentů a korelačních koeficientů

Je-li počet  $n$  komponent náhodného vektoru  $\xi$  větší než 2, můžeme definovat smíšený druhý centrální moment a korelační koeficient pro každou dvojici  $\xi_i, \xi_j$  z příslušného dvojrozměrného marginálního rozdělení (rozdělení  $\xi$  integrované přes všechny složky kromě  $i$ -té a  $j$ -té). Čtvercovou matici s prvky

$$D_{ij} = D(\xi_i, \xi_j), \quad i, j = 1, \dots, n \quad (15)$$

nazýváme maticí druhých momentů, kovarianční nebo disperzní maticí, někdy také maticí chyb. V diagonále jsou disperze jednotlivých komponent:  $D_{ii} = \sigma_i^2$ , matice je symetrická ( $D_{ij} = D_{ji}$ ). Čtvercová matice sestavená z korelačních koeficientů

$$\rho_{ij} = \rho(\xi_i, \xi_j) = D_{ij}/\sqrt{D_{ii}D_{jj}}, \quad i, j = 1, \dots, n \quad (16)$$

se označuje jako korelační matice. Je opět symetrická, v diagonále jsou jedničky (korelační koeficient každé komponenty se sebou samou je roven jedné). Užitečnými čísly jsou tzv. globální korelační koeficienty  $\rho_i$  pro každou komponentu  $\xi_i$ . Jsou to maximální hodnoty korelačního koeficientu  $\rho(\xi_i, \eta)$ , když  $\eta$  probíhá všechny možné lineární kombinace všech komponent vektoru  $\xi$  kromě  $i$ -té.  $\rho_i$  tedy udává míru korelace  $\xi_i$  se souborem zbylých komponent. Předpokládejme, že ke kovarianční matici (15) existuje matice inverzní; její  $i$ -ty diagonální prvek označíme  $(D^{-1})_{ii}$ . Pro globální

korelační koeficient vyjde jednoduchá formula

$$\rho_i = \sqrt{1 - [D_{ii} (D^{-1})_{ii}]^{-1}}. \quad (17)$$

Jestliže je kovariace matice singulární (neexistuje matice inverzní), je alespoň jedna ze složek  $\rho_j$  nějakou lineární kombinací ostatních, tedy úplně korelovaná s touto lineární kombinací ( $\rho_j = 1$ ).

### Lineární funkce náhodných proměnných

Lineární kombinace  $a_1 \xi_1 + \dots + a_n \xi_n$  náhodných proměnných  $\xi_1, \dots, \xi_n$  ( $a_1, \dots, a_n$  jsou čísla) tvoří náhodnou proměnnou, pro niž snadno najdeme střední hodnotu a disperzi:

$$E\left(\sum_{i=1}^n a_i \xi_i\right) = \sum_{i=1}^n a_i E(\xi_i), \quad (18a)$$

$$D\left(\sum_{i=1}^n a_i \xi_i\right) = \sum_{i=1}^n \sum_{j=1}^n a_i a_j D(\xi_i, \xi_j) = \sum_{i=1}^n a_i^2 D(\xi_i) + 2 \sum_{i=1}^{n-1} \sum_{j=i+1}^n a_i a_j D(\xi_i, \xi_j). \quad (18b)$$

Podobně pro smíšený druhý centrální moment dvou lineárních kombinací vyjde vyjádření

$$D\left(\sum_{i=1}^n a_i \xi_i, \sum_{i=1}^m b_i \xi_i\right) = \sum_{i=1}^n \sum_{j=1}^m a_i b_j D(\xi_i, \xi_j). \quad (18c)$$

Disperze jsou kvadratickou formou koeficientů rozkladu  $a_i$ . Pokud jsou  $\xi_i$  vzájemně nekorelované (t.j.  $\rho_{ij} = 0$  pro všechna  $i \neq j$ ), zůstane v (18b) jen první člen na pravé straně:

$$D\left(\sum_{i=1}^n a_i \xi_i\right) = \sum_{i=1}^n a_i^2 D(\xi_i). \quad (19)$$

Nalezení hustoty lineární kombinace z hustoty  $f_{\xi}(x_1, \dots, x_n)$  je trochu složitější. Elementární uvažou nebo využitím vztahu (2.5) zjistíme, že hustota konstantního násobku  $a\xi$  náhodné proměnné  $\xi$  je násobkem hustoty  $f_{\xi}(x)$ :

$$g_{a\xi}(ax) = \frac{1}{a} f_{\xi}(x) = \frac{1}{a} f_{\xi}\left(\frac{ax}{a}\right). \quad (20)$$

Celý problém se tedy redukuje v podstatě na určení hustoty součtu dvou proměnných  $\eta = \xi_1 + \xi_2$ . Distribuční funkce  $\eta$  je

$$F_{\eta}(y) = \iint_{x_1+x_2 \leq y} f_{\xi_1, \xi_2}(x_1, x_2) dx_1 dx_2 = \int_{-\infty}^{\infty} dx_2 \int_{-\infty}^{y-x_2} f_{\xi_1, \xi_2}(x_1, x_2) dx_1. \quad (21)$$

Jsou-li  $\xi_1, \xi_2$  nezávislé, je  $f_{\xi_1, \xi_2}(x_1, x_2) = f_{\xi_1}(x_1) f_{\xi_2}(x_2)$ ; substituuj v (21) dostaneme

$$F_{\eta}(y) = \int_{-\infty}^{\infty} dx_2 \int_{-\infty}^y f_{f_2}(x_2) f_{f_1}(t-x_2) dt = \int_{-\infty}^y dt \left[ \int_{-\infty}^{\infty} f_{f_2}(x_2) f_{f_1}(t-x_2) dx_2 \right]. \quad (22)$$

Podle vztahu (2.9) je tedy hustota součtu dvou nezávislých náhodných proměnných dílena konvolucí

$$f_{\eta}(y) = \int_{-\infty}^{\infty} f_{f_2}(u) f_{f_1}(y-u) du. \quad (23)$$

### Podíl nezávislých náhodných proměnných

Předpokládejme, že  $\xi_1, \xi_2$  jsou nezávislé a mají hustoty  $f_{f_1}(x_1)$ ,  $f_{f_2}(x_2)$ , resp. distribuční funkce  $F_{f_1}(x_1)$ ,  $F_{f_2}(x_2)$ . Hustotu podílu  $\eta = \xi_1/\xi_2$  najdeme pomocí distribuční funkce

$$F_{\eta}(y) = \iint_{x_1/x_2 < y} f_{f_1}(x_1) f_{f_2}(x_2) dx_1 dx_2 = \int_{-\infty}^{\infty} dx_2 \int_{-\infty}^{yx_2} f_{f_1}(x_1) f_{f_2}(x_2) dx_1 + \\ + \int_{-\infty}^0 dx_2 \int_{yx_2}^{\infty} f_{f_1}(x_1) f_{f_2}(x_2) dx_1 = \int_0^{\infty} F_{f_1}(yx_2) f_{f_2}(x_2) dx_2 + \int_0^0 [1 - F_{f_1}(yx_2)] f_{f_2}(x_2) dx_2. \quad (24)$$

Podle vztahu (2.9) dostaneme hledanou hustotu derivováním:

$$f_{\eta}(y) = \frac{d}{dy} F_{\eta}(y) = \int_0^{\infty} x_2 f_{f_1}(yx_2) f_{f_2}(x_2) dx_2 - \int_0^0 x_2 f_{f_1}(yx_2) f_{f_2}(x_2) dx_2. \quad (25)$$

### Přibližné formule pro střední hodnotu a disperzi nelineární funkce

Střední hodnotu a disperzi funkce  $h(\xi_1, \dots, \xi_n)$  náhodných proměnných můžeme approximovat jednoduchými vztahy za předpokladu, že je průběh  $h$  v okolí středních hodnot  $E(\xi_1), \dots, E(\xi_n)$  téměř lineární. V Taylorově rozvoji

$$h(\xi_1, \dots, \xi_n) = h[E(\xi_1), \dots, E(\xi_n)] + \sum_{i=1}^n [\xi_i - E(\xi_i)] \frac{\partial h}{\partial \xi_i} \Big|_E + \dots \quad (26)$$

zachováme pouze uvedené dva členy; symbol  $E$  u derivací znamená, že jde o hodnoty v bodě  $E(\xi_1), \dots, E(\xi_n)$ . Střední hodnota druhého člena v (26) je nulová, proto

$$E[h(\xi_1, \dots, \xi_n)] \approx h[E(\xi_1), \dots, E(\xi_n)]. \quad (27)$$

Pro disperzi funkce  $h$  dostáváme

$$D[h(\xi_1, \dots, \xi_n)] = E\{[h-E(h)]^2\} \approx E\left\{\sum_{i=1}^n \sum_{j=1}^n [\xi_i - E(\xi_i)] \frac{\partial h}{\partial \xi_i} \Big|_E \cdot [\xi_j - E(\xi_j)] \frac{\partial h}{\partial \xi_j} \Big|_E\right\} - \\ - \sum_{i=1}^n \sum_{j=1}^n \frac{\partial h}{\partial \xi_i} \Big|_E \frac{\partial h}{\partial \xi_j} \Big|_E D(\xi_i, \xi_j). \quad (28)$$

To je samozřejmě vztah (18b), jen na místě koeficientů  $a_i$  stojí derivace  $\partial h / \partial f_i$ . V rozvoji (26) jsme zachovali lineární kombinaci  $f_i$  a aditivní konstanty, které dieperzi neovlivní. Úplně stejně odvodíme smíšený druhý moment dvou funkcí  $h(f_1, \dots, f_n)$  a  $g(f_1, \dots, f_n)$ :

$$D(h, g) = E\{[h - E(h)][g - E(g)]\} \approx \sum_{i=1}^n \sum_{j=1}^n \left. \frac{\partial h}{\partial f_i} \right|_E \left. \frac{\partial g}{\partial f_j} \right|_E D(f_i, f_j). \quad (29)$$

Kvalita aproximací (27)-(29) záleží na tom, jak dobré je lineární přiblížení funkčních průběhů pomocí dvou členů Taylorova rozvoje v takové oblasti argumentů, která podstatně přispívá k disperzi. Velikost této oblasti záleží na tom, jak široká jsou rozdělení proměnných  $f_1, \dots, f_n$ , tedy hlavně na jejich dieperzích. Aproximace se v zásadě zlepšuje při zmenšování druhých momentů  $D(f_i, f_j)$ .

Jsou-li  $f_i$  nekorelované, dostaneme z (28) a (29) jednodušší vztahy

$$D(h) \approx \sum_{i=1}^n \left( \left. \frac{\partial h}{\partial f_i} \right|_E \right)^2 D(f_i), \quad D(h, g) \approx \sum_{i=1}^n \left. \frac{\partial h}{\partial f_i} \right|_E \left. \frac{\partial g}{\partial f_i} \right|_E D(f_i). \quad (30)$$

První z relací (30), přepsané pro střední kvadratické odchylky  $\sigma_h = \sqrt{D(h)}$ ,  $\sigma_i = \sqrt{D(f_i)}$ , se říká také (Gaussův) zákon pro přenos chyb:

$$\sigma_h \approx \sqrt{\left( \left. \frac{\partial h}{\partial f_1} \right|_E \right)^2 \sigma_1^2 + \dots + \left( \left. \frac{\partial h}{\partial f_n} \right|_E \right)^2 \sigma_n^2}. \quad (31)$$

### Charakteristické funkce

Fourierova transformace hustoty nebo diskrétní funkce rozdělení se nazývá charakteristickou funkcí náhodné proměnné. Je to komplexní funkce reálné proměnné  $t$ :

$$\chi_f(t) = E[\exp(itf)] = \int_{-\infty}^{\infty} \exp(itx) f_f(x) dx \quad (32)$$

pro spojitou proměnnou  $f$  a hustotou  $f_f(x)$ . Charakteristická funkce úplně popisuje náhodné proměnné; hustota je dána obrácenou transformací

$$f_f(x) = \frac{1}{2\pi} \int_{-\infty}^{\infty} \chi_f(t) \exp(-ixt) dt. \quad (33)$$

Jsou-li  $a, b$  konstanty, platí

$$\chi_{af+b}(t) = E[\exp(it(af+b))] = \exp(itb) \chi_f(at). \quad (34)$$

Pro nezávislé  $f_1, f_2$  dostaneme charakteristickou funkci součtu  $f_1 + f_2$  jako součin

$$\chi_{f_1+f_2}(t) = E[\exp(it(f_1+f_2))] = E[\exp(itf_1)] \cdot E[\exp(itf_2)] = \chi_{f_1}(t) \cdot \chi_{f_2}(t). \quad (35)$$

To je jeden z důvodů velké užitečnosti charakteristické funkce (namísto konvoluce hustot (23) máme jednoduchý součin charakteristických funkcí). Znalost  $\chi_f(t)$  je užitečná i pro nalezení momentů (6) ze zápisu exponenty pomocí mocninné řady:

$$\chi_f(t) = E \left[ \sum_{k=0}^{\infty} \frac{(itf)^k}{k!} \right] = \sum_{k=0}^{\infty} \frac{(it)^k}{k!} E(f^k) = \sum_{k=0}^{\infty} \frac{(i)^k}{k!} v_k t^k. \quad (36)$$

Momenty  $v_k$  jsou, až na faktor  $i^k/k!$ , rovny koeficientům u členů  $t^k$  v rozkladu  $\chi(t)$  v mocninnou řadu.

#### 4. Normální rozdělení

Spojitá náhodná proměnná, která nabývá libovolných reálných hodnot  $x$  s hustotou pravděpodobnosti

$$f(x) = \frac{1}{\sigma\sqrt{2\pi}} \exp \left[ \frac{-(x-\mu)^2}{2\sigma^2} \right]. \quad (1)$$

má tzv. normální, nebo Gaussovo-Laplaceovo, rozdělení. Kvůli stručnosti vyjadřování přestaneme v dalším textu odlišovat označení pro náhodnou proměnnou a její hodnoty, používané důsledně v §§ 2 a 3; budeme například říkat, že (1) je hustotou proměnné  $x$ .

Rozdělení (1) je zadáno dvěma reálnými parametry;  $\mu$  může být libovolné,  $\sigma$  musí být kladné.  $\mu$  je střední hodnota,  $\sigma$  střední kvadratická odchylka ( $\sigma^2$  disperze):

$$E(x) = \mu, \quad D(x) = \sigma^2. \quad (2)$$

Normální rozdělení je symetrické vzhledem ke střední hodnotě  $\mu$ , která je zároveň mediánem i jedinou modou. Charakteristická funkce:

$$\chi(t) = \exp(i\mu t - t^2\sigma^2/2). \quad (3)$$

Centrální momenty (3.7) lichého řádu jsou nulové, pro sudý řád vychází

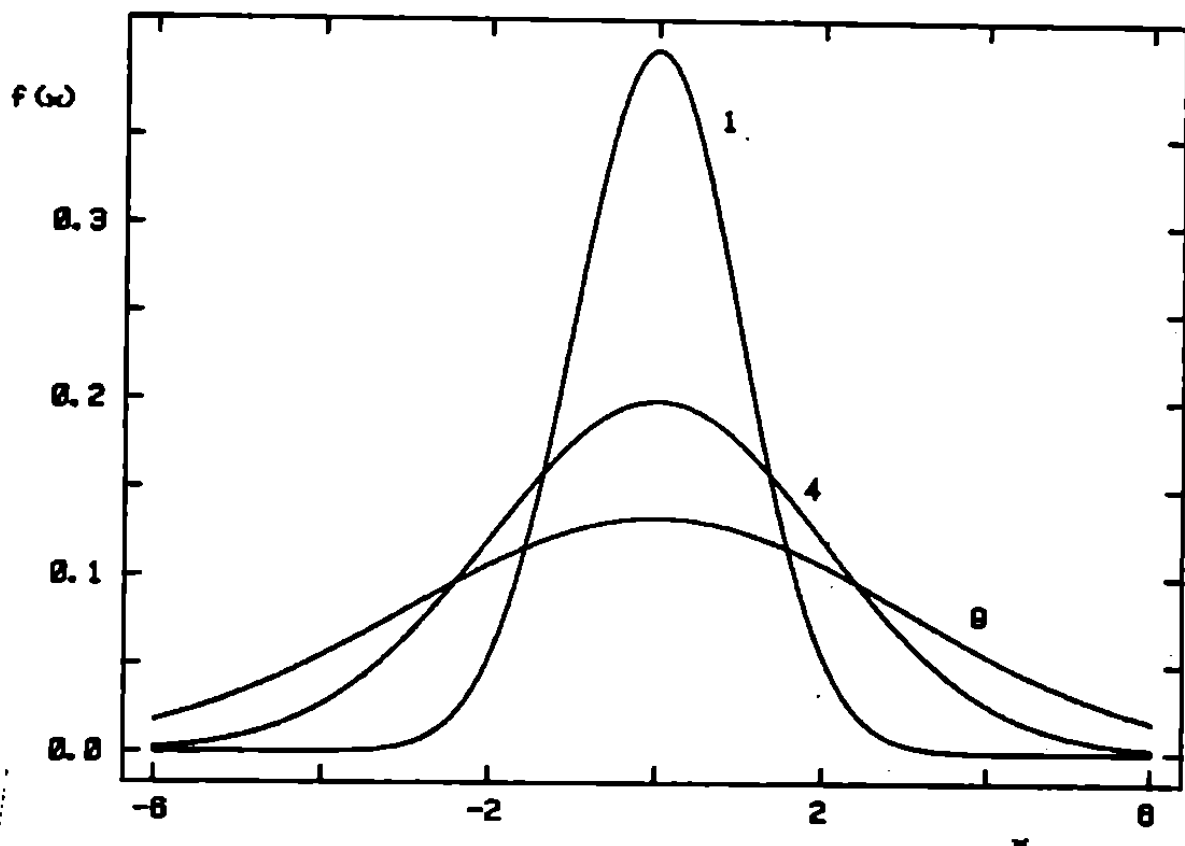
$$\mu_{2k} = \frac{(2k)!}{2^k(k!)^2} \sigma^{2k}, \quad k \geq 1. \quad (4)$$

Asymetrie (3.8) i exces (3.9) jsou nulové:  $\gamma_1 = \gamma_2 = 0$ .

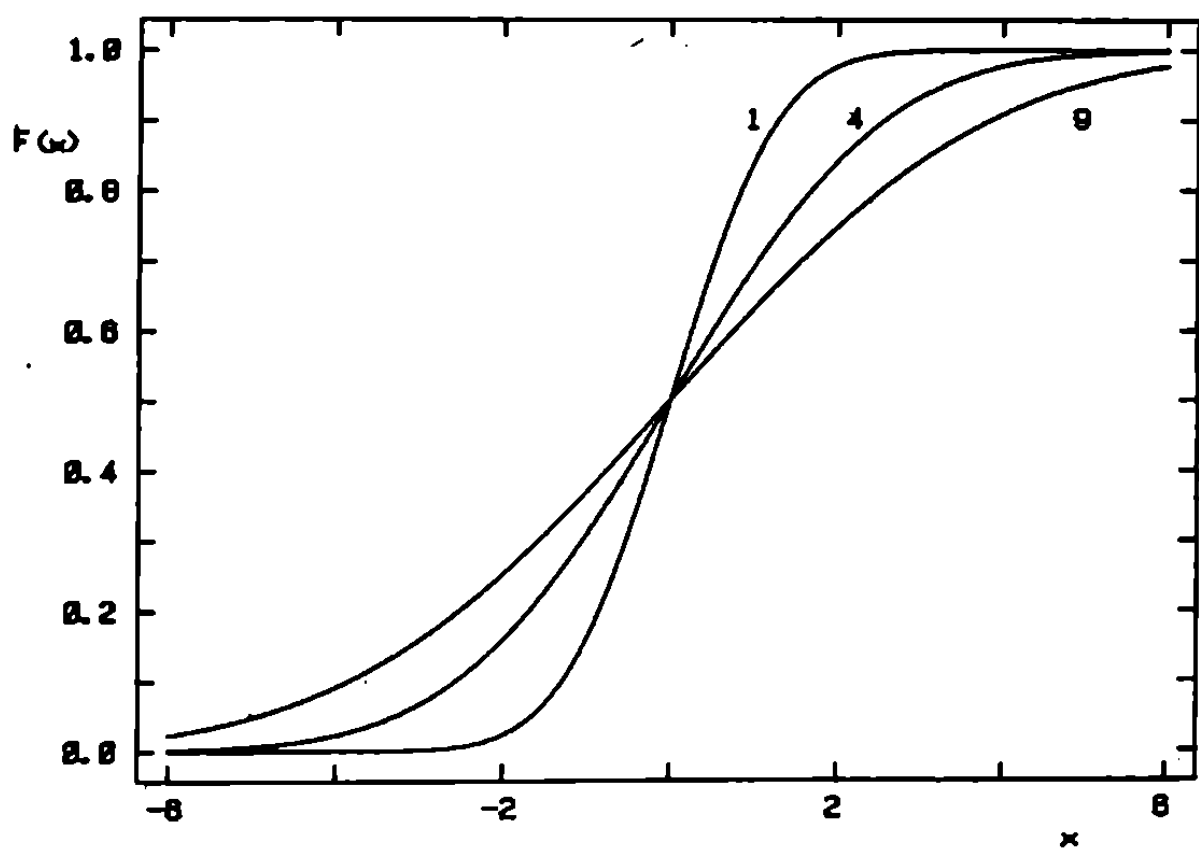
Pro hustotu (1) se užívá značení  $N(\mu, \sigma^2)$ ; její charakteristický "znovový" průběh je pro tři různé disperze  $\sigma^2$  nakreslen v obr. 4. Distribuční funkce je

$$F(x) = \Phi\left(\frac{x-\mu}{\sigma}\right), \quad \text{kde } \Phi(z) = \frac{1}{\sqrt{2\pi}} \int_{-\infty}^z \exp(-t^2/2) dt. \quad (5)$$

Funkci  $\Phi(z)$  se říká integrál pravděpodobnosti nebo funkce chyb.  $F(x)$  pro tři různé disperze je nakreslena v obr. 5. Pomocí distribuční funkce (§2) můžeme vyjádřit pravděpodobnost, že hodnota  $x$  padne do zadaného intervalu:



Obr. 4. Houstota normálního rozdělení se střední hodnotou  $\mu=0$  a disperzemi  $\sigma^2=1,4,9$ .



Obr. 5. Distribuční funkce normálního rozdělení s  $\mu=0$  a  $\sigma^2=1,4,9$ .

$P(x \in (x_1, x_2)) = F(x_2) - F(x_1)$ . Vyčíslením integrálu pravděpodobnosti (5) zjistíme, že

$$P(\mu - 6 \leq x \leq \mu + 6) = 0.683, \quad P(\mu - 25 \leq x \leq \mu + 25) = 0.954. \quad (6)$$

Střední kvadratické odchylce  $\sigma$  se v případě normálního rozdělení říká také standardní odchylka. Intervaly  $\mu \pm \sigma$  a  $\mu \pm 2\sigma$  s pravděpodobnostním obsahem (6) se pak označují jako intervaly s jednou a dvěma standardními odchylkami.

Velmi potřebná funkce chyb (5) byla mnohokrát tabelována (v různých modifikacích). Užitečné jsou různé approximace, které umožňují vypočítat dostatečně přesné hodnoty s minimální námahou, např.

$$\Phi(z) \approx 1 - \frac{\exp(-z^2/2)}{\sqrt{2\pi}} t (0.3193815 - 0.3565638t + 1.781478t^2 - 1.821256t^3 +$$

$$+ 1.330274t^4), \quad t = 1/(1+0.2)16419z \quad \text{pro } z \geq 0, \quad (7)$$

$$\Phi(z) = 1 - \Phi(|z|) \quad \text{pro } z < 0;$$

chyba této approximace je pro libovolné  $z$  menší než  $10^{-7}$ .

Náhodná proměnná  $(x-\mu)/\sigma$  má tzv. standardní normální rozdělení  $N(0,1)$  se střední hodnotou 0 a disperzí 1; její distribuční funkci je integrál pravděpodobnosti  $\Phi$ .

Normální rozdělení má při zpracování výsledků měření podstatnou důležitost. Především v mnoha situacích velmi dobře vystihuje rozložení naměřených hodnot. Ještě důležitější je fakt, že i pro data s výrazně odlišným rozdělením mají statistické odhady z nich spočtené rozdělení zhruba normální; tuto souvislost vystihuje tzv. centrální limitní věta (§5). Navíc je normální rozdělení limitním případem řady důležitých diskrétních i spojitých modelových rozdělení (§9).

Pro nezávislé normálně rozdělené veličiny  $x_i$  vychází následující důležité výsledky:

a) Libovolná lineární kombinace  $a_1 x_1 + \dots + a_n x_n$  má opět normální rozdělení. O tom je možné se přesvědčit přímým výpočtem konvoluce (3.23) nebo mnohem lépe pomocí vlastnosti (3.35) charakteristických funkcí. Střední hodnota  $\mu$  a disperze  $\sigma^2$  musí podle (3.18a) a (3.19) být

$$\mu = a_1 \mu_1 + \dots + a_n \mu_n, \quad \sigma^2 = a_1^2 \sigma_1^2 + \dots + a_n^2 \sigma_n^2. \quad (8)$$

b) Následující funkce (ve statistické terminologii tzv. výběrová střední hodnota a disperze)

$$\bar{x} = \frac{1}{n} \sum_{i=1}^n x_i, \quad s^2 = \frac{1}{n} \sum_{i=1}^n (x_i - \bar{x})^2$$

jsou nezávislé tehdy a jen tehdy, když všechna  $x_i$  mají stejné normální rozdělení (s týmiž  $\mu, \sigma$ ).

## 5. Zákon velkých čísel a centrální limitní věta

### Zákon velkých čísel

Souvislost pravděpodobnosti p náhodného jevu  $X$  a četnosti  $M$  jeho výskytu v  $N$ -krát opakováném pokusu je intuitivně zřejmá: čekáme, že se relativní četnost  $M/N$  bude s rostoucím  $N$  přibližovat k pravděpodobnosti  $p$ . Protože podíl  $M/N$  je náhodná veličina, je třeba pro očekávané přiblížování k hodnotě  $p$  formulovat pravděpodobnostní tvrzení. Nejznámější je Bernoulliův teorém; pro každé  $\epsilon > 0$  platí

$$\lim_{N \rightarrow \infty} P\left(\left|\frac{M}{N} - p\right| < \epsilon\right) = 1. \quad (1)$$

Vyjádřeno slovy: ať zvolíme  $\epsilon > 0$  jakkoli malé, s pravděpodobností libovolně blízkou k jedné jsou při dostatečně velkém počtu pokusů odchylky poměrných četností  $M/N$  od hodnoty  $p$  menší než  $\epsilon$ . Formuli (1) se říká (slabý) zákon velkých čísel. Tvrzení

$$P\left(\lim_{N \rightarrow \infty} \frac{M}{N} = p\right) = 1 \quad (2)$$

je silnější (z (2) plyne (1), ale ne naopak); objevil je Borel a říká se mu silný zákon velkých čísel.

Pro přívržence statistické definice pravděpodobnosti (§1) je zákon velkých čísel tautologií, protože pravděpodobnost určují právě z relativních četností při opakování pokusu. Pro zastánce názoru, že se pravděpodobnosti dají (alespoň někdy) vypočítat ze struktury jevů, je předpověď četností slázkou logické výstavby teorie a věty o konvergenci posloupnosti  $M/N$  <sup>jedou</sup> podstatnými výsledky. Slabý a silný zákon vyjadřují dva různé typy konvergence hodnot poměrných četností: tzv. konvergenci podle pravděpodobnosti, popsanou vztahem (1) a konvergenci téměř jistě (2)).

Jako zákon velkých čísel se kromě (1) a (2) označují také následující věty o konvergenci posloupnosti aritmetických průměrů náhodných proměnných. Jsou-li  $x_1, x_2, \dots$  nezávislé náhodné proměnné se stejnou střední hodnotou  $\mu$  a disperzemi  $D(x_1), D(x_2), \dots$  takovými, že

$$\lim_{N \rightarrow \infty} \frac{1}{N^2} \sum_{i=1}^N D(x_i) = 0, \text{ pak } \lim_{N \rightarrow \infty} P\left(\left|\frac{1}{N} \sum_{i=1}^N x_i - \mu\right| < \epsilon\right) = 1 \quad (3)$$

pro libovolné  $\epsilon > 0$ . To je slabý zákon velkých čísel – posloupnost průměrů konverguje podle pravděpodobnosti ke střední hodnotě. Silný zákon tvrdí, že pro náhodné proměnné, jejichž disperze splňují podmínu

$$\lim_{N \rightarrow \infty} \left[ \sum_{i=1}^N \frac{D(x_i)}{i^2} \right] < \infty, \quad (4)$$

konverguje průměr ke střední hodnotě téměř jistě:

$$P \left[ \lim_{N \rightarrow \infty} \left( \frac{1}{N} \sum_{i=1}^N x_i \right) = \mu \right] = 1. \quad (5)$$

Obě věty (3) a (5) se dají zobecnit pro případ posloupnosti proměnných s různými středními hodnotami  $E(x_1), E(x_2), \dots$ . Jejich aritmetický průměr konverguje k limitě průměru středních hodnot  $[\sum E(x_i)]/N$ .

### Centrální limitní věta

udává, jaké je v limitě rozdělení aritmetického průměru nezávislých náhodných proměnných  $x_1, x_2, \dots$ , které mají stejnou distribuční funkci se střední hodnotou  $\mu$  a disperzí  $\sigma^2$ . Podle (3.18a) a (3.19) je střední hodnota průměru  $\bar{x}_N = (x_1 + \dots + x_N)/N$  rovna  $E(\bar{x}_N) = \mu$  a jeho disperze  $D(\bar{x}_N) = \sigma^2/N$ ; hustotu pravděpodobnosti  $\bar{x}_N$  dostaneme z (3.23) komplikovaným způsobem, totiž  $N-1$ -krát opakovánou konvolucí.

S pomocí vlastnosti (3.35) charakteristické funkce však snadno zjistíme, že charakteristická funkce  $\chi(\bar{x}_N)$  se pro  $N \rightarrow \infty$  blíží k charakteristické funkci (4.3) normálního rozdělení. Hustota průměru je tedy

$$f(\bar{x}_N) \xrightarrow{N \rightarrow \infty} \frac{1}{\sqrt{2\pi\sigma^2/N}} \exp \left[ \frac{-(\bar{x}_N - \mu)^2}{2\sigma^2/\sqrt{N}} \right], \quad (6)$$

rozdělení sčítanců  $x_i$  může být jakékoliv, stačí když má konečnou disperzi  $\sigma^2$ . To je tzv. Lindbergův-Lévyův teorém, nebo jedna z variant centrální limitní věty. Jiná varianta platí pro posloupnost nezávislých náhodných proměnných  $x_1, x_2, \dots$  se středními hodnotami  $\mu_1, \mu_2, \dots$  a disperzemi  $\sigma_1^2, \sigma_2^2, \dots$ , které nemusí mít stejnou distribuční funkci. Rozdělení aritmetického průměru je v limitě  $N \rightarrow \infty$  opět normální; veličina

$$\left( \sum_{i=1}^N x_i - \sum_{i=1}^N \mu_i \right) / \sqrt{\sum_{i=1}^N \sigma_i^2} \quad (7)$$

má asymptoticky rozdělení  $N(0,1)$ . K platnosti tohoto tvrzení stačí, aby střední hodnoty  $\mu_i$  a disperze  $\sigma_i^2$  existovaly a nerostly příliš rychle s rostoucím  $i$ . Postačující je například splnění Ljapunovovy podmínky: existuje takové  $a > 0$ , že

$$\lim_{N \rightarrow \infty} \left[ \sum_{i=1}^N E(x_i - \mu_i)^{2+a} \right] / \left( \sum_{i=1}^N \sigma_i^2 \right)^{2+a} = 0. \quad (8)$$

### Příklad: součet rovnoměrně rozdělených náhodných čísel

Konvergenci součtu nezávislých náhodných proměnných k normálnímu rozdělení budeme ilustrovat na příkladu rovnoměrně rozdělených (§9) veličin  $x_i$  s hustotou

$$f(x_i) = 1, \quad x_i \in \langle 0, 1 \rangle. \quad (9)$$

Hustota aritmetického průměru  $\bar{x}_N = s_N/N$ , kde  $s_N = x_1 + \dots + x_N$ , se dá vyjádřit analyticky; je to po částeček polynom stupně  $N-1$ :

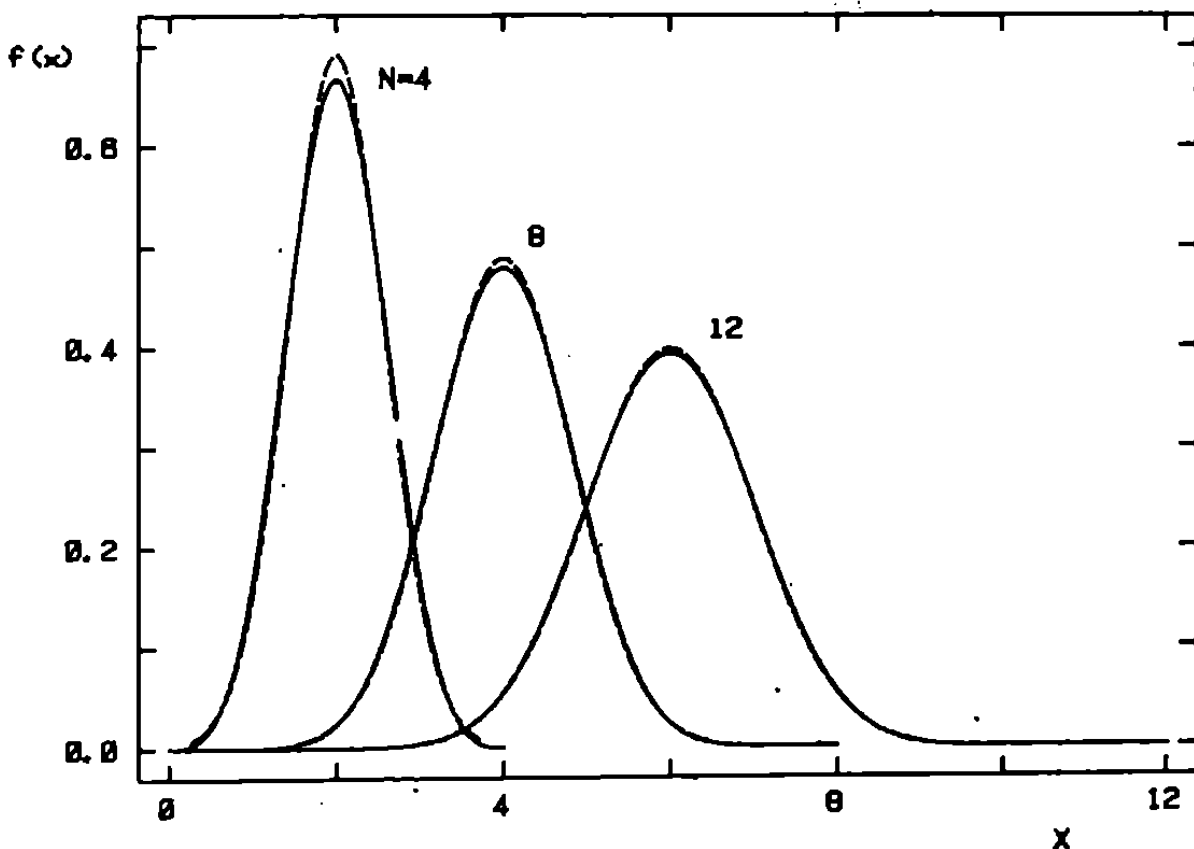
$$f(\bar{x}_N) = \frac{N^N}{(N-1)!} \sum_{i=0}^k (-1)^i \binom{N}{i} (\bar{x}_N - \frac{i}{N})^{N-1}, \quad (10)$$

$$\bar{x}_N \in \left\langle \frac{k}{N}, \frac{k+1}{N} \right\rangle, \quad k=0, \dots, N-1.$$

Střední hodnotu a disperzi součtu  $s_N$  můžeme vypočítat mnohem snazše než hustotu; s pomocí (9.6) dostaneme

$$E(s_N) = NE(x_i) = N/2, \quad D(s_N) = ND(x_i) = N/12. \quad (11)$$

Srovnání hustoty součtu  $s_N$  a normální hustoty se stejnou střední hodnotou a disperzí je v obr. 6. Je vidět, že konvergence k normálnímu rozdělení je velmi rychlá, veličina  $s_{12}-6$  má prakticky standardní normální rozdělení.



Obr. 6. Hustota pravděpodobnosti součtu  $N$  nezávislých rovnoměrně rozdělených náhodných proměnných (plná čára), normální hustota se stejnou střední hodnotou a disperzí (podle vztahu (11), čárkovaná čára).

## 6. Vícerozměrné normální rozdělení

Zobecnění normálního rozdělení (4.1) na případ  $n$ -rozměrného náhodného vektoru vychází z požadavku, aby hustota byla úměrná exponenciální funkci kvadratické formy jednotlivých složek:

$$f(x_1, \dots, x_n) = c \cdot \exp \left[ -\frac{1}{2} \sum_{i=1}^n \sum_{j=1}^n a_{ij}(x_i - \mu_i)(x_j - \mu_j) \right]. \quad (1)$$

Konečný tvar této hustoty odvodíme podrobněji, protože se přitom ukáže řada užitečných souvislostí. Kvůli přehlednosti zápisu zavedeme následující konvence: čtvercovou matici budeme značit velkým písmenem a podloženou vlnovkou, sloupcové vektory podržením, transepozici libovolné matice horním indexem T (například sloupcový vektor se složkami  $\mu_i$  jako  $\underline{\mu}$ , řádkový vektor  $\underline{\mu}^T = (\mu_1, \dots, \mu_n)$ ). Argument exponenty v (1) tedy stručně zapíšeme jako

$$-\frac{1}{2} (\underline{x} - \underline{\mu})^T \underline{A} (\underline{x} - \underline{\mu}), \quad (2)$$

když matice  $\underline{A}$  má prvky  $(\underline{A})_{ij} = a_{ij}$ . Horejší výraz je skalár, protože součin matice  $\underline{A}$  se sloupcovým vektorem  $\underline{x} - \underline{\mu}$  je sloupcový vektor, ze kterého vyjde násobením řádkovým vektorem  $(\underline{x} - \underline{\mu})^T$  skalární hodnota dvojnásobné soumy v (1). Aby funkce typu (1) měla vlastnosti hustoty, musí být matice  $\underline{A}$  symetrická a pozitivně definitní. Existuje pro ni rozklad  $\underline{A} = \underline{L}^T \underline{L}$ .  $\underline{L}$  je regulérní maticí  $\underline{L}$  (jinými slovy, matici  $\underline{A}$  dostaneme podobností transformací z jednotkové matice  $\underline{I}$ :  $\underline{A} = \underline{L}^T \underline{I} \underline{L} = \underline{L}^T \underline{L}$ ). Lineární transformaci hodnot náhodného vektoru  $\underline{x}$

$$\underline{y} = \underline{L}(\underline{x} - \underline{\mu}) \quad (3)$$

dostaneme (2) ve tvaru součtu kvadrátů

$$-\frac{1}{2} (\underline{x} - \underline{\mu})^T \underline{L}^T \underline{L} (\underline{x} - \underline{\mu}) = -\frac{1}{2} \underline{y}^T \underline{y} = -\frac{1}{2} (y_1^2 + \dots + y_n^2). \quad (4)$$

(Transpozice součinu matic je součinem transponovaných faktorů v opačném pořadí:  $(\underline{x} - \underline{\mu})^T \underline{L}^T = [\underline{L}(\underline{x} - \underline{\mu})]^T = \underline{y}^T$ .) Nyní můžeme snadno spočítat hodnotu konstanty  $c$  v (1) z normovací podmínky pro hustotu:

$$\int_{-\infty}^{\infty} \dots \int f(x_1, \dots, x_n) dx_1 \dots dx_n = \int_{-\infty}^{\infty} \dots \int c \cdot \exp \left( -\frac{1}{2} \underline{y}^T \underline{y} \right) [\det(\underline{L})]^{-1} dy_1 \dots dy_n = L \quad (5)$$

V posledním vztahu vystupuje jakobián transformace (3):  $dy_1 \dots dy_n = \det(\underline{L}) dx_1 \dots dx_n$ . Protože  $\int_{-\infty}^{\infty} \exp(-t^2/2) dt = \sqrt{\pi}$  a dále  $\det(\underline{A}) = \det(\underline{L}^T) \cdot \det(\underline{L}) = [\det(\underline{L})]^2$ , dostáváme z (5) pro konstantu  $c$  vztah

$$c = \frac{\det(\underline{L})}{(\sqrt{2\pi})^n} = \frac{1}{\sqrt{(2\pi)^n \det(\underline{A}^{-1})}}. \quad (6)$$

Je třeba si všimnout faktu, že  $\underline{y}$  ze vztahu (3) je náhodným vektorem s nezávislými komponentami, které mají standardní normální rozdělení (nulové střední hodnoty, jednotkové disperze a nulové korelační koeficienty). Zobecněním postupu z § 2 pro určení hustoty funkce náhodné proměnné na případ vektorů totiž zjistíme, že vztah (2.5) zůstane zachován, jen na místě  $|h(\underline{x})|$  se objeví jakobián transformace. Z hustoty (1) tedy dostaneme s využitím (6) hustotu vektoru  $\underline{y}$

$$g(\underline{y}) = \frac{f(\underline{x})}{\det(L)} = \frac{1}{\sqrt{(2\pi)^n}} \exp\left(-\frac{1}{2} \underline{y}^T \underline{y}\right) = \prod_{i=1}^n \frac{1}{\sqrt{2\pi}} \exp\left(-\frac{y_i^2}{2}\right) \quad (7)$$

ve tvaru součinu standardních hustot jednotlivých komponent. Vektor středních hodnot  $\underline{y}$  je nulový, což zapíšeme symbolicky jako  $E(\underline{y}) = \underline{0}$ . Podle (3) můžeme do tohoto vztahu dosadit  $\underline{y} = L(\underline{x} - \underline{\mu})$ ; protože podle (3.16a) je  $E$  lineární operátor a  $L$  je regulární, dostaneme odtud  $E(\underline{x} - \underline{\mu}) = \underline{0}$  a tedy střední hodnoty vektoru  $\underline{x}$ :

$$E(\underline{x}) = \underline{\mu} \quad (8)$$

Matice druhých momentů vektoru  $\underline{y}$  je jednotková, symbolicky  $E(\underline{y}\underline{y}^T) = I$ ; součin sloupcového a řádkového vektoru  $\underline{y}\underline{y}^T$  tvoří čtvercovou matici  $n \times n$  a funkcionál  $E$  působí na každý její prvek zvlášť. Dosazením za  $\underline{y}$  z (3) a využitím linearity  $E$  dostaneme

$$E[L(\underline{x} - \underline{\mu})(\underline{x} - \underline{\mu})^T L^T] = L E[(\underline{x} - \underline{\mu})(\underline{x} - \underline{\mu})^T] L^T = I,$$

neboli pro matici  $D$  druhých momentů vektoru  $\underline{x}$  vztah

$$D = E[(\underline{x} - \underline{\mu})(\underline{x} - \underline{\mu})^T] = L^{-1} (L^T)^{-1} = (L^T L)^{-1} = A^{-1}. \quad (9)$$

Matrice  $A$  koeficientů kvadratické formy (2) je tedy rovna inverzní kovariační matici  $D^{-1}$ . Kdo nevěří maticovým zápisům, může se pokusit vypočítat prvky  $D(x_i, x_j)$  matice  $D$  jednotlivě. Kovariance vyjádříme pomocí korelačních koeficientů  $\rho$  a disperzí  $\sigma^2$  jako  $D(x_i, x_j) = \rho_{ij} \sigma_i \sigma_j$  (viz (3.16)); dostaneme výhodný tvar kovariační matice

$$D = \begin{bmatrix} \sigma_1^2 & \rho_{12} \sigma_1 \sigma_2 & \dots & \rho_{1n} \sigma_1 \sigma_n \\ \rho_{12} \sigma_1 \sigma_2 & \sigma_2^2 & & \\ \vdots & & \ddots & \\ \rho_{1n} \sigma_1 \sigma_n & \rho_{2n} \sigma_2 \sigma_n & \dots & \sigma_n^2 \end{bmatrix} \quad (10)$$

Libovolné  $n$ -rozměrné normální rozdělení může být zadáno  $n$ -tici středních hodnot  $\underline{\mu}$  a  $n(n+1)/2$  nezávislými prvky symetrické matice - bud  $A$  nebo  $D$ . Vyjádření hustoty (1) s normalizační konstantou (6) pomocí matice  $D$  je

$$f(\underline{x}) = \frac{1}{\sqrt{(2\pi)^n \det(D)}} \exp \left[ -\frac{1}{2} (\underline{x}-\mu)^T D^{-1} (\underline{x}-\mu) \right]. \quad (11)$$

Veličina

$$\xi = (\underline{x}-\mu)^T D^{-1} (\underline{x}-\mu) = (\underline{x}-\mu)^T A (\underline{x}-\mu) \quad (12)$$

se nazývá kovariační formou náhodného vektoru  $\underline{x}$ . Je to jednorozměrná náhodná proměnná s rozdělením  $\chi^2$  s  $n$  stupni volnosti (§ 8), neboť se dá napisat jako součet kvadrátů  $n$ -tice nezávislých proměnných se standardním normálním rozdělením...  $\xi = \underline{y}^T \underline{y}$ . Hustota (11) je konstantní na plochách  $\xi = \text{konst.}$  a pravděpodobnostní obsah těchto elipsoidů (pravděpodobnost, že  $\underline{x}$  padne dovnitř elipsoidu) je dána distribuční funkcí  $\chi^2_n$ .

Z pozoruhodných vlastností rozdělení (11) uvedeme dvě:

- a) Libovolná projekce na prostor menší dimenze (marginální rozdělení, §2) je opět normální s maticí druhých momentů sestavenou z prvků matice (10) odpovídajících zbylým proměnným. Například marginální rozdělení každé komponenty  $x_i$  je

$$f(x_i) = N(\mu_i, \sigma_i^2). \quad (13)$$

- b) Libovolný řez (podmíněné rozdělení, §2) je opět normální. Řez rovinou  $x_i = x_i^{(0)}$ , t.j. rozdělení s konstantní hodnotou  $x_i^{(0)}$  složky  $x_i$ , má matici druhých momentů  $D_{n-1}$ , kterou dostaneme inverzí matice  $A_{n-1}$ , kovariační formy zbylých proměnných.

### Dvojrozměrné normální rozdělení

Pro dvojrozměrné ( $n=2$ ) rozdělení můžeme snadno vyjádřit explicitně prvky matice  $D^{-1}$ ; hustota (11), zapsaná pomocí středních hodnot  $\mu_1, \mu_2$ , standardních odchylek  $\sigma_1, \sigma_2$  a korelačního koeficientu  $\rho$  má tvar

$$f(x_1, x_2) = \frac{1}{2\pi\sigma_1\sigma_2\sqrt{1-\rho^2}} \exp \left\{ -\frac{1}{2(1-\rho^2)} \left[ \frac{(x_1-\mu_1)^2}{\sigma_1^2} - 2\rho \frac{(x_1-\mu_1)(x_2-\mu_2)}{\sigma_1\sigma_2} + \frac{(x_2-\mu_2)^2}{\sigma_2^2} \right] \right\}. \quad (14)$$

Můžeme si ji představit názorně jako zvonovitou plochu nad rovinou  $x_1, x_2$ , nebo při pohledu shora znázornit soustavu vrstevnic - čar s konstantní funkční hodnotou. Vrstevnicemi jsou elipsy

$$\frac{1}{1-\rho^2} \left[ \frac{(x_1-\mu_1)^2}{\sigma_1^2} - 2\rho \frac{(x_1-\mu_1)(x_2-\mu_2)}{\sigma_1\sigma_2} + \frac{(x_2-\mu_2)^2}{\sigma_2^2} \right] = \lambda = \text{konst.} \quad (15)$$

Protože kovariační forma na levé straně (15) má známé rozdělení ( $\chi^2$  se dvěma stupni volnosti), můžeme vypočítat pravděpodobnost, že dvojice  $x_1, x_2$  leží uvnitř elipsy (15):

$$P = F_{\chi^2}(\lambda);$$

$F_{\chi^2}$  je příslušná distribuční funkce. V obrázku 7 je nakresleno několik elips s různými pravděpodobnostními obsahy  $P=0.99, 0.954, 0.683, 0.5, 0.2$ , pro které podle tabulky v dodatku D1 vychází hodnoty  $\lambda$  po řadě 9.21, 6.158, 2.298, 1.386, 0.446; korelační koeficient je  $\rho = -3/4$ .

Z hustoty (14) odvodíme podmíněné rozdělení  $x_1$  za předpokladu, že  $x_2$  nabývá pevné hodnoty (viz (2.15)):

$$g(x_1) = f(x_1 | x_2) = \frac{1}{\sqrt{2\pi}\sigma_1\sqrt{1-\rho^2}} \exp\left\{-\frac{1}{2(1-\rho^2)\sigma_1^2} \left[x_1 - \mu_1 - \rho \frac{\sigma_1}{\sigma_2}(x_2 - \mu_2)\right]^2\right\}. \quad (16)$$

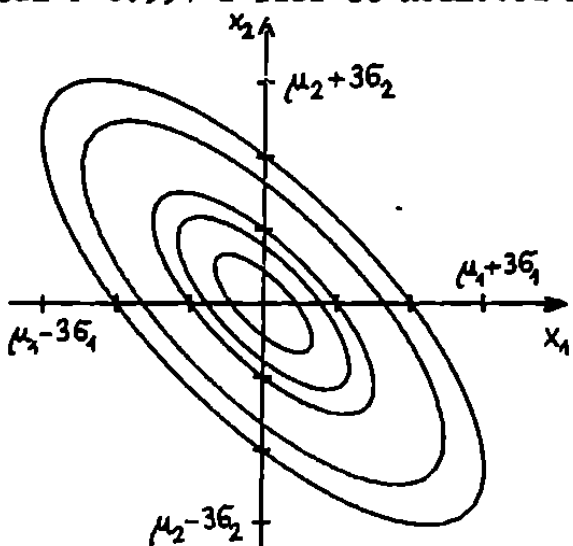
Je to normální rozdělení se střední hodnotou a disperzí

$$E(x_1 | x_2) = \mu_1 + \rho \frac{\sigma_1}{\sigma_2}(x_2 - \mu_2), \quad D(x_1 | x_2) = \sigma_1^2 (1 - \rho^2). \quad (17)$$

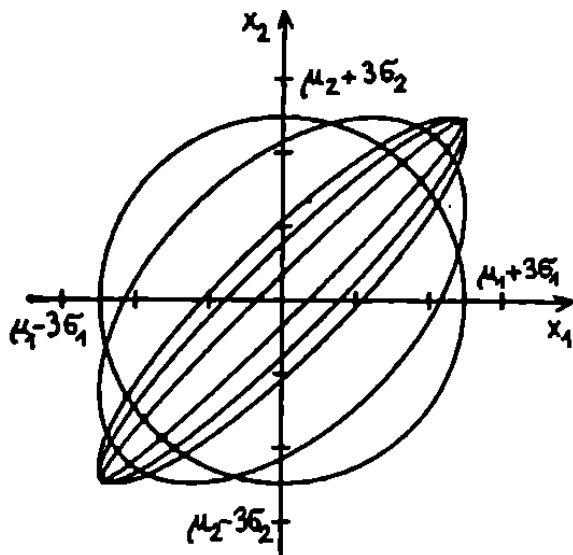
V tomto místě máme dobrou příležitost ilustrovat smysl pojmu závislost a korelace náhodných proměnných. Normálně rozdělené proměnné jsou nezávislé práve tehdy, když jsou nekorelované; je vidět, že hustota (14) je pro  $\rho = 0$  součinem hustot  $N(\mu_1, \sigma_1^2)$  a  $N(\mu_2, \sigma_2^2)$ . Jinými slovy, rozdělení každé proměnné je nezávislé na tom, jakou hodnotu nabývá druhá z nich. Obecně (pro jiná rozdělení) je ovšem nekorelovanost slabší než nezávislost (§3). Je-li korelační koeficient různý od nuly, záleží podle (17) rozdělení  $x_1$  na tom, jaké hodnoty nabývá  $x_2$ ; při  $|\rho| \rightarrow 1$  se zužuje kolem střední hodnoty závislé na  $x_2$ . V limitním případě úplné korelace ( $\rho = 1$ ) nabývají náhodné proměnné  $x_1, x_2$  hodnot, které spolu souvisí vztahem

$$(x_1 - \mu_1)/\sigma_1 = (x_2 - \mu_2)/\sigma_2. \quad (18)$$

Míru závislosti  $\rho$  obou proměnných můžeme znázornit ještě jinak. V obrázku 8 jsou nakresleny konstantní hustoty, které mají stejný pravděpodobnostní obsah  $P=0.954$  a liší se hodnotou korelačního koeficientu. S rostoucím  $\rho$



Obr. 7. Elipsy (15) normálního rozdělení s korelačním koeficientem  $\rho = -3/4$ . Pravděpodobnostní obsah je, po řadě od největší k nejmenší, roven 0.99, 0.954, 0.683, 0.5, 0.2.



Obr. 8. Elipsy s pravděpodobnostním obsahem 0.954 a různými korelačními koeficienty  $\rho = 0$  (kruh), 0.5, 0.9, 0.95, 0.99 (nejužší elipsa).

se oblast, do které bod  $x_1, x_2$  padne s velkou pravděpodobností, zužuje. Pro  $\rho = 1$  zdegeneruje elipsa v úsečku a  $x_1$  je lineární funkcií  $x_2$  podle vztahu (18).

Pravděpodobnostní obsah eliptických oblastí počítáme jednoduše pomocí distribuční funkce  $\chi^2$  - rozdělení. Užitečným údajem je pravděpodobnostní obsah obdélníků  $x_1 \in (\mu_1 - k\sigma_1, \mu_1 + k\sigma_1), x_2 \in (\mu_2 - k\sigma_2, \mu_2 + k\sigma_2)$  pro zadané násobky  $k$  standardních odchylek; k jeho vyčíslení je třeba integrovat funkci chyb (4.5):

$$P = \int_{\frac{\mu_1 - k\sigma_1}{\sigma_1}}^{\frac{\mu_1 + k\sigma_1}{\sigma_1}} dx_1 \int_{\frac{\mu_2 - k\sigma_2}{\sigma_2}}^{\frac{\mu_2 + k\sigma_2}{\sigma_2}} f(x_1, x_2) dx_2 = \sqrt{\frac{2}{\pi}} \int_0^k \left[ \Phi\left(\frac{k-\rho t}{\sqrt{1-\rho^2}}\right) - \Phi\left(\frac{-k-\rho t}{\sqrt{1-\rho^2}}\right) \right] \exp\left(-\frac{t^2}{2}\right) dt. \quad (19)$$

Závislost  $P$  na korelačním koeficientu pro několik hodnot  $k$  je nakreslena v obr. 9.

### 7. Binomické a Poissonovo rozdělení

Binomické rozdělení. Diskrétní náhodná proměnná, která nabývá celé nezáporné hodnoty  $r$  s pravděpodobností

$$P(r) = \binom{N}{r} p^r (1-p)^{N-r}, \quad r = 0, 1, \dots, N, \quad (1)$$

kde  $N$  je celé kladné,  $p$  reálné,  $0 \leq p \leq 1$ , má tzv. binomické rozdělení.

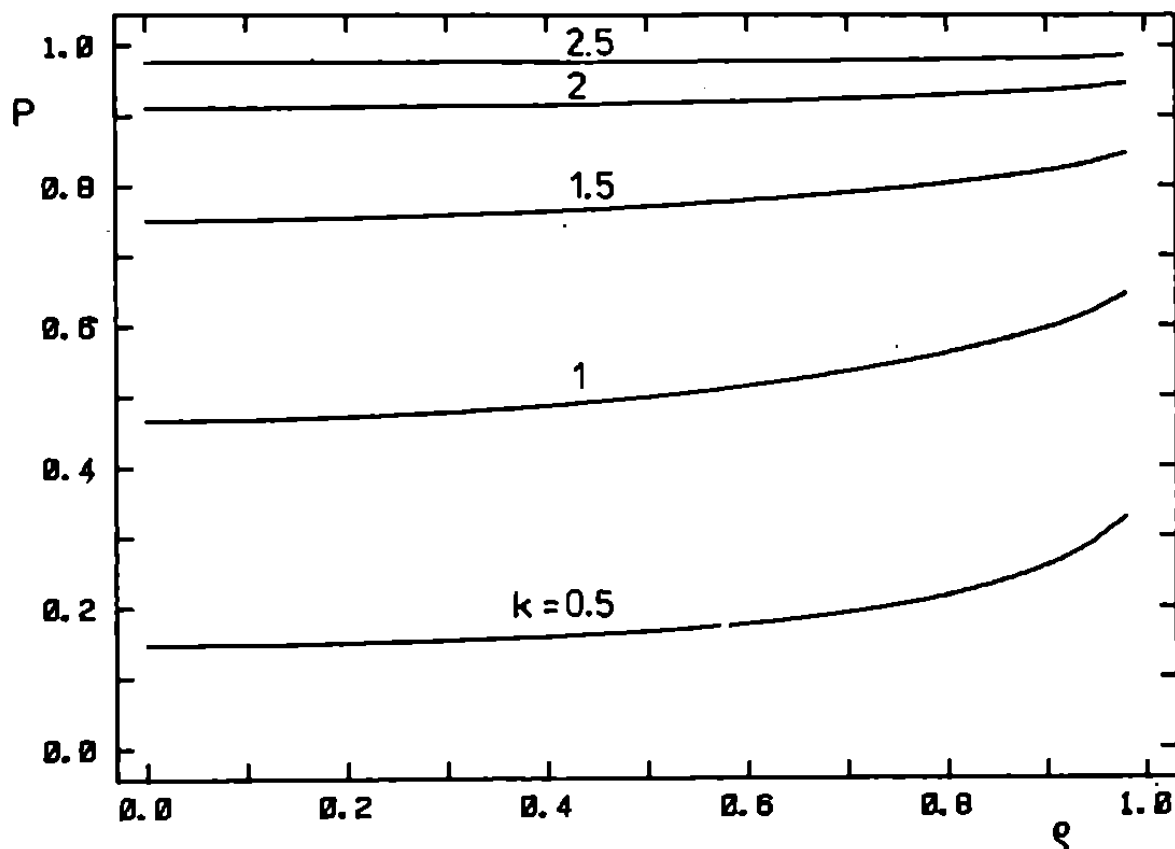
Pravděpodobnosti (1) jsou členy binomického rozvoje

$$(p+q)^N = \sum_{r=0}^N \frac{N!}{r!(N-r)!} p^r q^{N-r} \quad (2)$$

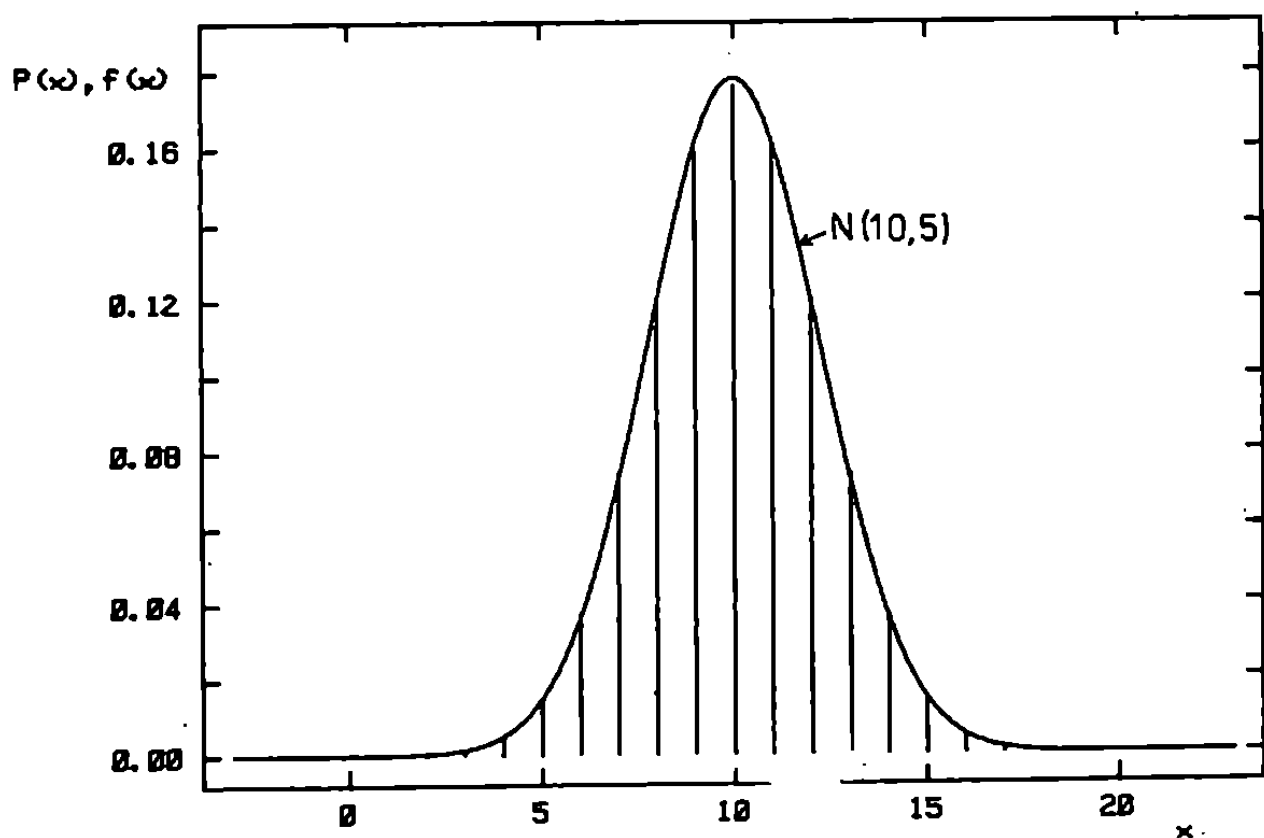
s  $q = 1-p$ . Střední hodnota, disperze, asymetrie a excess:

$$E(r) = Np, \quad D(r) = Np(1-p), \quad \gamma_1 = \frac{1-2p}{\sqrt{Np(1-p)}}, \quad \gamma_2 = \frac{1-6p(1-p)}{Np(1-p)}. \quad (3)$$

Proměnná s binomickým rozdělením popisuje výsledky opakovaných pokusů s náhodným jevem, který má jen dva možné výsledky. Jeden z nich



Obr. 9. Pravděpodobnostní obsah obdélníků  $\mu_1 \pm k\sigma_1, \mu_2 \pm k\sigma_2$  dvojrozměrného normálního rozdělení v závislosti na koeficientu korelace  $\rho$ .



Obr. 10. Binomické ( $N=10, p=1/2$ , svislé úsečky) a normální rozdělení.

(označíme ho úspěch) má pravděpodobnost  $p$ , druhý  $1-p$ . Pravděpodobnost, že v  $N$  pokusech nastane  $r$ -krát úspěch, je dána formulí (1). Toto rozdělení se děl použít v mnoha situacích, vybereme-li z možných výsledků nějakou podmnožinu a považujeme ji za úspěch. Například počet událostí v jedné buňce histogramu má binomické rozdělení.

Pro velká  $N$  se děl diskrétní funkce (1) dobře approximovat hustotou pravděpodobnosti normálního rozdělení. V obr. 10 je nakreslena rozdělovačí funkce (1) s  $N=20$ ,  $p=1/2$  a hustota normálního rozdělení se stejnou střední hodnotou 10 a disperzí 5.

Poissonovo rozdělení má náhodná proměnná, která nabývá celé nezáporné hodnoty  $r$  s pravděpodobností

$$P(r) = \frac{\mu^r \exp(-\mu)}{r!}, \quad r=0,1,\dots, \quad (4)$$

kde  $\mu > 0$  je reálné číslo. Střední hodnota, disperze, asymetrie a exces:

$$E(r)=D(r)=\mu, \quad g_1=1/\sqrt{\mu}, \quad g_2=1/\mu. \quad (5)$$

Poissonovo rozdělení dává pravděpodobnost výskytu  $r$  událostí v daném časovém intervalu, jsou-li tyto události nezávislé a vznikají s konstantní rychlostí. Například, z radiaktivního zdroje vylétají částice tak, že pravděpodobnost vyzáření jedné částice za infinitesimální čas  $dt$  je  $\nu dt$ . Pravděpodobnost vyzáření  $r$  částic za konečný interval délky  $t$  je děna rozdělením (4) se střední hodnotou  $\mu=\nu t$ . V limitě pro  $N \rightarrow \infty$  a při současném zmenšování pravděpodobnosti  $p$  takovém, že součin  $Np$  zůstává konstantní,  $Np=\mu$ , dostaneme totiž z binomického rozdělení (1)

$$P(r) = \lim_{N \rightarrow \infty} \left[ \binom{N}{r} \left(\frac{\mu}{N}\right)^r \left(1-\frac{\mu}{N}\right)^{N-r} \right] \quad (6)$$

právě Poissonovo rozdělení (4).

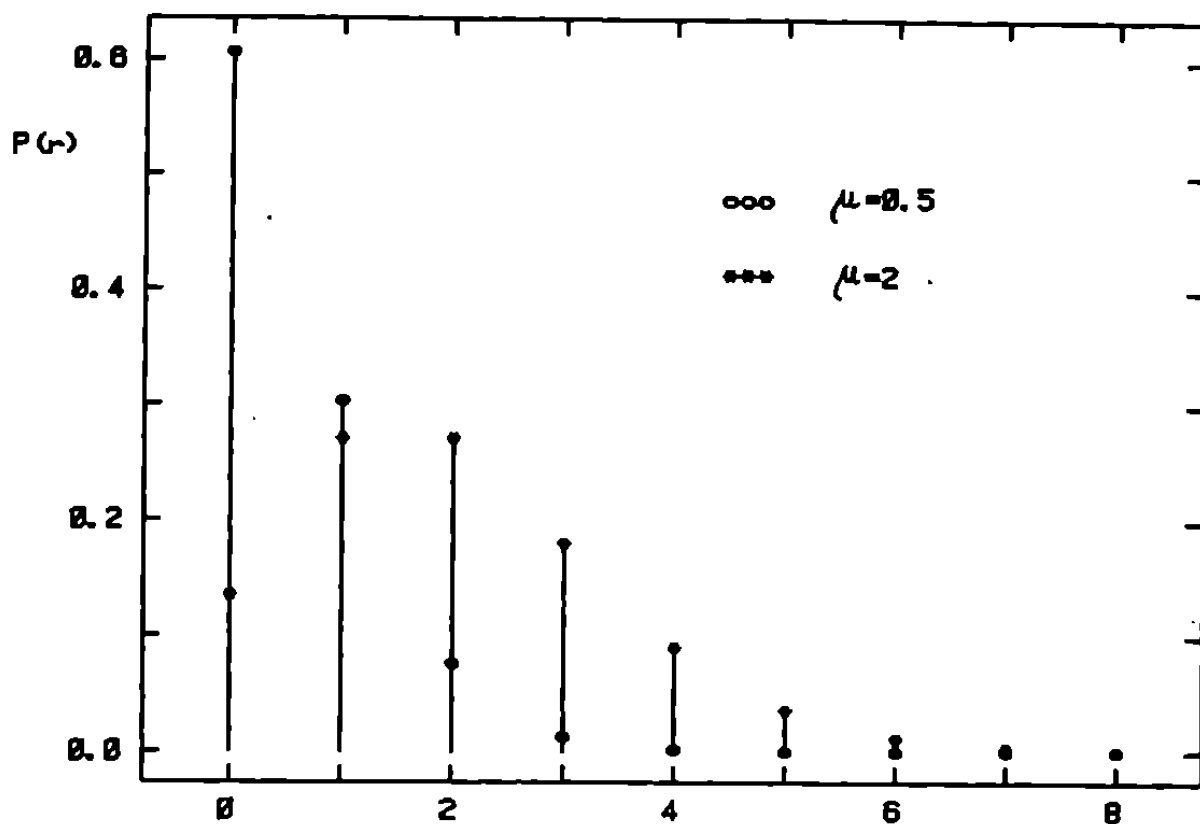
S rostoucí střední hodnotou  $\mu$  se dají pravděpodobnosti (4) dobře approximovat normální hustotou  $N(\mu, \mu)$  - viz. obr. 12.

### 8. $\chi^2$ , Studentovo a F - rozdělení

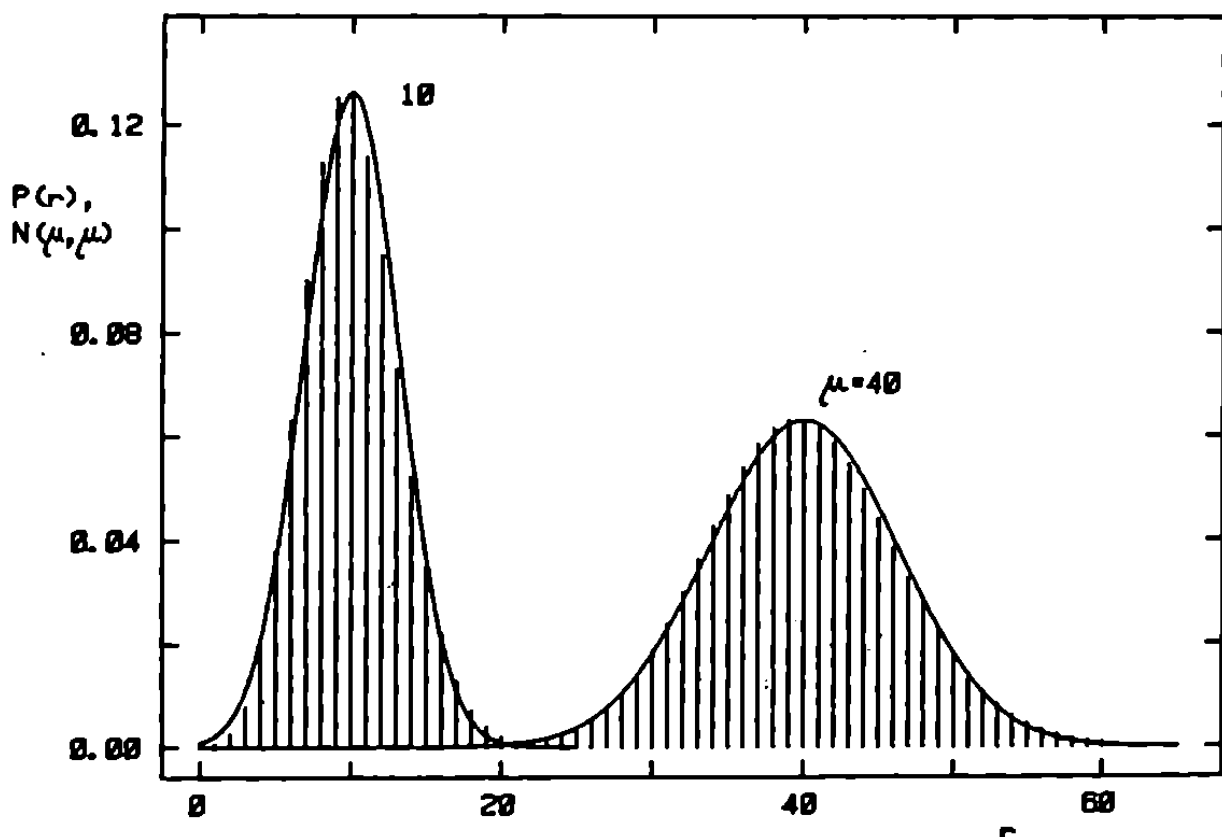
Ve statistice hrají podstatnou roli náhodné proměnné, které jsou funkcemi normálně rozdělených náhodných veličin; ve statistické terminologii se označují jako výběrová rozdělení z normálního souboru. Uvedeme tři nejdůležitější.

#### $\chi^2$ - rozdělení

(čti chi-kvadrát) má náhodná proměnná nabývající pouze kladných reálných hodnot s hustotou



Obr. 11. Poissonovo rozdělení.



Obr. 12. Poissonovo rozdělení (evislé úsečky) a normální rozdělení  $N(\mu, \sigma^2)$ .

$$f(x) = \frac{(x/2)^{(n-2)/2} \exp(-x/2)}{2\Gamma(n/2)}. \quad (1)$$

$n$  je celé kladné číslo, tzn. počet stupňů volnosti, funkce  $\Gamma$  je Eulerov integrál druhého druhu. Střední hodnota, disperze, asymetrie a exces:

$$E(x)=n, D(x)=2n, \gamma_1=2\sqrt{2/n}, \gamma_2=12/n. \quad (2)$$

Charakteristická funkce:

$$\chi(t) = (1-2it)^{-n/2}. \quad (3)$$

Rozdělení (1) má náhodná veličina  $x$ , která je součtem kvadrátů nezávislých proměnných  $x_1, \dots, x_n$ , z nichž každá má standardní normální rozdělení  $N(0,1)$ :

$$x=x_1^2+\dots+x_n^2. \quad (4)$$

O tom se můžeme přesvědčit s dosti velkou námahou výpočtem hustot podle (2.7) a (3.23), elegantně pomocí charakteristických funkcí.

Součet dvou nezávislých proměnných s  $\chi^2$  - rozdělením s  $n_1$  a  $n_2$  stupni volnosti má rozdělení (1) s  $n=n_1+n_2$ . Pro velká  $n$  se (1) blíží normálnímu rozdělení  $N(n, 2n)$ , viz. obr. 14. Ještě rychleji se k normálnímu rozdělení blíží veličina  $\sqrt{x}$ , přičemž pro její hustotu platí

$$g(\sqrt{2x}) \approx N(\sqrt{2n-1}, 1) \text{ pro } n \geq 30. \quad (5)$$

Z přibližné formule (3.27) a z (2) vyjde střední hodnota  $E(\sqrt{2x}) \approx 2n$  a disperze  $D(\sqrt{2x}) \approx D(x)(1/\sqrt{2n})^2 = 1$ . Se střední hodnotou  $\sqrt{2n-1}$  je approximace (5) lepší.

### Studentovo t - rozdělení

má náhodná proměnná nabývající reálných hodnot s hustotou

$$f(t) = \frac{\Gamma(\frac{n+1}{2})}{\sqrt{n}\pi} \frac{1}{\Gamma(n/2)} \left(1 + \frac{t^2}{n}\right)^{-\frac{n+1}{2}}, \quad (6)$$

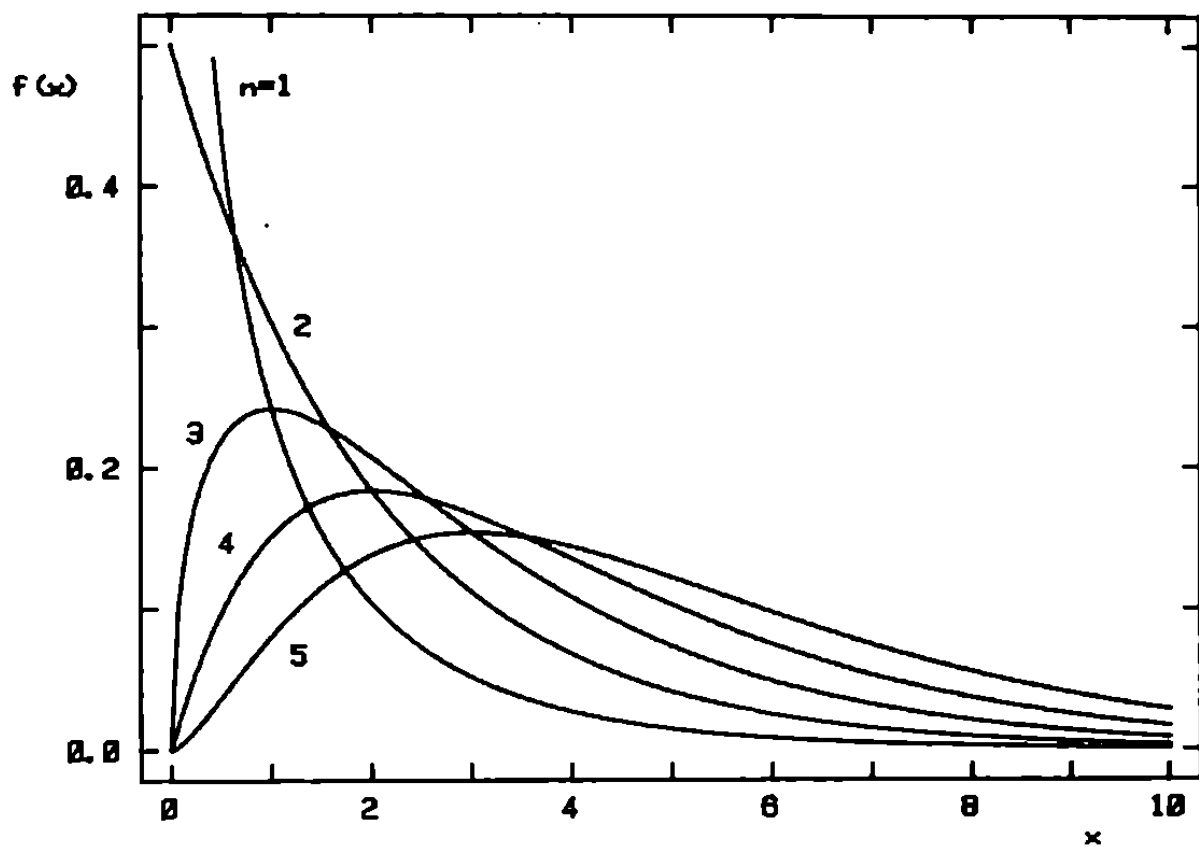
kde  $n$  je celé kladné číslo - počet stupňů volnosti. Práci o t-rozdělení publikoval v r. 1908 anglický statistik Gosset pod pseudonymem Student. Střední hodnota, disperze, asymetrie a exces:

$$E(t)=0, D(t)=\frac{n}{n-2} \text{ pro } n > 2, \gamma_1=0, \gamma_2=\frac{6}{n-4} \text{ pro } n > 4. \quad (7)$$

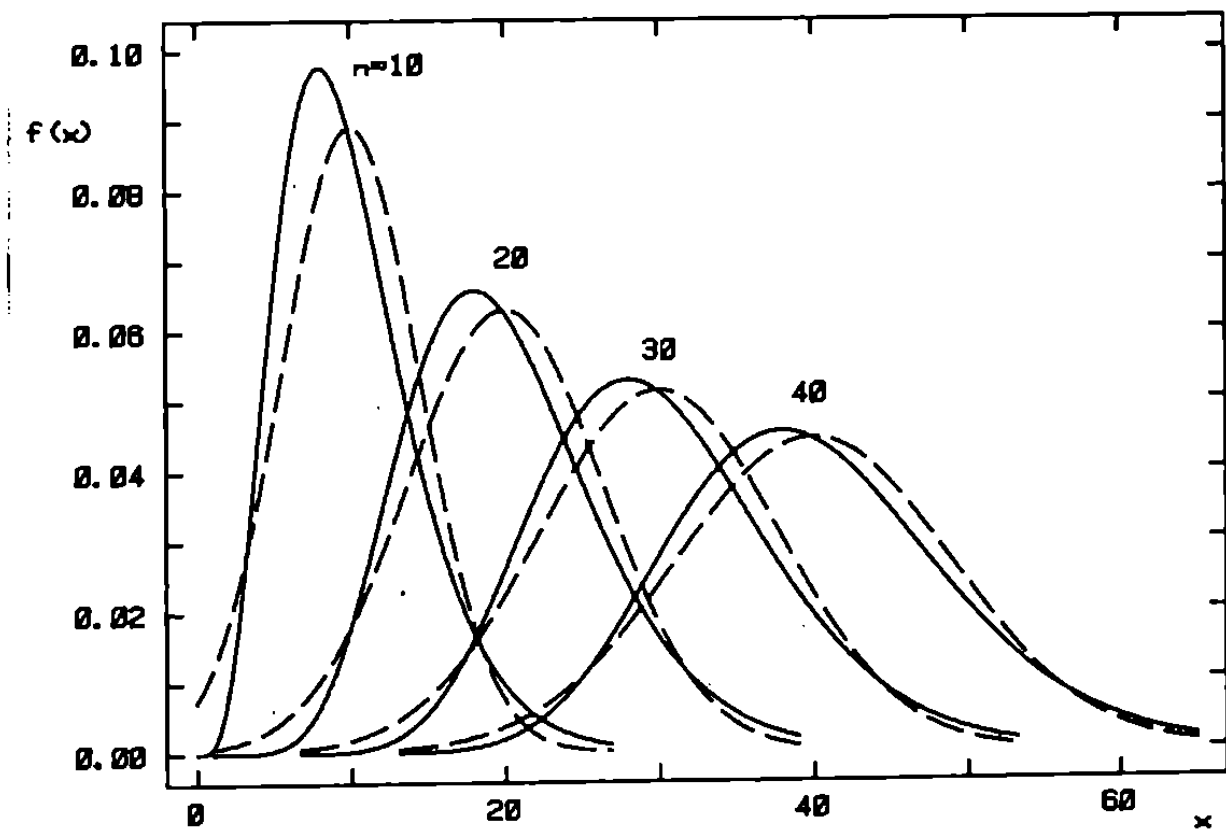
Hustotu (6) má náhodná veličina

$$t = \frac{x_0}{\sqrt{x/n}} = \frac{x_0}{\sqrt{(x_1^2+\dots+x_n^2)/n}}, \quad (8)$$

kde  $x_0$  a  $x$  jsou nezávislé,  $x_0$  má standardní normální rozdělení a  $x$  rozdě-



Obr. 13. Rozdělení  $\chi^2$ .



Obr. 14. Rozdělení  $\chi^2$  (plná čára) a normální rozdělení se stejnou střední hodnotou a disperzí (čárkována čára).

lení  $\chi^2$  s  $n$  stupni volnosti (vztah (4)). Pro rozdělení s  $n=1$  se používá názvu Cauchyovo (§9). S rostoucím  $n$  se hustota (6) přibližuje ke standardnímu normálnímu rozdělení. Obvykle se t-rozdělení nahrazuje normálním  $N(0,1)$  pro  $n > 30$ .

### F - rozdělení

Je zobecněním předchozích dvou. Označuje se často také jako Fisherovo-Snedecorovo nebo jen Snedecorovo, nebo jako rozdělení  $v^2$ . Hustota pravděpodobnosti je nenulová jen pro kladné hodnoty  $F$ :

$$f(F) = \left(\frac{m}{m'}\right)^{m/2} \frac{\Gamma(\frac{m+m'}{2})}{\Gamma(\frac{m}{2}) \Gamma(\frac{m'}{2})} F^{\frac{m-2}{2}} \cdot \left(1 + \frac{m}{m'}F\right)^{-\frac{m+m'}{2}}, \quad F > 0. \quad (9)$$

Zde jsou  $m, m'$  celá kladná čísla - počty stupňů volnosti. Střední hodnota a disperze:

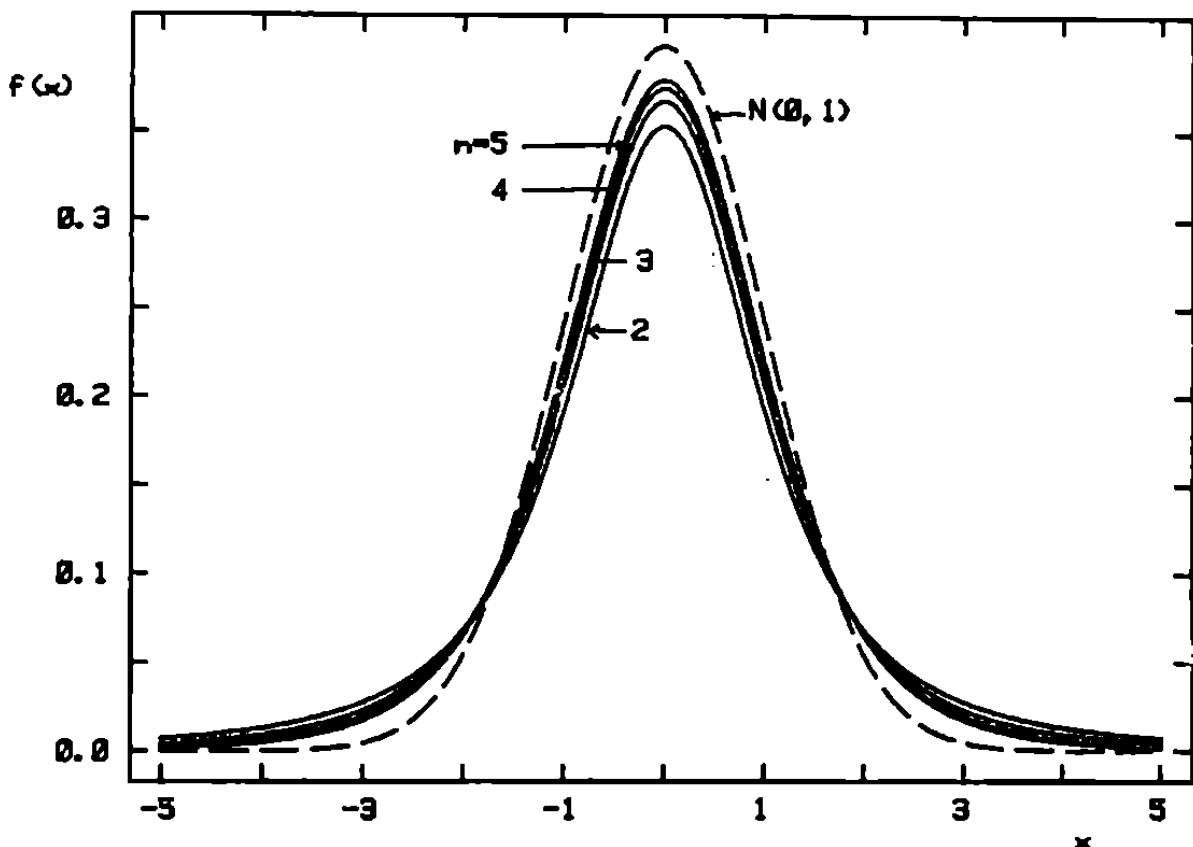
$$E(F) = \frac{m'}{m'-2} \text{ pro } m' > 2, \quad D(F) = \frac{2m'^2(m+m'-2)}{m(m'-2)^2 \cdot (m'-4)} \text{ pro } m' > 4. \quad (10)$$

Hustotu (9) má náhodná veličina

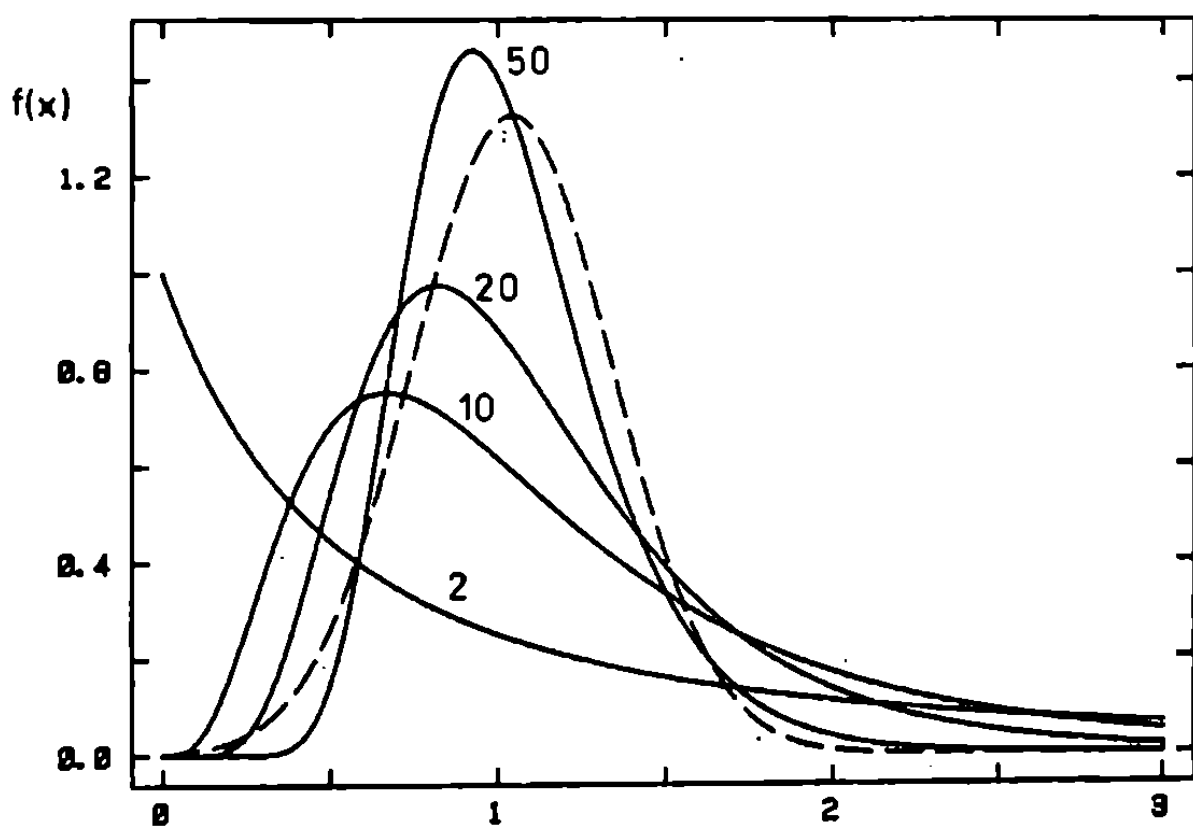
$$F = \frac{\frac{1}{m}(x_1^2 + \dots + x_m^2)}{\frac{1}{m'}(\tilde{x}_1^2 + \dots + \tilde{x}_{m'}^2)}, \quad (11)$$

kde  $x_1, \dots, x_m, \tilde{x}_1, \dots, \tilde{x}_{m'}$  jsou nezávislé normálně rozdělené proměnné se středními hodnotami nula a stejnými disperzemi  $\sigma^2$  ( $F$  na  $\sigma^2$  nezávisí). Je to tedy podíl  $(x/m)/(x'/m')$  proměnných  $x$  a  $x'$ , které mají  $\chi^2$  - rozdělení s  $m$  a  $m'$  stupni volnosti. Pro  $m, m' \rightarrow \infty$  se hustota (9) blíží k normální, ale poměrně pomalu (viz obr. 16). Pro  $m=1$  se  $F$ -rozdělení redukuje na Studenovo (přesněji na  $t^2$ ) s  $m'$  stupni volnosti. Pro  $m' \rightarrow \infty$  má jmenovatel v (11) normální hustotu se střední hodnotou 1 a disperzí klesající jako  $2/m'$ ; veličina  $mF$  má tedy rozdělení, které se blíží k  $\chi^2$  s  $m$  stupni volnosti.

Poměrně často se používá také náhodná proměnná  $z = \frac{1}{2} \ln F = \ln \sqrt{F}$ . Její rozdělení se označuje jako Fisherovo a má proti  $F$  výhodu v rychlejším přiblížení k normálnímu rozdělení při zvětšování  $m$  a  $m'$ .



Obr. 15.  $t$  - rozdělení s různým počtem stupňů volnosti  $n$  a limitní normální rozdělení.



Obr. 16.  $F$  - rozdělení s různým počtem stupňů volnosti  $m=m'$  (plná čára) a normální rozdělení se stejnou střední hodnotou a disperzí jako má  $F$  při  $m=m'=50$ , t.j.  $N(1.04, 0.0925)$  (čárkována čára).

## 9. Další modelová rozdělení, souvislost některých rozdělení

K řadu základních rozdělení popsaných v předchozích paragrafech doplníme několika dalšími užitečnými typy.

### Multinomické rozdělení

má  $k$ -rozměrná diskrétní náhodná proměnná nabývající celých nezáporných hodnot  $r_1, \dots, r_k$  z rozmezí  $0, 1, \dots, N$  s pravděpodobnostmi

$$P(r_1, \dots, r_k) = \frac{N!}{r_1! \dots r_k!} p_1^{r_1} \dots p_k^{r_k}. \quad (1)$$

Přitom jsou parametry  $p_1, \dots, p_k$  nezáporná reálná čísla taková, že  $p_1 + \dots + p_k = 1$ . Střední hodnoty a disperze jsou

$$E(r_i) = Np_i, \quad D(r_i) = Np_i(1-p_i), \quad (2)$$

smíšené druhé momenty a korelační koeficienty

$$D(r_i, r_j) = -Np_i p_j, \quad \rho_{ij} = -\sqrt{p_i p_j / (1-p_i)(1-p_j)} \quad \text{pro } i \neq j. \quad (3)$$

Je to zobecnění binomického rozdělení na případ, kdy máme pokus více než dva možné výsledky. Vztah (1) udává pravděpodobnost, že dostaneme  $r_i$  výsledků typu  $i$  v  $N$  nezávislých pokusech, když  $p_i$  je pravděpodobnost výsledku typu  $i$  v jednom pokusu. Multinomické rozdělení popisuje například četnosti v  $k$  sloupcích histogramu s celkovým počtem událostí  $N$ . Korelační koeficienty (3) jsou záporné, zvětšení počtu v jednom sloupci vede k pravděpodobnému zmenšení počtu v kterémkoliv jiném sloupci histogramu. Pro velký počet  $k$  jsou pravděpodobnosti malé:  $p_i \ll 1$ . Disperze ze vztahu (2) je přibližně  $D(r_i) \approx Np_i = E(r_i)$  a nahradou střední hodnoty počtem událostí  $r_i$  dostaneme užitečnou approximaci střední kvadratické odchylky

$$\sqrt{D(r_i)} = \sigma_i \approx \sqrt{r_i}. \quad (4)$$

### Rovnoměrné rozdělení

má spojitá náhodná proměnná, která nabývá libovolné hodnoty z intervalu  $\langle a, b \rangle$  s konstantní hustotou

$$f(x) = \frac{1}{b-a}, \quad x \in \langle a, b \rangle. \quad (5)$$

Střední hodnota, disperze, asymetrie a exces:

$$E(x) = (a+b)/2, \quad D(x) = (b-a)^2/12, \quad \gamma_1 = 0, \quad \gamma_2 = -1.2. \quad (6)$$

Charakteristická funkce:

$$\chi(t) = \frac{\sinh[i(t(b-a)/2)] + it(b+a)}{it(b-a)}. \quad (7)$$

Rovnoměrné rozdělení může popisovat například chyby, vznikající zaokrouhlováním čísel.

### Beta - rozdělení

má spojitá náhodné proměnné s hodnotami  $x \in \langle 0, 1 \rangle$  s hustotou

$$f(x) = \frac{\Gamma(n+m)}{\Gamma(m)\Gamma(n)} x^{m-1} (1-x)^{n-1}, \quad x \in \langle 0, 1 \rangle, \quad (8)$$

kde  $n, m$  jsou parametry (celá kladná čísla). Střední hodnota a disperze:

$$E(x) = \frac{m}{m+n}, \quad D(x) = \frac{mn}{(m+n)^2(m+n+1)}, \quad (9)$$

asymetrie a exces:

$$\gamma_1 = \frac{2(n-m)\sqrt{m+n+1}}{\sqrt{mn}(m+n+2)}, \quad \gamma_2 = \frac{3(m+n+1)[2(m+n)^2 + mn(m+n-6)]}{mn(m+n+2)(m+n+3)} - 3. \quad (10)$$

Toto rozdělení se uplatňuje v případech proměnných ohrazených shora i zdola. Zvláštním případem je rovnoměrné rozdělení ( $m=n=1$ ). Několik hustot typu (8) je nakresleno v obr. 17.

### Exponenciální rozdělení

má spojitá náhodné proměnné nabývající kladných hodnot s hustotou

$$f(x) = \frac{1}{\mu} \exp(-\frac{x}{\mu}), \quad x > 0, \quad (11)$$

kde  $\mu > 0$  je reálný parametr. Střední hodnota, disperze, asymetrie a exces:

$$E(x) = \mu, \quad D(x) = \mu^2, \quad \gamma_1 = 2, \quad \gamma_2 = 6. \quad (12)$$

Distribuční a charakteristické funkce:

$$F(x) = 1 - \exp(-\frac{x}{\mu}), \quad \chi(t) = (1-i\mu t)^{-1}. \quad (13)$$

Typické použití je následující: předpokládejme, že události vznikají náhodně s konstantní rychlosí (počtem za jednotku času)  $\nu$ . Pravděpodobnost vzniku  $N$  událostí za čas  $t$  je dáná Poissonovým rozdělením (§7) se střední hodnotou  $\nu t$ . Pravděpodobnost, že v intervalu  $\langle 0, t \rangle$  pozorujeme alespoň jednu událost podle vztahu (7.4) rovná  $1 - P(0) = 1 - \exp(-\nu t)$ . Čast, během kterého zaregistrujeme alespoň jednu událost, je tedy náhodná proměnná s distribuční funkcí typu (13).

### Dvojná exponenciální (Laplaceovo) rozdělení

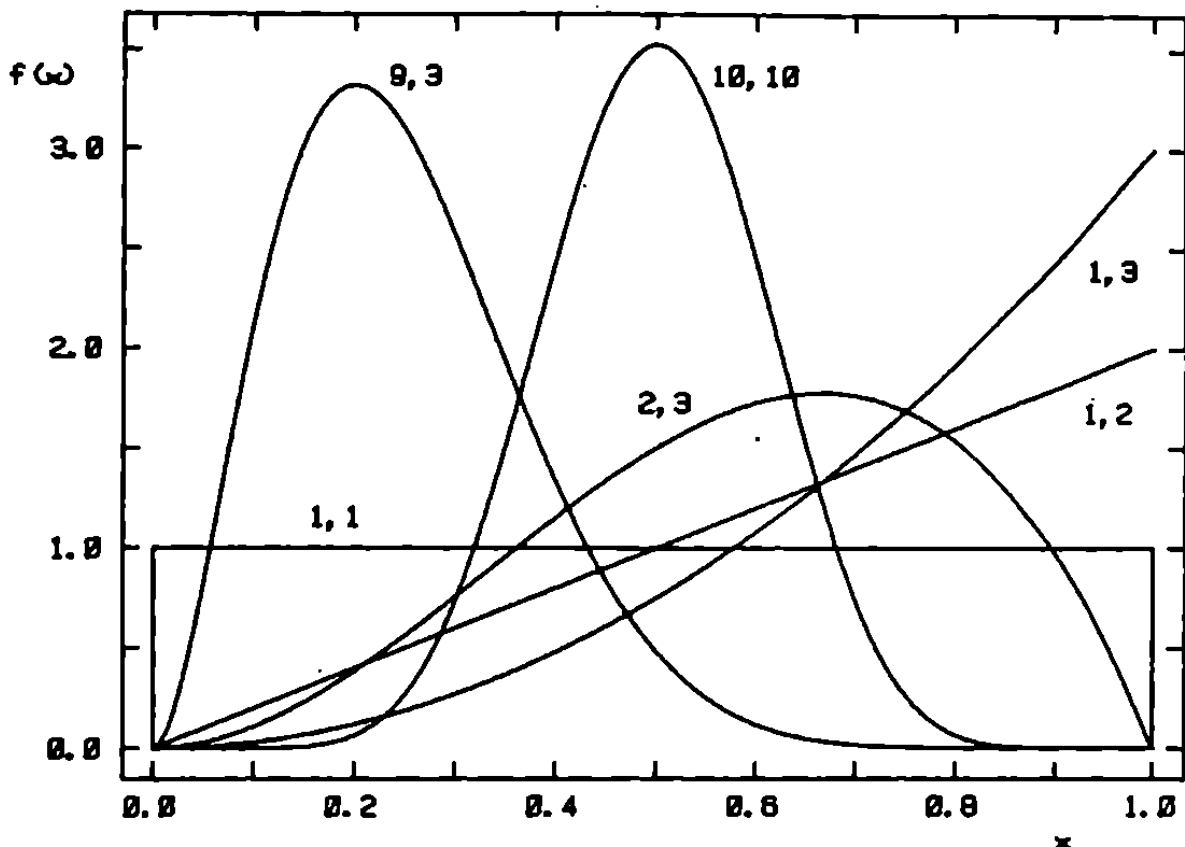
má proměnná nabývající libovolných hodnot s hustotou

$$f(x) = \frac{\lambda}{2} \exp(-\lambda|x-\mu|), \quad (14)$$

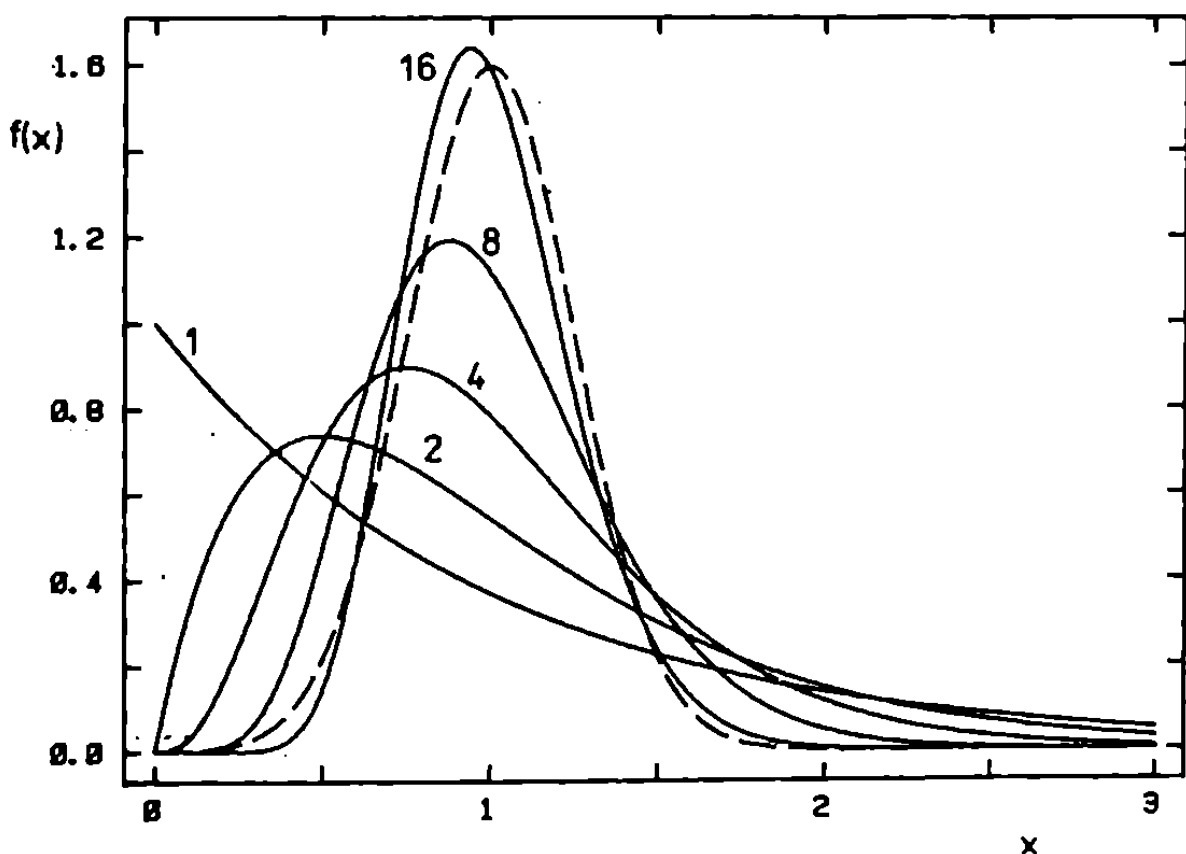
$\lambda > 0, \mu$  jsou reálné parametry. Střední hodnota, disperze, asymetrie a exces:

$$E(x) = \mu, \quad D(x) = 2/\lambda^2, \quad \gamma_1 = 0, \quad \gamma_2 = 3. \quad (15)$$

Pro velké  $|x|$  ubývá hustota (14) pomaleji než pro normální, ale rychleji než pro Cauchyovo rozdělení (19).



Obr. 17. Hustoty beta-rozdělení s různými parametry  $n, m$ .



Obr. 18. Hustoty gama-rozdělení s různými hodnotami  $a=b$ , plná čára; normální rozdělení  $N(1, 1/16)$ , čárkovaná čára.

### Gama - rozdělení

je zadáno hustotou

$$f(x) = \frac{\alpha(ax)^{b-1} \exp(-ax)}{\Gamma(b)}, \quad x > 0, \quad (16)$$

kde  $a, b$  jsou reálné kladné parametry. Střední hodnota, disperze, asymetrie a exces:

$$E(x) = b/\alpha, \quad D(x) = b/\alpha^2, \quad g_1 = 2/\sqrt{b}, \quad g_2 = 6/b. \quad (17)$$

$$\text{Charakteristická funkce: } \chi(t) = (1-it/\alpha)^{-b}. \quad (18)$$

Toto rozdělení je užitečné v případě proměnných ohrazených shora nebo zdola. Zvláštním případem je exponenciální ( $b=1$ ) a  $\chi^2$  - rozdělení ( $a=1/2$ ,  $b$  přirozené). Součet n nezávislých náhodných proměnných s exponenciálním rozdělením (11) má gama-rozdělení s  $b=n$ ,  $a=1/\mu$ . Hodnota parametru  $a$  ovlivňuje pouze měřítko proměnné. S rostoucími hodnotami  $a, b$  se při  $a=b$  rozdělení (16) rychle přibližuje normálnímu  $N(1, 1/\alpha)$ . V obrázku 18 je nakresleno několik hustot (16); křivka s  $a=b=1$  je hustota exponenciálního rozdělení (11) se střední hodnotou  $\mu=1$ .

### Cauchyovo rozdělení

má spojitá náhodná proměnná, nabývající libovolných reálných hodnot s hustotou a charakteristickou funkcí

$$f(x) = \frac{1}{\pi} \frac{1}{1+x^2}, \quad \chi(t) = \exp(-|t|). \quad (19)$$

Střední hodnota, disperze, asymetrie ani exces neexistují. Polohu rozdělení (19) může charakterizovat medián nebo moda (obojí nulové), rozptyl kolem nuly třeba pološířka v poloviční výšce (jednička). Ve fyzice se hustota (19), zapsaná ve tvaru

$$f(x) = \frac{1}{\pi} \frac{\Gamma}{\Gamma^2 + (x-x_0)^2}, \quad (20)$$

označuje jako rozdělení Breita-Wignera. Parametry  $x_0$  a  $\Gamma$  určují modu a pološířku. Srovnání Cauchyovy a normální hustoty je v obr. 19.

### Modifikace modelových rozdělení - odříznutí

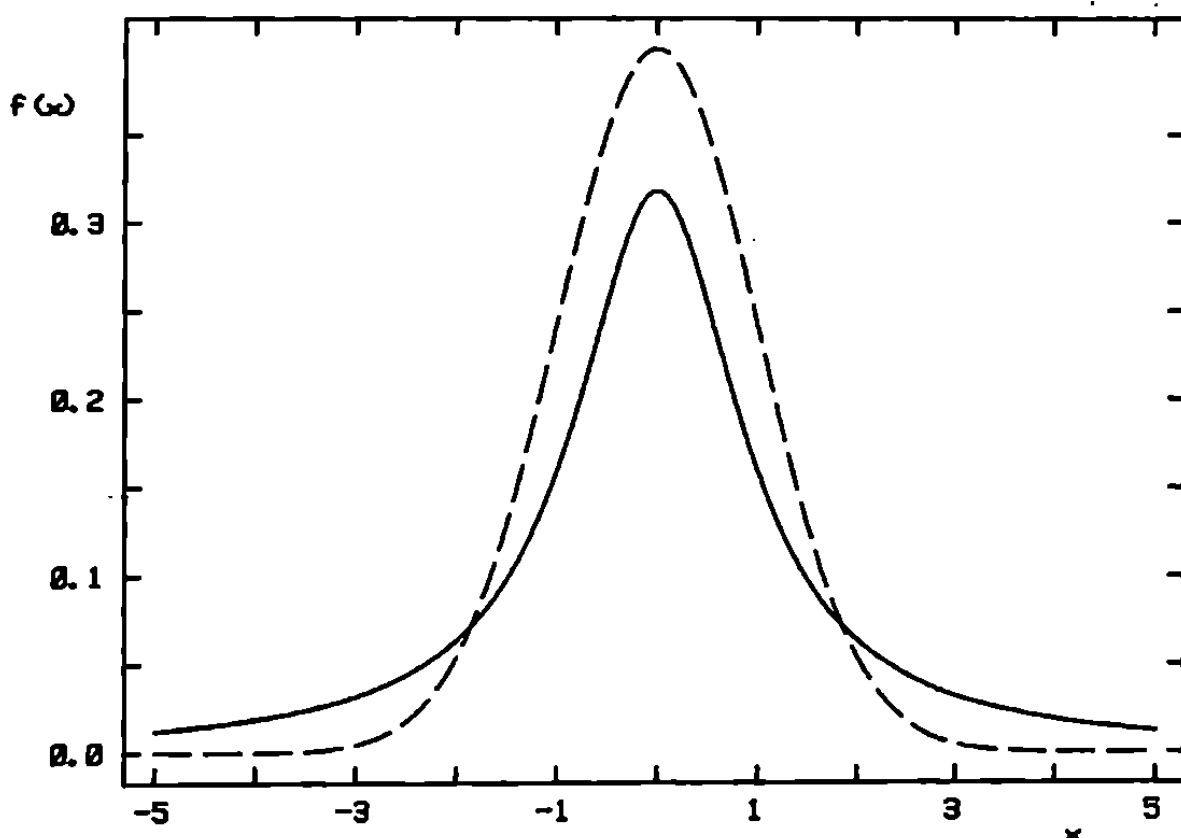
Jedním z nejčastějších defektů při použití modelových rozdělení je skutečnost, že oblast možných výsledků měření není nikdy nekonečná. Například v § 13 předpokládáme možnost naměřit libovolnou kladnou hodnotu doby života částice; odvozujeme ji však z délky stopy, která je omezena rozměry registračního zařízení. Tento nedostatek se dá korigovat tak, že zachováme funkční tvar hustoty  $f(x)$ , ale odřízneme intervaly hodnot, které nemohou nastat. Pro rozdělení v intervalu  $(a, b)$  musíme původní  $f(x)$  normovat:

$$\tilde{f}(x) = \frac{f(x)}{f(b)-f(a)}, \quad x \in (a, b), \quad (21)$$

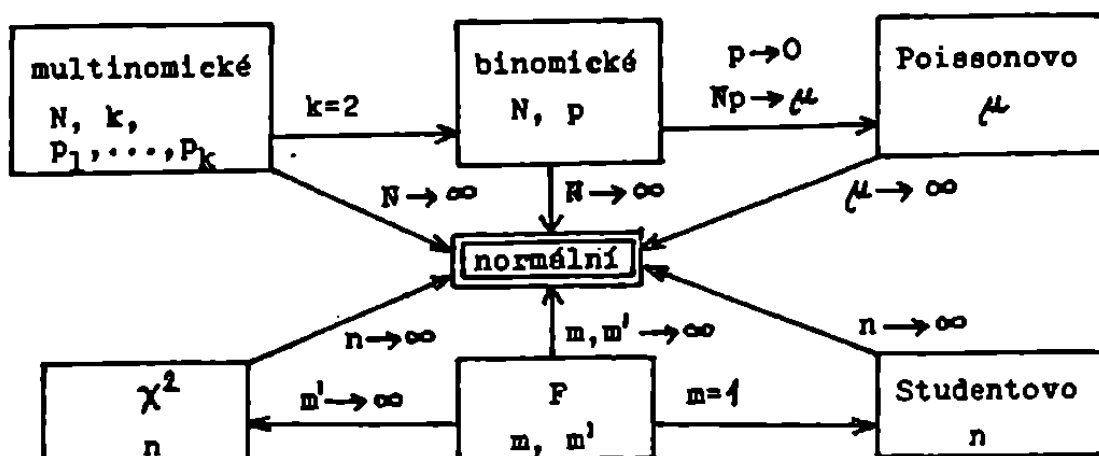
kde jsme distribuční funkci příslušnou k hustotě  $f(x)$  označili jako  $F(x)$ .

### Souvislost některých modelových rozdělení

V obrázku 20 je schematicky vyznačena souvislost vybraných modelových rozdělení. Pro některé hodnoty parametrů, většinou v asymptotické limitě, přechází řada rozdělení y jiný typ. Centrální postavení normálního rozdělení v tomto schematu je jedním z důvodů jeho extrémní užitečnosti.



Obr. 19. Cauchyovo (plná čára) a normální ( $N(0,1)$ , čárkovaná čára) rozdělení.



Obr. 20. Souvislost modelových rozdělení.

## II. Odhad parametrů

### 10. Metody statistického odhadu parametrů

Ve velké většině případů je cílem měření určit hodnoty neznámých veličin, které budeme označovat jako parametry. Někdy je cíl jiný, totiž posouzení správnosti jedné nebo několika hypotéz; v takové situaci se používají statistické metody testů hypotéz, kterými se budeme stručně zabývat v části III. V úloze určení hodnot parametrů z naměřených dat budeme rozlišovat dvě možnosti – přímé a nepřímé měření. V prvním případě je měřeným údajem přímo hodnota hledaného parametru, v druhém je souvislost měřených dat s hledanými parametry vyjedřena zadáným funkčním vztahem, tzv. modelem. Přímé měření můžeme samozřejmě chápat jako triviální případ měření nepřímého. Odlišujeme je kvůli jednoduchosti, ve které vynikne podstata statistických metod.

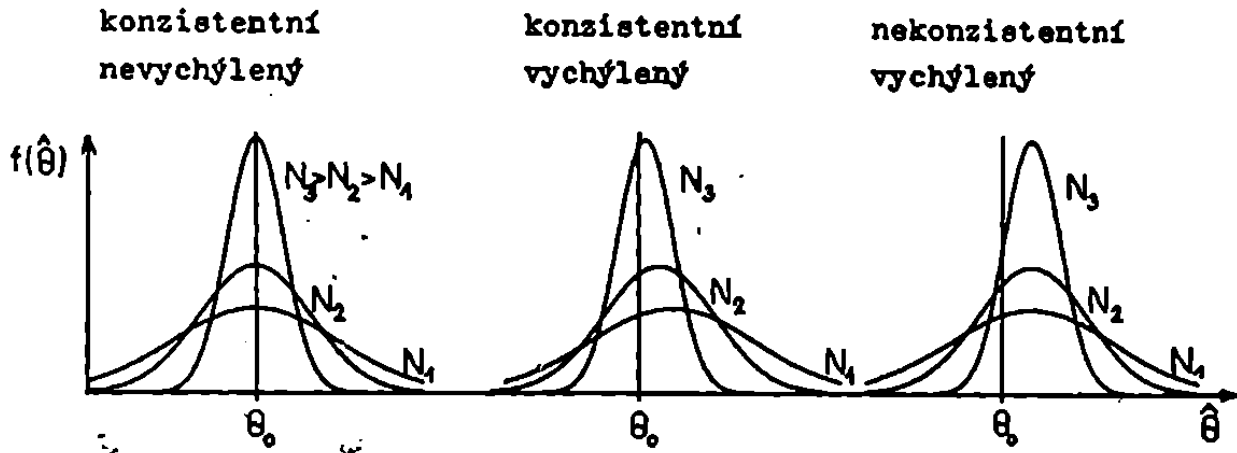
Výsledky měření jsou hodnotami náhodných proměnných, ať už v důsledku náhodných chyb v procesu měření nebo proto, že se samotný studovaný objekt řídí pouze pravděpodobnostními zákony. Hodnota parametru odhadnuté z měření je tedy také náhodná a nejúplnejší možná informace o ní je její rozdělení. Budeme co nejdůsledněji používat statistický termín odhad parametru místo běžnejšího "určení" (nebo "změření"), protože vyjadruje tuto podstatnou okolnost. Pro označení odhadu parametru  $\Theta$  budeme užívat symbolu  $\hat{\Theta}$ .

Z jednoho souboru naměřených dat je obvykle možné sestrojit mnoho různých odhadů hledaného parametru. Odhad je funkcí naměřených hodnot, která se ve statistické terminologii označuje jako "statistika" (tohoto termínu užívat nebudejme). Z různých možností je třeba vybrat nejvhodnejší, splňující řadu přirozených požadavků. Základní vlastnosti by měla být tzv. konzistence. Metoda odhadu se označuje jako konzistentní, konvergující odhad ke skutečné hodnotě parametru při zvětšování počtu měření. Konzistence odhadu zaručuje, že s pomocí dostatečně velkého počtu měření dokéžeme "lokализovat" neznámý parametr s libovolně velkou přesností. Například zákon velkých čísel (§5) říká, že aritmetický průměr je konzistentním odhadem střední hodnoty.

Další potřebnou vlastností dobré metody odhadu je nestrannost. Odhad  $\hat{\Theta}$  parametru  $\Theta_0$  je nestranný (nevychýlený), jestliže jeho střední hodnota je vždy (rozumí se při každém počtu N naměřených údajů) rovna  $\Theta_0$ :

$$E(\hat{\Theta}) - \Theta_0 = E(\hat{\Theta} - \Theta_0) = 0. \quad (1)$$

Konzistence a nestrannost jsou schematicky znázorněny v obr. 21. Je třeba uvědomit, že zážení hustoty  $f(\hat{\Theta})$  při zvětšení počtu měření neznamená, že konkrétní hodnota konzistentního odhadu  $\hat{\Theta}$  musí být blíž ke skutečné hodnotě  $\Theta_0$ , zvětší se pouze pravděpodobnost, že se to stane.



Obr. 21. Hustoty pravděpodobnosti odhadu  $\hat{\theta}$  pro různé počty  $N$  měřených údajů.

Je-li  $\hat{\theta}$  nevychýleným odhadem  $\theta_0$ , neznamená to ještě, že nevychýleným odhadem nějaké funkce  $h(\theta_0)$  je  $h(\hat{\theta})$ . Například, má-li  $\hat{\theta}$  standardní normální rozdělení, tedy střední hodnotu nula, má kvadrát  $(\hat{\theta})^2$  rozdělení  $\chi^2_1$  se střední hodnotou 1 (srovnej hustoty v obr. 4 a 10). Pro střední hodnotu kvadrátu dostaneme z (3.4)

$$E(\hat{\theta}^2) = [E(\hat{\theta})]^2 + D(\hat{\theta}), \quad (2)$$

odchylka od kvadrátu střední hodnoty je rovna disperzi  $D(\hat{\theta})$ . Při zkušování rozdělení konzistentního odhadu s rostoucím počtem měření se vychýlnost odhadu  $h(\hat{\theta})$  zmenšuje. Uplatňuje se totiž pouze malá oblast argumentů, ve které se dá funkce  $h$  approximovat lineárně (viz (3.27)).

#### Efektivnost odhadu

Výhodné jsou takové odhady, jejichž rozdělení kolem hledané hodnoty je co nejužší. Vhodnou mírou šířky rozdělení  $\hat{\theta}$  je disperze  $D(\hat{\theta})$ ; k hodnocení efektivnosti používáme podíl  $D_{\min}/D(\hat{\theta})$ , kde  $D_{\min}$  je nejmenší možná disperze mezi všemi odhady. Obvykle se daří celkem snadno najít asymptotickou efektivnost v limitě  $N \rightarrow \infty$  ( $N$  je počet změřených údajů). Je-li  $D(\hat{\theta}) = D_{\min}$ , označuje se  $\hat{\theta}$  krátce jako efektivní odhad.

#### Odhad intervalem a oblastí hodnot

Ustálenou formou udávání výsledků měření jsou intervalové odhady. Namísto jedné hodnoty  $\hat{\theta}$  (to je tzv. bodový odhad) je odhad parametru vyjádřen intervalem  $(\theta_a, \theta_b)$ , který se zadanou pravděpodobností  $P$  obsahuje hledanou hodnotu  $\theta_0$ . To znamená, že při opakování celého měření sice budou vycházet různé intervaly, ale zhruba v nP případech z celkového počtu n bude hledaná hodnota uvnitř intervalu. Pro zadané  $P$  lze najít více intervalů s touto vlastností a je třeba vybrat optimální - to je nejčastěji interval nejmenší délky (pro "nejpřesnější lokalizaci" neznámé hodnoty).

Takto vybranému intervalu se ve statistice říká konfidenční interval s pravděpodobnostním obsahem  $P$ , nebo interval spolehlivosti.

Intervalový odhad je zpravidla založen na znalosti <sup>rozdělení</sup> bodového odhadu  $\hat{\theta}$ . Velmi častý je případ, kdy má  $\hat{\theta}$  normální rozdělení se známou disperzí  $\sigma^2$ ; zápisem

$$\hat{\theta} \pm \sigma$$

rozumíme interval  $(\hat{\theta}-\sigma, \hat{\theta}+\sigma)$ , který má podle (4.6) pravděpodobnostní obsah  $P=0.683$ . Je to tzv. interval s jednou standardní odchylkou. Pravděpodobnostní obsah 0.683 udávaných intervalů by měl být dodržován a v případě, že je jiný, měl by být uveden spolu s intervalom. Hodnota  $P=0.683$  nemá jiné oprávnění než tradici a souvislost se standardní odchylkou normálního rozdělení. Podobně interval  $\hat{\theta} \pm 2\sigma$ , podle (4.6) s  $P=0.954$ , se často uvádí jako výsledek měření – v případě, kdy chceme standardní pravděpodobnost 0.683 zvětšit. Mezi délku intervalu a jeho pravděpodobnostním obsahem je třeba vybrat rozumný kompromis.

Odhadujeme-li několik parametrů současně, udáváme oblast hodnot, která se zadanou pravděpodobností obsahuje hledaný bod prostoru parametrů. V následujících odstavcích se budeme hledáním takových intervalů a oblastí několikrát zabývat.

Z běžných metod odhadu vybereme dvě nejdůležitější, které zpravidla dévají výsledky s požadovanými vlastnostmi (konzistence, efektivnost). Protože v tomto místě chceme vysvětlit podstatné myšlenky metod, budeme hovořit o jednom parametru; technické detaily postupu s větším počtem parametrů jsou v následujících odstavcích (zejména §§ 15–17).

#### Metoda maximální věrohodnosti

Předpokládejme, že nezávislé naměřené hodnoty  $y_1, \dots, y_N$  jsou náhodná čísla popsaná hustotami  $f(y_i | \theta)$ , závislými na hledaném parametru  $\theta$ . Odhad je možné založit na principu maximální věrohodnosti – najít ho tak, aby s hodnotou  $\hat{\theta}$  byla naměřená data pravděpodobnější než s jinými hodnotami  $\theta$ . Hustota pravděpodobnosti N-tice nezávislých náhodných proměnných je rovna součinu jednotlivých hustot:

$$L(y_1, \dots, y_N | \theta) = \prod_{i=1}^N f(y_i | \theta). \quad (3)$$

Při dosazení naměřených hodnot  $y_i$  je  $L$  funkcií  $\theta$ , pro kterou zavedl Fisher označení funkce věrohodnosti a použil ji k formulaci metody maximální věrohodnosti: pro hodnotu  $\hat{\theta}$  má  $L(\theta)$  maximum. Je nutné si uvědomit, že proměnná  $\theta$  není náhodná; zacházíme s ní tak, že zkoušíme, jak velkou věrohodnost  $L$  mají její možné hodnoty a pro odhad vybíráme bod maxima.  $\hat{\theta}$  už ovšem je náhodnou proměnnou, protože při opakování měření vyjde jiná N-tice  $y_i$  a tedy i jiná funkce  $L(\theta)$ .

Podmítku maxima  $L$  můžeme zapsat jako podmítku maxima logaritmu  $L$ :

( $L$  a  $\ln L$  mají extrémy ve stejných bodech):

$$\ln L = \sum_{i=1}^N \ln f(y_i | \theta). \quad (4)$$

Věrohodnost může mít několik maxim. Dá se ukázat, že právě jedno z nich dává konzistentní odhad a v asymptotické limitě  $N \rightarrow \infty$  je to maximum absolutní. Pro konečné  $N$  je však výběr správného maxima v "patologických" případech (maxim je více než jedno) problematický; obvykle je třeba hledat další informace o měřeném objektu.

Všechny údaje potřebné k určení rozdělení odhadu  $\hat{\theta}$  jsou obsaženy v hustotách  $f(y_i | \theta)$ ; zdůrazníme ještě jednou, že funkce věrohodnosti  $L(\theta)$  není hustotou pravděpodobnosti odhadu  $\hat{\theta}$ . Prakticky se hustota  $\hat{\theta}$  dá najít v některých jednoduchých a přitom důležitých případech. V následujících odstavcích uvidíme, že odhady mají typicky rozdělení normální nebo blízké k normálnímu. Obecně je hledání hustot odhadů značně obtížné, funkční závislost  $\hat{\theta}$  na měřených datech  $y_i$  je dána pouze implicitně – podmínkou maxima věrohodnosti. Potěšitelné je zjednodušení pro  $N \rightarrow \infty$ ; za velmi obecných podmínek mají odhady, díky platnosti centrální limitní věty, normální rozdělení. Pro disperzi  $\hat{\theta}$  vychází v limitě jednoduchá formula

$$D(\hat{\theta}) = \left( \frac{-\partial^2 \ln L}{\partial \theta^2} \right)^{-1} \Bigg|_{\theta=\hat{\theta}} ; \quad (5)$$

je to zároveň minimální možná hodnota disperze. Odhad metodou maximální věrohodnosti je asymptoticky efektivní.

#### Metoda nejmenších čtverců

Abychom mohli použít metodu maximální věrohodnosti, musíme znát rozdělení měřených hodnot v závislosti na odhadovaném parametru. V metodě nejmenších čtverců stačí znalost závislosti středních hodnot  $E(y_i | \theta)$  a disperzí  $D(y_i | \theta)$  na parametr  $\theta$ . Odhad  $\hat{\theta}$  hledáme, za předpokladu nezávislosti naměřených  $y_i$ , z podmínky minima součtu čtverců odchylek

$$S = \sum_{i=1}^N \frac{[y_i - E(y_i | \theta)]^2}{D(y_i | \theta)}. \quad (6)$$

Vybíráme tedy takovou hodnotu, pro kterou jsou očekávané (modelové) střední hodnoty co nejbližše naměřeným  $y_i$ . Přitom počítáme s tím, že pro hledanou hodnotu  $\theta_0$  budou odchylky  $y_i - E(y_i | \theta_0)$  zpravidla tím větší, čím větší je disperze  $y_i$ . Proto jsou v sumě (6) kvadráty odchylek násobeny tzv. váhou  $1/D(y_i | \theta)$ . Čím větší je disperze i-tého bodu, tím menší je jeho váha a relativní přispěvek do součtu; podmínka minima S povoluje v tomto bodě větší odchylku. Naopak, modelová a naměřená hodnota s malou disperzí musí být blízké; velká váha v součtu čtverců ovlivňuje výběr odhadu v tomto směru.

Odhad  $\hat{\theta}$  se nezmění, násobíme-li všechny členy v součtu (6) stejnou konstantou. To znamená, že není třeba znát všechny disperze  $D(y_i|\theta)$ , stačí jejich relativní velikosti. Jsou-li všechny  $D(y_i|\theta)$  stejné a nezávislé na  $\theta$ , neuplatní se v odhadu  $\hat{\theta}$  z nejmenších čtverců vůbec; potom hledáme minimum sumy

$$S = \sum_{i=1}^N [y_i - E(y_i|\theta)]^2 = \sum_{i=1}^N [y_i - f_i(\theta)]^2. \quad (7)$$

Zde jsme zavedli nové označení  $f_i(\theta)$  pro funkční závislost i-té hodnoty modelu měřených hodnot na parametr. Takový zápis je běžný v situaci, kdy měřené hodnoty  $y_i$  jsou součtem

$$y_i = f_i(\theta) + \varepsilon_i \quad (8)$$

hodnot modelu a náhodné chyby  $\varepsilon_i$  s nulovou střední hodnotou. Často jsou měřené údaje získány při různých (známých) hodnotách nějakého parametru  $x$ , což zapíšeme symbolicky jako

$$y_i = f(x_i, \theta) + \varepsilon_i. \quad (9)$$

Pozoruhodné vlastnosti má odhad metodou nejmenších čtverců v případě lineárního modelu, kdy  $E(y_i|\theta)$  je lineární funkcí  $\theta$  a  $D(y_i|\theta)$  na  $\theta$  nezávisí. Především jsou odhady z minima  $S$  lineárními funkcemi  $y_i$ , jsou nevychýlené při libovolném  $N$  a mají minimální disperzi ze všech možných nevychýlených lineárních odhadů (Gaussova-Markova věta). Tyto vlastnosti nezávisí na rozdělení dat, jsou dány pouze linearitou modelu.

#### Rozdělení dat

Mají-li měřené hodnoty  $y_i$  normální rozdělení (4.1) se středními hodnotami  $f_i(\theta)$  a disperzemi  $6_i^2$  nezávislými na  $\theta$ ,

$$f(y_i|\theta) = \frac{1}{\sqrt{2\pi} 6_i} \exp\left\{-\frac{[y_i - f_i(\theta)]^2}{2 6_i^2}\right\}, \quad (10)$$

vyjde velmi jednoduchá souvislost logaritmu věrohodnosti (4) a součtu čtverců (6):

$$\ln L = \sum_{i=1}^N \left\{ -\frac{[y_i - f_i(\theta)]^2}{2 6_i^2} - \ln(\sqrt{2\pi} 6_i) \right\} = -\frac{S}{2} - \sum_{i=1}^N \ln(\sqrt{2\pi} 6_i). \quad (11)$$

Protože druhý člen na pravé straně (11) na  $\theta$  nezávisí, maximum věrohodnosti  $L$  nastává pro tutéž hodnotu  $\hat{\theta}$  jako minimum součtu čtverců  $S$ . Obě metody odhadu jsou v tomto případě ekvivalentní.

Data, která mají přibližně normální rozdělení, se prakticky vyskytují velmi často; jejich zpracování budeme věnovat největší pozornost. Je-li rozdělení jiné a přitom známé, je obvykle výhodné využít metodu maximální

věrohodnosti. S odhadem parametrů z dat s rozdelením jiným než normálním se setkáme v §§ 13-15. V případě neznámého rozdelení dat je zpravidla preferována metoda nejmenších čtverců, díky jejím optimálním vlastnostem pro lineární modely (nezávisle na rozdelení). Formulace odhadu je jednoduchá a názorná, což jistě přispívá k popularitě této metody; používá se velmi často pro nelineární metody, kdy už diskutované optimální vlastnosti nemá.

Volba metody odhadu by měla být adekvátní důležitosti řešeného problému a náročnosti experimentální práce. Bylo by nesmyslné zhodnotit výsledky obtížných měření na drahých aparaturách jednoduchou neefektivní metodou. Na druhé straně je v mnoha situacích hledání optimální metody nepriměřeně náročné, mnohem výhodnější může být použití málo efektivní metody s tím, že potřebnou přesnost zajistíme třeba opakováním měření.

#### Poznámka o inverzní pravděpodobnosti

V předchozích úvahách jsme hledaný parametr  $\theta_0$  považovali za pevnou, i když neznámou, charakteristiku měřeného objektu, která se projeví v rozdelení odhadu  $\hat{\theta}$ . Pomocí symbolu podmíněné pravděpodobnosti (§1) označíme hustotu odhadu  $f(\hat{\theta}|\theta_0)$ . Fakt, že různé hodnoty  $\theta_0$  vedou k různým rozdělením odhadu umožňuje formulaci pravděpodobnostních závěrů o souvislosti hodnoty  $\hat{\theta}$  získané z konkrétního měření s hledaným  $\theta_0$ .

O problému hledání  $\theta_0$  se dá hovořit úplně jiným způsobem: pozorovaná hodnota  $\hat{\theta}$  specifikuje, které z možných hodnot  $\theta_0$  jsou více a které méně pravděpodobné. Tento pohled na problém odhadu je vyjádřen zavedením rozdelení  $p(\theta_0|\hat{\theta})$ , ve kterém je  $\theta_0$  proměnnou a  $\hat{\theta}$  podmírkou (obráceně, než v hořejší hustotě  $f(\hat{\theta}|\theta_0)$ ). Pravděpodobnosti  $p$  se označují jako inverzní. Použití pojmu inverzní pravděpodobnosti může být velmi přitažlivé; otázka "jaká je pravděpodobnost toho, že skutečná hodnota je  $\theta_0$ , když z měření vychází  $\hat{\theta}$ ?" se zdá být položena správně. Manipulace s  $p(\theta_0|\hat{\theta})$  je založena na Bayesově teorému (1.10), přesněji řečeno na jistém způsobu jeho interpretace. Nebudeme se tímto problémem zabývat, odkážeme pouze na podrobnou a zajímavou diskusi v knize [4]. Přidržíme se běžného chápání odhadované veličiny jako neznámé konstanty a inverzní pravděpodobnost  $p(\theta_0|\hat{\theta})$  používat nebudeme.

#### II. Příklad měření časového intervalu

Ukážeme, jak se dají prostředky teorie pravděpodobnosti a matematické statistiky použít v konkrétním případě – při zpracování dat získaných ručním měřením známého časového intervalu  $t_0 = 2s$  z příkladu v § 2. Celý postup založíme na předpokladu, že se rozdelení naměřených hodnot dá dobře approximovat normální hustotou; k posouzení vhodnosti této approximace se vrátíme na konci tohoto paragrafu. Vše co se dá říci o četnostech možných výsledků měření je tedy obsaženo ve dvou parametrech normálního rozdelení

$$f(t_1) = \frac{1}{6\sqrt{2\pi}} \exp \left[ -\frac{(t_1 - t_0)^2}{2\sigma^2} \right]. \quad (1)$$

Střední hodnota je rovna hledané veličině  $t_0$  a disperze  $\sigma^2$  (nebo standardní odchylka  $\sigma$ ) charakterizuje chyby měření.

Zapomeňme na chvíli, že střední hodnotu  $t_0$  známe; naším úkolem je odhadnout  $t_0$  a  $\sigma^2$  z naměřených hodnot  $t_i, i=1, \dots, 200$ . Ptáme se: která čísla  $t_0$  a  $\sigma^2$  v normálním rozdělení nejlépe souhlasí s tím, co jsme ve dvou stech měření zaregistrovali? Nejlepší dosud známá odpověď na tuto otázku je ta, že je třeba parametry najít tak, aby s nimi byla právě tato naměřená data nejvhodnější (§ 10). Protože předpokládáme nezávislost jednotlivých  $t_i$ , je hustota pravděpodobnosti N-tice výsledků rovna součinu hustot (1)

$$L = \prod_{i=1}^N \frac{1}{6\sqrt{2\pi}} \exp \left[ -\frac{(t_i - t_0)^2}{2\sigma^2} \right]. \quad (2)$$

Maximum věrohodnosti L najdeme nejlépe jako maximum funkce

$$\ln L(t_0, \sigma^2) = - \sum_{i=1}^N \frac{(t_i - t_0)^2}{2\sigma^2} - \frac{N}{2} (\ln \sigma^2 + \ln 2\pi). \quad (3)$$

Z podmínek maxima  $\partial(\ln L)/\partial t_0 = 0, \partial(\ln L)/\partial \sigma^2 = 0$  dostaneme odhady

$$\hat{t}_0 = \frac{1}{N} \sum_{i=1}^N t_i, \quad \hat{\sigma}^2 = \frac{1}{N} \sum_{i=1}^N (t_i - \hat{t}_0)^2. \quad (4)$$

Podmínka maxima L vzhledem k  $t_0$  je totožná s podmínkou minima součtu čtverců odchylek  $t_i - t_0$ .

Z kompletních dat ( $N=200$ ) vychází v našem příkladě  $\hat{t}_0 = 1.99281$ s,  $\sqrt{\hat{\sigma}^2} = 0.1335$ s. To jsou ovšem hodnoty náhodných proměnných - při opakování celého experimentu budou vycházet různě. Rozdělení  $\hat{t}_0$  je podle (4.8) a (1) normální se střední hodnotou  $t_0$  a disperzí  $D(\hat{t}_0) = \sigma^2/N$ . Rozdělení náhodné proměnné  $N\hat{\sigma}^2/\sigma^2$  je  $\chi^2$  s  $N-1$  stupněm volnosti (§ 8);  $\hat{\sigma}^2$  ze vztahu (4) se totiž dá nechat jako součet  $N-1$  kvadrátů nezávislých lineárních kombinací veličin  $t_i$ , z nichž každá má střední hodnotu nula a disperzi  $\sigma^2$ . Instruktivní je ověření tohoto faktu pro  $N=2$ . Odhad  $\hat{\sigma}^2$  je vychýlený, protože střední hodnota rozdělení  $\chi^2_{N-1}$  je  $N-1$  (viz(8.2)), odkud vyjde střední hodnota  $E(\hat{\sigma}^2) = \sigma^2(N-1)/N \neq \sigma^2$ . Podmínka konzistence odhadu  $\hat{\sigma}^2$  ovšem splněna je (pro  $N \rightarrow \infty$  je  $E(\hat{\sigma}^2) \rightarrow \sigma^2$ ). Je zřejmé, že nevychýleným odhadem disperze  $\hat{\sigma}^2$  je veličina

$$\hat{\sigma}^2 = \frac{N}{N-1} \hat{\sigma}^2 = \frac{1}{N-1} \sum_{i=1}^N (t_i - \hat{t}_o)^2, \quad (4a)$$

pro větší  $N$  je ovšem rozdíl mezi odhady (4) a (4a) nepodstatný.

Znalost rozdělení  $\hat{t}_o$  a  $\hat{\sigma}^2$  umožňuje zformulovat výsledek měření, totož pravděpodobnostní závěry o souvislosti  $\hat{t}_o$  s hledanou hodnotou  $t_o$ . Náhodné proměnné

$$\frac{(\hat{t}_o - t_o) / \sqrt{\hat{\sigma}^2 / N}}{\sqrt{N \hat{\sigma}^2 / [(N-1) \hat{\sigma}^2]}} = \frac{\hat{t}_o - t_o}{\sqrt{\hat{\sigma}^2 / (N-1)}} \quad (5)$$

má podle (8.8) Studentovo rozdělení s  $N-1$  stupném volnosti. Označíme-li

$$\hat{\delta} = \sqrt{\frac{\hat{\sigma}^2}{N-1}} = \sqrt{\frac{1}{N(N-1)} \sum_{i=1}^N (t_i - \hat{t}_o)^2}, \quad (6)$$

můžeme vypočítat pravděpodobnost, že  $t_o$  leží v intervalu  $(\hat{t}_o - k\hat{\delta}, \hat{t}_o + k\hat{\delta})$ :

$$P[t_o \in (\hat{t}_o - k\hat{\delta}, \hat{t}_o + k\hat{\delta})] = P\left[\left|\frac{\hat{t}_o - t_o}{\hat{\delta}}\right| < k\right] = F_{N-1}(k) - F_{N-1}(-k) = 2F_{N-1}(k) - 1, \quad (7)$$

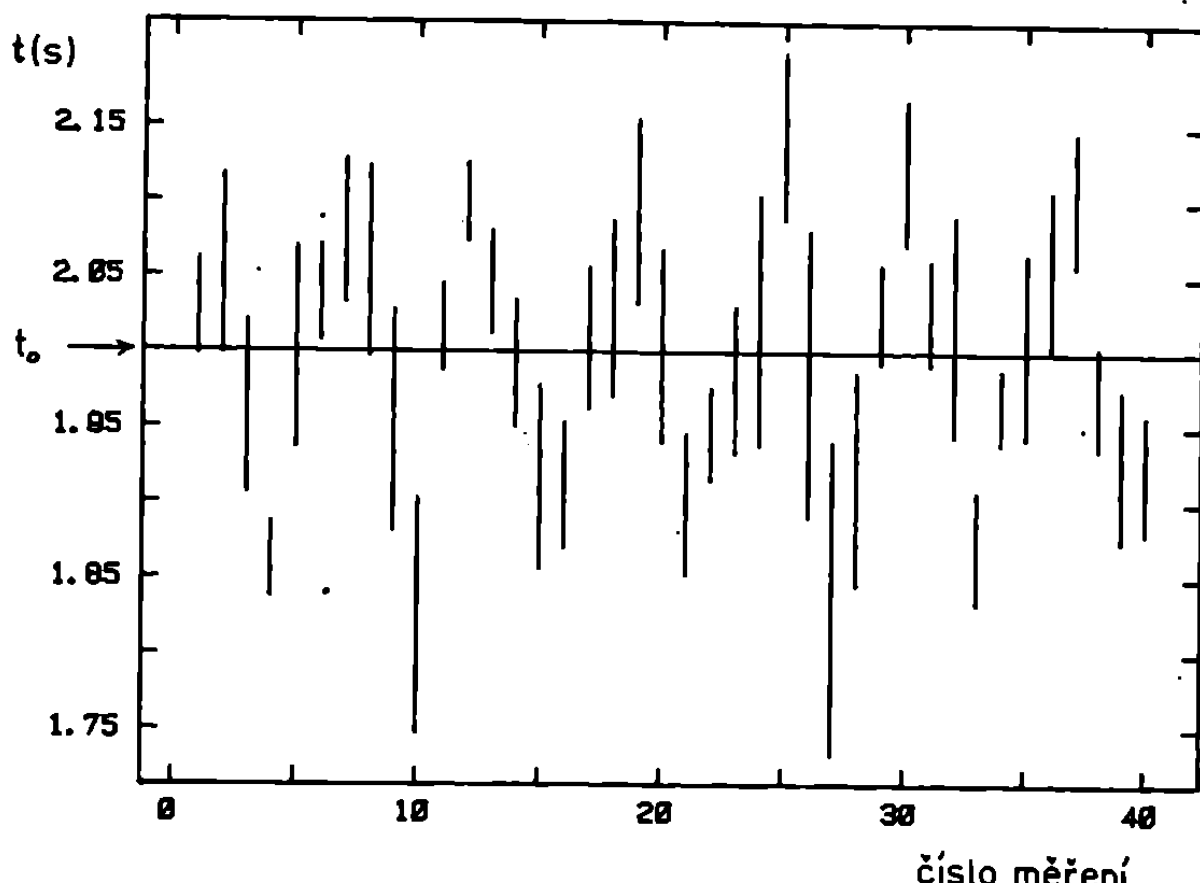
pomocí distribuční funkce  $F_{N-1}$  Studentova rozdělení s  $N-1$  stupném volnosti. Protože při  $N-1=199$  je Studentovo rozdělení prakticky totožné s normálním, je pravděpodobnost (7) rovna 0.683 pro  $k=1$  a 0.954 pro  $k=2$  (rovněj s (4.6)). Měli bychom zachovat konvenci a udat jako výsledek měření intervalový odhad s pravděpodobnostním obsahem 0.683, kterým je  $\hat{t}_o \pm \hat{\delta}$ :

$$(1.9928 \pm 0.0095) a. \quad (8)$$

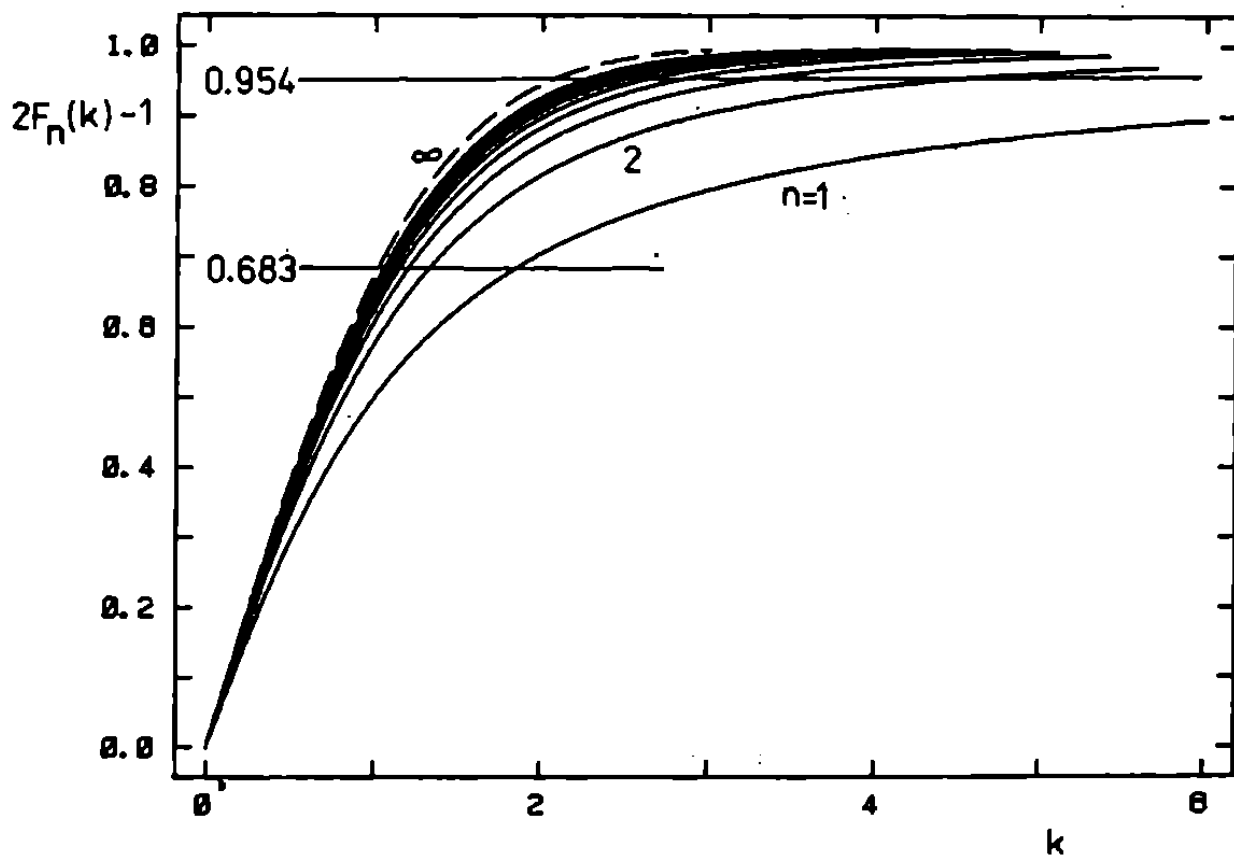
Shrneme smysel tohoto výsledku. S pravděpodobností 68.3% obsahují takto získané intervaly  $\hat{t}_o \pm \hat{\delta}$  správnou hodnotu  $t_o$  (při mnohonásobném opakování bude v 68.3% případu  $t_o$  v mezích intervalového odhadu, ve zbylých 31.7% mimo ně). Přitom víme, jakým způsobem musíme změnit délku intervalu, aby se jeho pravděpodobnostní obsah změnil. Chceme-li "mít větší jistotu", že jsme správnou hodnotu v intervalu zachytili, musíme ho zvětšit. Vyhovuje-li pravděpodobnost 95.4%, vezmeme interval  $\hat{t}_o \pm 2\hat{\delta}$ ; obecný návod je podle (7) obsažen v distribuční funkci t-rozdělení.

Odhad podle (8) správnou hodnotu  $t_o=2$  obsahuje; hru náhody bychom pozorovali opakováním měření. Máme však dobrou možnost ilustrovat statistické zákonitosti tak, že budeme naměřený soubor dat považovat za opakování měření (tekněme čtyřicetkrát) menšího počtu hodnot (pěti). Výsledné intervalové odhady s  $N=5$  jsou graficky znázorněny v obr. 22 svislými úsečkami, jejichž střed je v  $\hat{t}_o$  a krajní body v  $\hat{t}_o - \hat{\delta}$ ,  $\hat{t}_o + \hat{\delta}$ .

Z prvních čtyř pětic  $t_i$  například vyšly odhady



Obr. 22. Intervalové odhady  $t_0$  z pětic naměřených hodnot času.



Obr. 23. Distribuční funkce  $F(k)$  Studentova rozdělení. Nakresleny hodnoty  $F_n(k) - F_n(-k) = 2F_n(k) - 1$  pro počty stupňů volnosti  $n=1, \dots, 10$  (plná čára) a limitní normální distribuční funkce (čárkována čára).

$$(2.030 \pm 0.032) s, (2.058 \pm 0.059) s, (1.963 \pm 0.057) s, (1.862 \pm 0.025) s. \quad (9)$$

V obrázku 22 vidíme názorně souvislost odhadu a správné hodnoty. Shodu pravděpodobnostních tvrzení o intervalových odhadech s pozorovanou skutečností posoudíme kvantitativně.

Ze čtyřiceti intervalů v obr. 22 jen dvacet obsahuje správnou hodnotu  $t_0$ . S pomocí tabulek v dodatku D2 zjistíme, že pro  $N=1=4$  stupně volnosti je pravděpodobnost (7) zhruba  $P=0.62$  (a ne 0.683 jako v případě velkého  $N!$ ) pro interval  $\hat{t}_0 \pm \delta$ , t.j.  $k=1$ . Počet n příznivých případů (interval obsahuje  $t_0$ ) je náhodná veličina s binomickým rozdělením. Její střední hodnota je  $40 \times 0.62 = 24.8$  ± odmocnina z disperze  $\sqrt{40 \times 0.62 \times (1-0.62)} \approx 3.1$  (viz § 7). Kromě velmi pravděpodobných hodnot (25, 24, 26 atd.) se tedy při opakování celého pokusu občas objeví poněkud menší nebo větší počet příznivých případů. Použijeme-li approximaci binomického rozdělení normálním, dostaneme pomocí distribuční funkce (4.5) pravděpodobnost, že počet příznivých případů bude menší než střední hodnota alespoň o tolik co v našem případě:

$$P(n < 20.5) \approx \frac{\Phi(\frac{20.5 - 24.8}{3.1})}{3.1} \approx 0.083.$$

Není tedy celkem žádny důvod k podezření, že naše intervalové odhady nemají požadovaný význam. Pokud jde o počet příznivých případů v obr. 22, pozorovali jsme prostě výsledek, který se objeví zhruba jedenkrát v každých dvanácti opakováních.

Hořejší úvaha je jednoduchým příkladem statistického testu hypotézy. Testovanou hypotézou je pravděpodobnostní obsah  $P=0.62$  intervalového odhadu, předpovídající prostřednictvím binomického rozdělení pravděpodobnosti všech možných výsledků. Je-li pravděpodobnost pozorovaného výsledku příliš malá, máme pochybnosti o správnosti hypotézy. Zřejmě není možné určit přesnou hranici pravděpodobnosti pro zamítnutí hypotézy, protože i málo pravděpodobné jevy mohou nastat. Musíme se smířit s omezenými možnostmi, které máme při studiu náhodných jevů. To samozřejmě neznamená, že výsledky statistických testů jsou bezcenné. Kdyby počet příznivých případů v obr. 22 byl například jen 15, měli bychom pádný důvod k domněnce, že je testovaná hypotéza nesprávná (takový případ, pokud je hypotéza správná, nenastává častěji než asi jednou v tisíci pokusech).

Chceme-li udělat intervalové odhady s  $N=5$  ve standardním tvaru, t.j. s pravděpodobností (7) rovnou 0.683, musíme zvolit  $k=1.142$  (viz tabulkou v dodatku D2). Pro  $P=0.954$  je třeba δ násobit faktorem  $k=2.858$ ; z této zvětšených intervalů v obr. 22 pak už jen tři (4., 12. a 33.) neobsahují hodnotu  $t_0 = 2s$ , což je v dobré shodě se střední hodnotou počtu příznivých případů  $40 \times 0.954 \approx 38.2$ . Stojí zato věštnout si odhadu ze čtvrté pětice (poslední v (9)); k tomu se "náhodou" může stát (s pomocí tabulek v D2 zjistit), že o něco méně jak v jednom ze sta pokusů). Důležitým faktorem je nutnost

zvětšit interval  $\hat{t}_0 \pm \hat{\delta}$  faktorem k pro dosažení požadovaného pravděpodobnostního obsahu P, a to tím více, čím menší je počet stupňů volnosti N-1 a čím větší je P. To je vidět přehledně na distribučních funkcích Studen-tova rozdělení v obr. 23.

### Rozdělení naměřených hodnot

Odhady  $t_4$ ) jsou založeny na předpokladu, že naměřené hodnoty mají normální rozdělení (1). To však může být nanejvýš approximace: především víme, že  $t_i$  může nabývat pouze diskrétních hodnot, i když dosti jemně odstupňovaných. Dále je zřejmé, že výsledkem měření nebude nikdy záporné číslo, existuje jistě i horní hranice. Přesto je normální rozdělení v tomto případě velmi dobrou approximací. Částečně je to vidět v histogramu v obr. 2. Je třeba si ovšem uvědomit, že četnosti v jednotlivých sloupcích jsou náhodné veličiny (s multinomickým rozdělením, § 9). Mohou, podle (9.4), silně kolísat kolem středních hodnot a tím ztěžovat srovnání s průběhem hustoty pravděpodobnosti. Lepší je použít tzv. empirické distribuční funkce

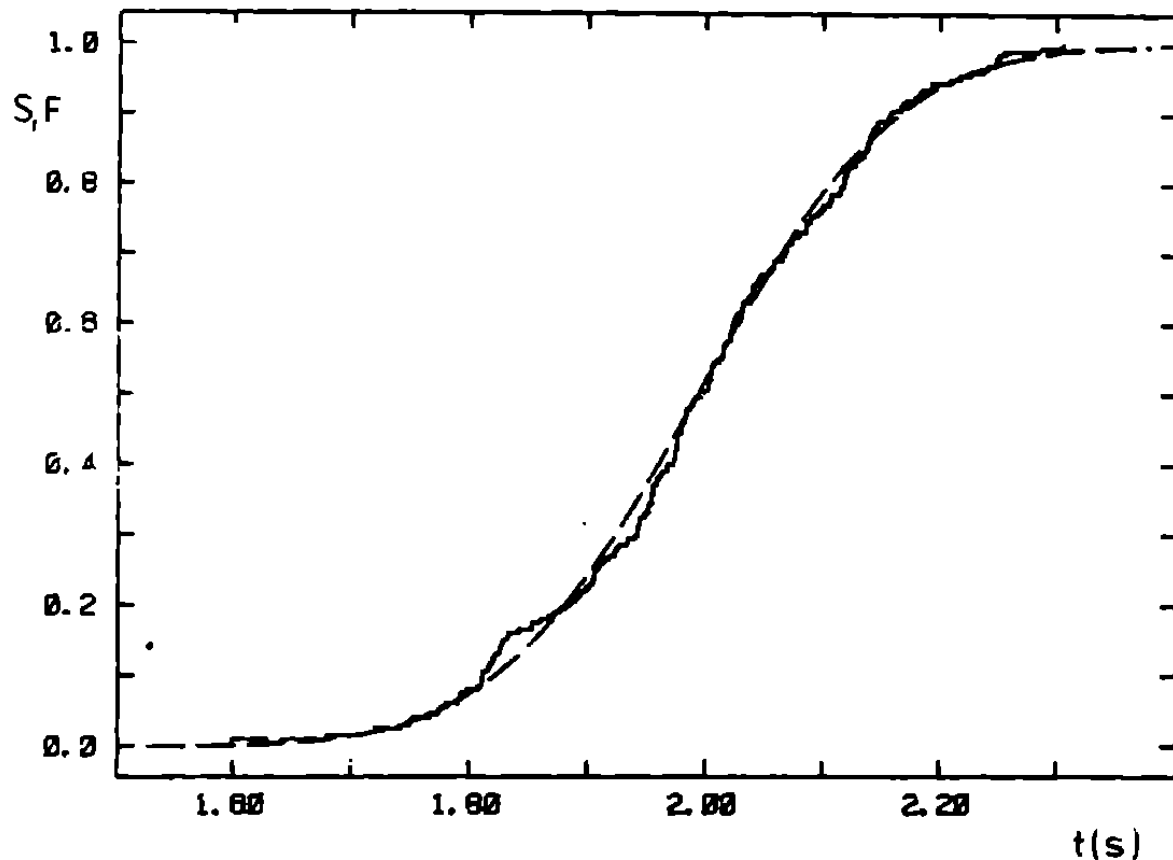
$$S_N(t) = \begin{cases} 0 & \text{pro } t < t(1), \\ i/N & \text{pro } t \in (t(i), t(i+1)), \quad i=1, \dots, N-1, \\ 1 & \text{pro } t > t(N), \end{cases} \quad (10)$$

kde  $t(1), \dots, t(N)$  je N-tice výsledků měření  $t_1, \dots, t_N$  uspořádaná podle velikosti od nejmenší k největší hodnotě. Funkce (10) má skok velikosti  $1/N$  v každé naměřené hodnotě. V limitě  $N \rightarrow \infty$  se blíží k distribuční funkci náhodné proměnné, která měření popisuje. Srovnání normální distribuční funkce se střední hodnotou a disperzí odhadnutou pomocí (4) s empirickou distribuční funkcí (10) je v obr. 24. Maxima odchylky obou závislostí se dá využít k přesnějšímu posouzení shody (Kolmogorovův test, § 21), zde se spojujeme s kvalitativním konstatováním souhlasu empirického a hypotetického rozdělení.

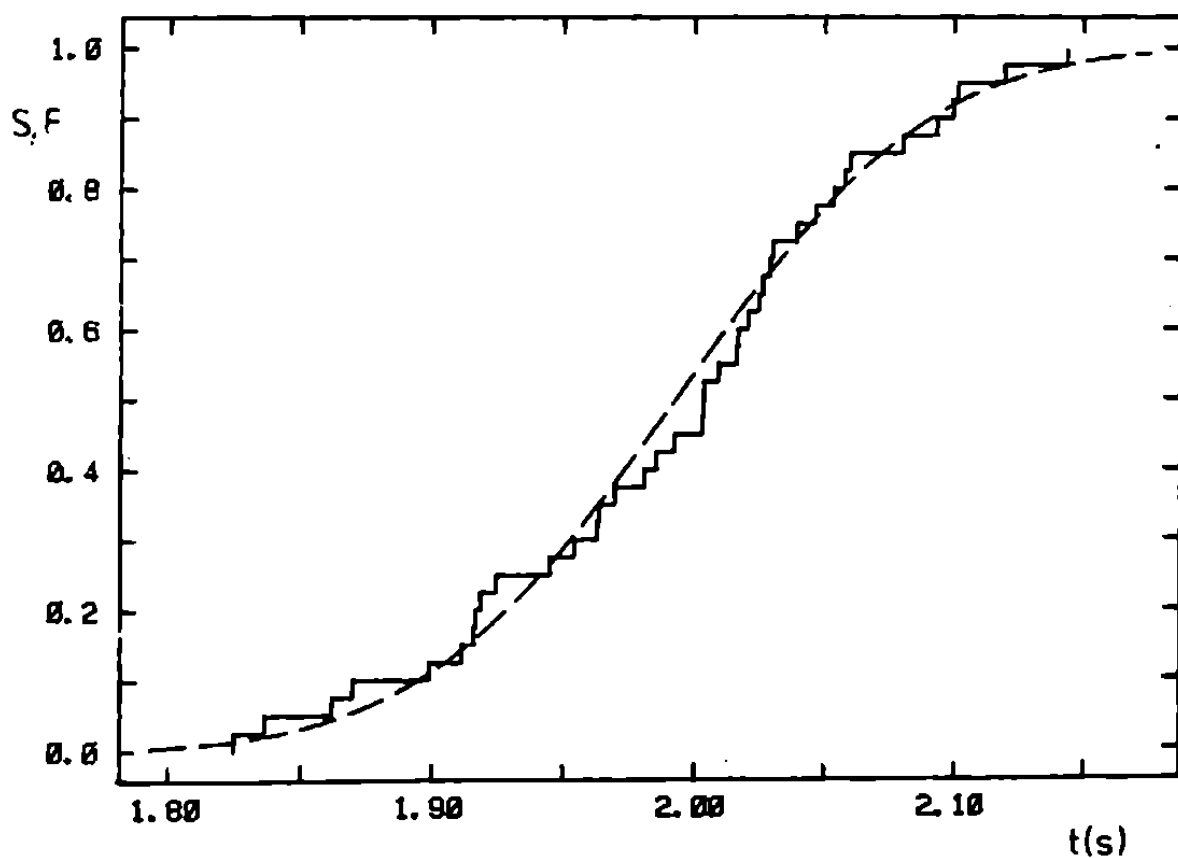
Aritmetické průměry  $\hat{t}_0$  naměřených hodnot jsou také rozděleny zhruba normálně. I kdyby naměřená data měla jiné rozdělení, podle centrální limitní věty (§ 5) je průměr asymptoticky normální. V obrázku 25 je empirická distribuční funkce čtyřiceti průměrů z pětic po sobě následujících naměřených údajů a normální distribuční funkce se střední hodnotou jako v obr. 24, disperze je zmenšena pětkrát. Je třeba si všimnout různých měřítek časové stupnice v obou obrázcích.

Pro rychlé kvantitativní posouzení shody naměřených dat s normálním rozdělením je možné použít hodnot empirických koeficientů asymetrie a excesu

$$g_1 = \frac{\sum_{i=1}^N (t_i - \hat{t}_0)^3 / N}{\left[ \sum_{i=1}^N (t_i - \hat{t}_0) / N \right]^{3/2}}, \quad g_2 = \frac{\sum_{i=1}^N (t_i - \hat{t}_0)^4 / N}{\left[ \sum_{i=1}^N (t_i - \hat{t}_0)^2 / N \right]^2} - 3, \quad (11)$$



Obr. 24. Empirické distribuční funkce z dvou set naměřených časů (plná čára) a hypotetická normální distribuční funkce (čárkovaná čára).



Obr. 25. Empirické distribuční funkce průměrů z 5-ti hodnot času (plná čára) a hypotetická normální distribuční funkce (čárkovaná čára).

což jsou odhady asymetrie  $g_1$  (3.8) a excesu  $g_2$  (3.9). Pro normální rozdělení očekáváme malé hodnoty  $g_1$  a  $g_2$ , protože  $g_1 = g_2 = 0$ .  $g_1, g_2$  jsou ale hodnotami náhodných proměnných se středy nula a disperzemi

$$D(g_1) \rightarrow \frac{6}{N}, \quad D(g_2) \rightarrow \frac{24}{N} \quad \text{pro } N \rightarrow \infty, \quad (12)$$

a asymptoticky normálním rozdělením. Z našich 200 hodnot  $t_i$  vychází  $g_1 \approx -0.218$ ,  $g_2 \approx -0.108$ . Odlišnost od nuly je málo významná, protože střední kvadratické odchylky jsou podle (12) zhruba  $\sqrt{D(g_1)} \approx 0.17$ ,  $\sqrt{D(g_2)} \approx 0.35$ ; s pravděpodobností 68.3% čekáme  $g_1$  v intervalu  $\pm 0.17$ ,  $g_2$  v intervalu  $\pm 0.35$ .

Důvody k použití normální hustoty (1) v našem příkladě jsou tedy následující. Shoda s naměřenými daty je natolik dobrá, že ani pro skutečně neznámé (diskrétní!) rozdělení nemůžeme čekat výrazné zlepšení. Přitom dostaneme jednoduchým způsobem optimální odhad měřené veličiny a jeho pravděpodobnostní charakteristiku. Výsledek měření (8) nemůžeme podstatně zlepšit hledáním a zpracováním jiného rozdělení, které by snad lépe vyštihovalo situaci (diskrétní, zhora i zdola ohrazené). Jednou větou: normální rozdělení je zde approximací, která poskytuje vše co k dosažení cíle půtřebujeme.

## 12. Odhad přímo měřených hodnot

Podstata statistického odhadu přímo měřených hodnot rozdělených normálně je popsána a ilustrována na příkladu konkrétního měření v předchozím paragrafu. V tomto odstavci postup zobecníme pro případ různých vah naměřených hodnot a shrneme do přehledu jednotlivých kroků zpracování dat.

Předpokládejme, že máme soubor nezávislých neměřených hodnot  $y_1, \dots, y_n$  s normálním rozdělením kolem hledané střední hodnoty  $\theta_0$  a s disperzemi  $\sigma_1^2, \dots, \sigma_N^2$ :

$$f(y_i) = \frac{1}{\sqrt{2\pi}\sigma_i} \exp \left[ -\frac{(y_i - \theta_0)^2}{2\sigma_i^2} \right]. \quad (1)$$

Rozdělení náhodného vektoru s komponentami  $y_1, \dots, y_N$  je tedy normální s diagonální kovariační maticí  $D$ , i-ty prvek v diagonále je  $\sigma_i^2$  (§ 6); zapíšeme ji ve tvaru

$$\tilde{D} = \sigma^2 \tilde{W}^{-1} = \sigma^2 \begin{bmatrix} w_1 & & & \\ & w_2 & & 0 \\ & & \ddots & \\ 0 & & & w_N \end{bmatrix}^{-1} = \sigma^2 \begin{bmatrix} 1/w_1 & & & \\ & 1/w_2 & & 0 \\ & & \ddots & \\ 0 & & & 1/w_N \end{bmatrix}. \quad (2)$$

$\tilde{W}$  je matice vah; jejími prvky jsou kladné čísla  $w_i = \sigma_i^2 / \sigma^2$  označovaná jako

váhy jednotlivých naměřených hodnot. Hodnotě  $\sigma^2$  se říká disperze pro jednotkovou váhu. Přepis  $D = \sigma^2 w^{-1}$  není jednoznačný, všechny váhy můžeme násobit stejnou konstantou a tou pak vynásobit i  $\sigma^2$ . Smysl vah je zřejmý: jejich podíl  $w_i/w_j$  je roven podílu disperzí  $\sigma_j^2/\sigma_i^2$ ; měření s menší disperzí má větší váhu, musí se více uplatnit v odhadu střední hodnoty. Předpokládejme, že jsme některému měření přiřadili pevnou váhu, nejlépe jednotkovou, a tím jsme definovali rozklad (2) jednoznačně. Prípad měření se stejnými vahami dostaneme volbou  $\mathbf{w} = \mathbf{I}$ , kde  $\mathbf{I}$  je jednotkové matice.

### Odhad střední hodnoty $\theta_0$

Logaritmus věrohodnosti (10.4) N-tice  $y_i$  je

$$\ln L = - \sum_{i=1}^N \left[ \frac{w_i(y_i - \theta_0)^2}{\sigma^2} + \frac{1}{2} \ln \frac{\sigma^2}{w_i} + \frac{1}{2} \ln 2\pi \right]. \quad (3)$$

Maximum funkce věrohodnosti  $L$  nastane pro takové  $\theta = \hat{\theta}$ , pro které je  $-\ln L$  (neboli suma čtverců odchylek) minimální; z podmínky  $\partial \ln L / \partial \theta = 0$  vychází

$$\hat{\theta} = \frac{\sum_{i=1}^N w_i y_i}{\sum_{i=1}^N w_i}. \quad (4)$$

Odhadem  $\theta_0$  metodou maximální věrohodnosti nebo nejmenších čtverců je vážená střední hodnota všech dílčích výsledků. Rozdělení  $\hat{\theta}$  je podle (4.8) normální se střední hodnotou a disperzí

$$E(\hat{\theta}) = \theta_0, \quad D(\hat{\theta}) = \frac{\sum_{i=1}^N w_i^2 \sigma^2 / w_i}{\left( \sum_{i=1}^N w_i \right)^2} = \frac{\sigma^2}{\sum_{i=1}^N w_i}. \quad (5)$$

### Odhad $\theta_0$ intervalem při známém $\sigma$

Známe-li hodnotu  $\sigma$ , můžeme využít vztahu (5) k určení intervalu, který obsahuje  $\theta_0$  se zadanou pravděpodobností. Nejkratší z takových intervalů má střed v  $\hat{\theta}$ . Označíme standardní odchylku rozdělení  $\hat{\theta}$  symbolem  $\delta$ , tedy podle (5)

$$\delta = \sqrt{D(\hat{\theta})} = \sqrt{\sigma^2 / \sum_{i=1}^N w_i}. \quad (6)$$

S použitím distribuční funkce (4.5) normálního rozdělení můžeme vyjádřit pravděpodobnost, že  $\theta_0$  leží v intervalu  $\hat{\theta} \pm k\delta$ :

$$P[\theta_0 \in (\hat{\theta} - k\delta, \hat{\theta} + k\delta)] = P\left(\left| \frac{\hat{\theta} - \theta_0}{\delta} \right| < k\right) = \Phi(k) - \Phi(-k) = 2\Phi(k) - 1. \quad (7)$$

K požadované pravděpodobnosti  $P$  tedy najdeme potřebný násobek k standardní odchylce  $\delta$ . Pokud k intervalovému odhadu nepodáme jiné vysvětlení, měl

by mít pravděpodobnostní obsah  $P=0.683$  a tedy  $k=1$  (interval  $\hat{\theta} \pm \delta$ ); interval  $\hat{\theta} \pm 2\delta$  má  $P=0.954$ , viz (4.6).

### Odhad neznámé hodnoty $\hat{\theta}^2$

Pokud disperzi pro jednotkovou váhu neznáme, můžeme ji odhadnout opět z podmínky maxima věrohodnosti  $L$ , čili  $\partial \ln L / \partial(\hat{\theta}^2) = 0$ . Ze vztahu (3) vyjde

$$\hat{\theta}^2 = \frac{1}{N} \sum_{i=1}^N w_i (y_i - \hat{\theta})^2. \quad (8)$$

$\hat{\theta}^2$  je ovšem náhodná veličina. Dá se dokázat, že  $N\hat{\theta}^2/\theta^2$  má  $\chi^2$  rozdělení s  $N-1$  stupněm volnosti; lze ji vyjádřit jako součet  $N-1$  kvadrátů nezávislých lineárních kombinací jednotlivých  $y_i$ , z nichž každá má střední hodnotu nulla a disperzi 1. Dvojice  $y_i - \hat{\theta}$ ,  $y_j - \hat{\theta}$  nezávislé nejsou, každá  $y_1, \dots, y_N$  vystupuje ve vztahu (4) pro  $\hat{\theta}$ . Odhad (8) je vychýlený, protože jeho střední hodnota není rovna odhadovanému  $\theta^2$ :

$$E(\hat{\theta}^2) = (\theta^2/N) E(N\hat{\theta}^2/\theta^2) = \theta^2(N-1)/N < \theta^2. \text{ Nevychýlený odhad tedy může být}$$

$$\hat{\theta}^{2'} = \frac{N-1}{N} \hat{\theta}^2 = \frac{1}{N-1} \sum_{i=1}^N w_i (y_i - \hat{\theta})^2, \quad (8a)$$

není to už ale odhad nejvěrohodnější.  $(N-1)\hat{\theta}^{2'}/\theta^2$  má rozdělení  $\chi^2_{N-1}$ , pro větší  $N$  je rozdíl mezi odhady (8) a (8a) nepodstatný. Znalost rozdělení proměnných  $\hat{\theta}^2$  resp.  $\hat{\theta}^{2'}$  umožňuje formulaci intervalových odhadů hodnoty  $\theta^2$  s předepsaným pravděpodobnostním obsahem (odhadnout "chybu  $\hat{\theta}(\hat{\theta})$  chybu  $\hat{\theta}'(\hat{\theta})$ "). K tomu stačí využít distribuční funkce rozdělení  $\chi^2_{N-1}$ .

### Odhad $\hat{\theta}_0$ intervalom hodnot při neznámém $\theta$

Je-li hodnota  $\theta$  neznámá a odhadujeme ji z naměřených dat, je konstrukce intervalového odhadu pro  $\theta_0$  o něco složitější než v předechozím případě (7). Využijeme faktu, že podíl

$$\frac{(\hat{\theta}-\theta_0)/\sqrt{D(\hat{\theta})}}{\sqrt{N\hat{\theta}^2/[\theta^2(N-1)]}} = \frac{\hat{\theta}-\theta_0}{\sqrt{N\hat{\theta}^2/[(N-1)\sum_{i=1}^N w_i]}} \quad (9)$$

má Studentovo rozdělení s  $N-1$  stupněm volnosti (§ 8). S označením

$$\hat{\delta} = \sqrt{\frac{N\hat{\theta}^2}{(N-1)\sum_{i=1}^N w_i}} = \sqrt{\frac{1}{(N-1)\sum_{i=1}^N w_i} \sum_{i=1}^N w_i (y_i - \hat{\theta})^2} \quad (10)$$

dostaneme pravděpodobnost

$$P[\theta_0 \in (\hat{\theta} - k\hat{\delta}, \hat{\theta} + k\hat{\delta})] = P\left(\left|\frac{\hat{\theta}-\theta_0}{\hat{\delta}}\right| < k\right) = F_{N-1}(k) - F_{N-1}(-k) = 2F_{N-1}(k) - 1 \quad (11)$$

vyjádřenou pomocí distribuční funkce  $F_{N-1}$ . Studentova rozdělení s  $N-1$  stupněm volnosti. Přehled o souvislosti  $k$  a  $P$  poskytuje obr. 23. V limitě  $N \rightarrow \infty$  je t-rozdělení normální,  $\hat{\theta}$  ze vztahu (10) je standardní odchylkou odhadu  $\hat{\theta}$  a interval  $\hat{\theta} \pm \hat{\delta}$  (t.j. pro  $k=1$ ) má pravděpodobnostní obsah  $P=0.683$ . Při zmenšování  $N$  je třeba pro zachování  $P$  zvětšovat  $k$ , a to výrazněji pro větší pravděpodobnosti (obr. 23 nebo tabulka v D2).

#### Kontrola rozdělení dat

Správnost předpokladu o normálním rozdělení (1) měřených hodnot se dá účinně posoudit pomocí statistických testů dobré shody (kapitola III). Zde se omezíme na orientační posouzení normality souboru dat pomocí empirických koeficientů asymetrie a excesu

$$g_1 = \sqrt{N} \frac{\sum_{i=1}^N w_i (y_i - \hat{\theta})^3}{\left[ \sum_{i=1}^N w_i (y_i - \hat{\theta})^2 \right]^{3/2}}, \quad g_2 = N \frac{\sum_{i=1}^N w_i (y_i - \hat{\theta})^4}{\left[ \sum_{i=1}^N w_i (y_i - \hat{\theta})^2 \right]^2} - 3. \quad (12)$$

Jsou to odhady asymetrie (3.8) a excesu (3.9), které jsou pro normální rozdělení nulové.

Disperze náhodných proměnných  $g_1, g_2$  jsou

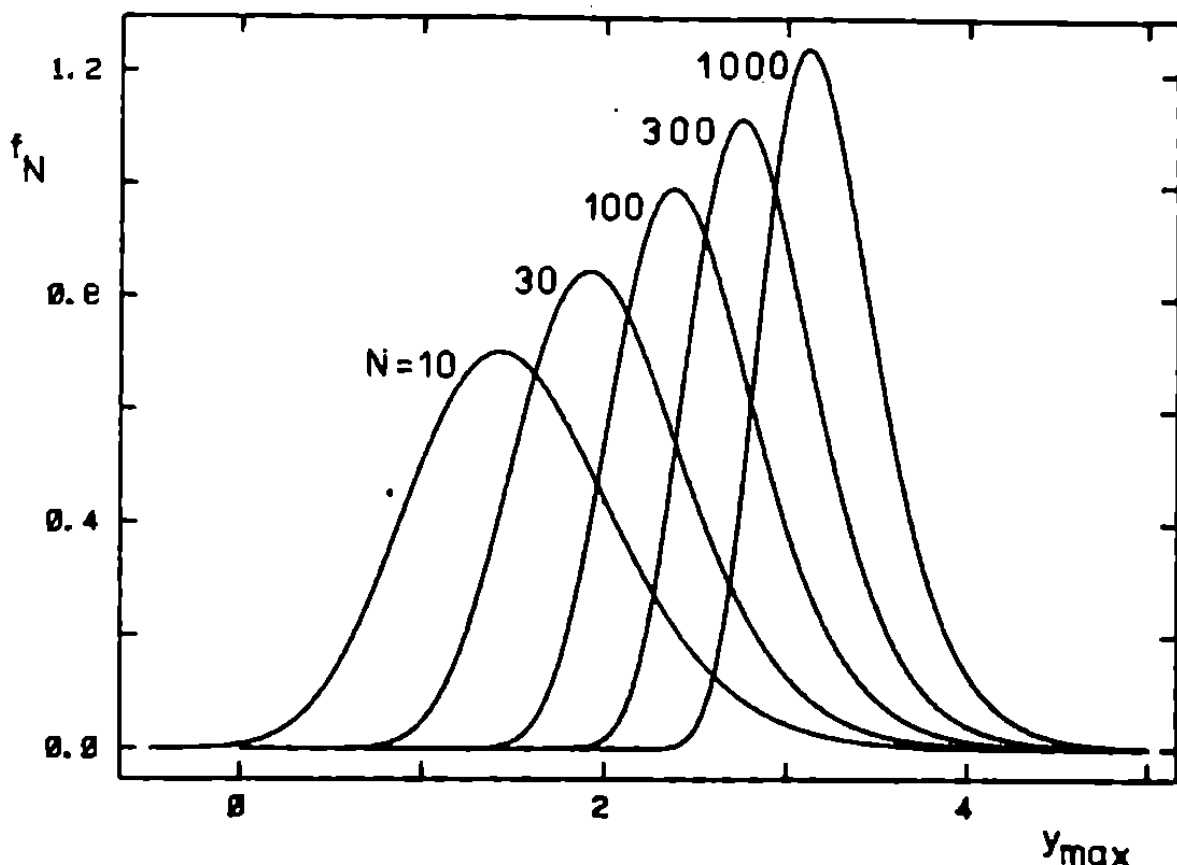
$$D(g_1) = \frac{6N(N-1)}{(N-2)(N+1)(N+3)}, \quad D(g_2) = \frac{24N(N-1)^2}{(N-3)(N-2)(N+3)(N+5)}, \quad (13)$$

rozdělení  $g_1$  a  $g_2$  jsou asymptoticky normální. Vyjdou-li hodnoty (12) daleko od nuly, máme podezření, že rozdělení dat normální není. Výsledek  $|g_1| \geq 2\sqrt{D(g_1)}$  nebo  $|g_2| \geq 2\sqrt{D(g_2)}$  většinou považujeme za významný nesouhlas s předpokladem, protože takový případ nastává při normálně rozdělených datech zřídka (méně jak v 5% případů).

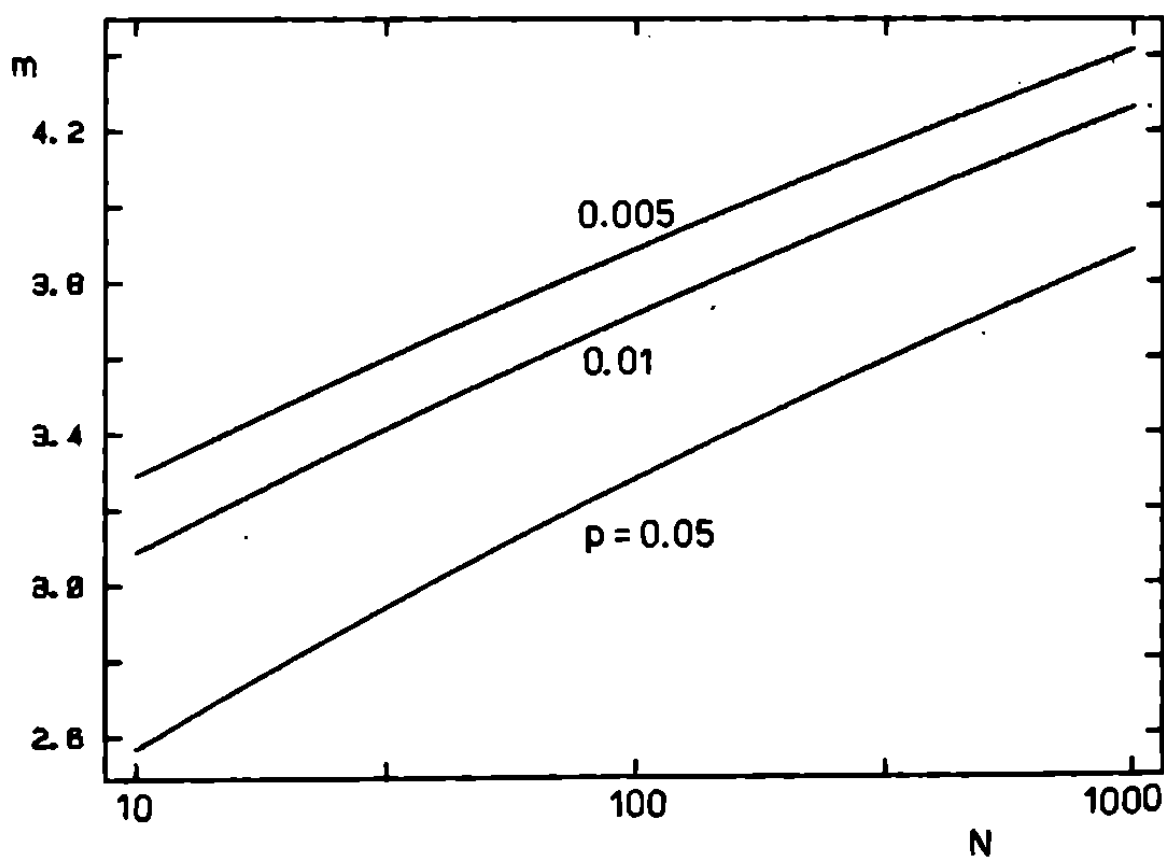
#### Nápadně vybočující hodnoty

Velmi často se stane, že odchylku od očekávaného rozdělení dat způsobuje jedna nebo několik málo nápadně velkých nebo malých hodnot. Jejich přítomnost bývá způsobena nežádoucími vlivy při měření, jako je chybný zápis údaje nebo náhodná krátkodobá porucha měřicí aparatury. Je možné nápadně vybočující data vynechat a tím měření "zachránit". Přitom je třeba postupovat velmi opatrně a s uvážením možných příčin vybočení, protože vynechání dat, které do souboru patří, je rovněž nežádoucí. Rozhodující je založnost konkrétního procesu měření, statistika může poskytnout pomocná kriteria pro vyloučení nečekaně velkých nebo malých hodnot.

Pro údaje  $y_1, \dots, y_N$  s normálním rozdělením (1) se dá snadno najít rozdělení maximální hodnoty  $y_{\max}$ . Pro jednoduchost zápisu dvou následujících formulí položíme  $\theta=0$  a  $\delta_i^2=1$ ; pro každé  $y$  platí



Obr. 26. Hustota největší z  $N$ -tice nezávislých hodnot se standardním normálním rozdělením.



Obr. 27. Řešení  $m$  rovnice (12.16) v závislosti na počtu  $N$  normálně rozdělených hodnot;  $p$  je pravděpodobnost, že  $y_{\max} > \theta_0 + m\delta$ .

$$P(y_{\max} < y) = P(y_1 < y \text{ a } \dots \text{ a } y_N < y) = P(y_1 < y) \dots P(y_N < y) = [\Phi(y)]^N. \quad (1)$$

To je distribuční funkce  $F_N(y_{\max})$  maximální hodnoty; vyjde tedy rovna N-mocnině integrálu pravděpodobnosti (4.5). Odtud dostaneme, a pomocí (2.9) hustotu

$$f_N(y_{\max}) = \frac{d}{dy_{\max}} F_N(y_{\max}) = N \Phi^{N-1}(y_{\max}) \frac{1}{\sqrt{2\pi}} \exp\left(-\frac{y_{\max}^2}{2}\right). \quad (2)$$

Hustoty (15) jsou nakresleny v obr. 26. S rostoucím N se rozdělení  $y_{\max}$  posouvá k větším hodnotám a zužuje se. Například pro N=1000 je s velkou pravděpodobností  $y_{\max} \in (2.5, 4.5)$ , pravděpodobnost  $y_{\max} > 4$  je malá. Vráti me-li se ke střední hodnotě  $\theta_0$  a disperzi  $\sigma_0^2$  v rozdělení (1), dostaneme ze (14) pravděpodobnost

$$p = P\left[\left(\frac{y_1 - \theta_0}{\sigma_0}\right)_{\max} > m\right] = 1 - \Phi^N(m) \quad (3)$$

toho, že odchylka  $y_1$  od  $\theta_0$  překročí m-násobek standardní odchylky  $\sigma_0$ . Právě malé hodnoty p je v obr. 27 nakreslena závislost m na N. Je vidět, že v odůvodněných případech můžeme vyněchat takové hodnoty  $y_1$ , které jsou o 3-až 4-násobek  $\sigma_0$  větší než odhad  $\hat{\theta}_0$  (počítaný ovšem bez vyněchávaných hodnot); pravděpodobnost, že do souboru patří je velmi malá. Stejně se dají posuzovat nápadně malé hodnoty - menší o m-násobek  $\sigma_0$  než  $\hat{\theta}_0$ .

### 13. Příklad měření doby života částice

Nestabilní částice mají omezenou dobu života - rozpadají se. Rospad je náhodným jevem, který se dle dobře popsat exponenciálním rozdělením (§

$$f(t) = \frac{1}{\tau_0} \exp\left(-\frac{t}{\tau_0}\right). \quad (1)$$

$f(t)$  je hustota pravděpodobnosti, že doba které uplyne mezi vznikem a rozpadem částice je  $t$ . Celý proces je popsán jedinou konstantou  $\tau_0$ , které říkáme doba života. Je to střední hodnota rozdělení (1), která zároveň určuje i disperzi (viz(9.12)):

$$E(t) = \tau_0, \quad D(t) = \tau_0^2. \quad (2)$$

Život částic můžeme pozorovat pomocí stopy v registraci zařízení, stopa začíná v místě vzniku a končí v místě rozpadu. Dokážeme-li určit rychlosť pohybu každé částice, můžeme z délky stopy vypočítat dobu mezi vznikem a rozpadem.

Předpokládejme, že jsme sledovali N částic a získali N-tici nezávislých hodnot  $t_1, \dots, t_N$ . I když se nám podařilo potlačit náhodné chyby v

procesu měření na zanedbatelnou úroveň, jsou  $t_i$  náhodná čísla s rozdělením (1). Studujeme náhodný jev; cílem měření je určení konstanty  $\hat{\tau}_0$ , jejíž hodnota umožnuje předpovídat pravděpodobností prostřednictvím hustoty (1).

Optimální odhad  $\hat{\tau}_0$  dostaneme z maxima věrohodnosti (10.3) naměřených nezávislých  $t_i$ :

$$L(\tau) = \prod_{i=1}^N \frac{1}{\tau} \exp \left( -\frac{t_i}{\tau} \right), \quad (3)$$

neboli z maxima funkce

$$\ln L = \frac{1}{\tau} \sum_{i=1}^N t_i + N \ln \tau \quad (4)$$

Maximum nastává pro hodnotu  $\tau = \hat{\tau}_0$ , pro kterou  $\partial(\ln L)/\partial\tau = 0$ :

$$\hat{\tau}_0 = \frac{1}{N} \sum_{i=1}^N t_i. \quad (5)$$

Nejvěrohodnějším odhadem je aritmetický průměr naměřených časů. Náhodná proměnná  $N\hat{\tau}_0$  má gama - rozdělení (9.16) s parametry  $b=N$ ,  $a=1/\tau_0$ . Střední hodnota a disperze odhadu jsou

$$E(\hat{\tau}_0) = \tau_0, \quad D(\hat{\tau}_0) = \sum_{i=1}^N \frac{1}{N^2} D(t_i) = \sum_{i=0}^N \frac{\tau_0^2}{N^2} = \frac{\tau_0^2}{N}. \quad (6)$$

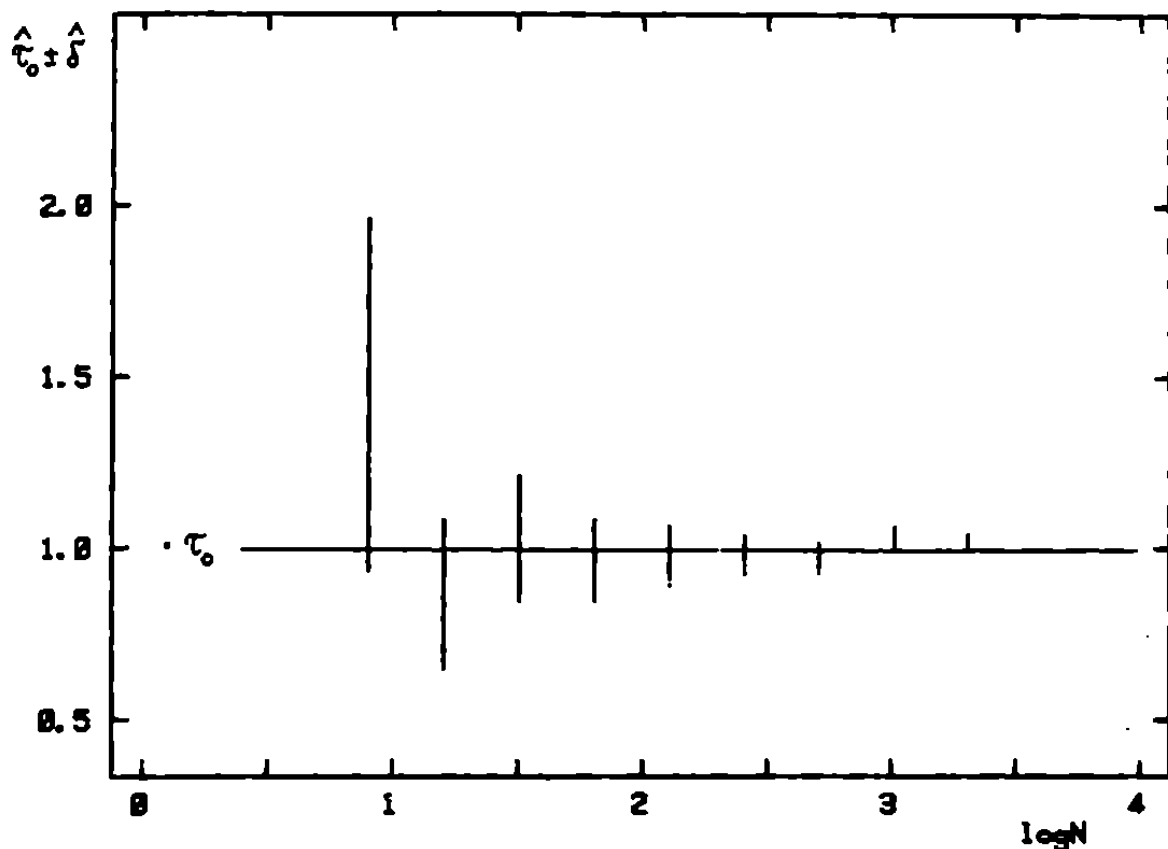
Odhad (5) je konsistentní a nevychýlený; jeho rozdělení je asymptoticky normální.

Skutečné měření dob života čistic vyžaduje mohutné experimentální zaměření. My se spokojíme se simulací pomocí počítače. Vhodným programem generujeme N-tice pseudonáhodných čísel  $x_i$  s rovnoměrným rozdělením  $g(x_i)=1$  pro  $x_i \in (0,1)$ . Transformaci

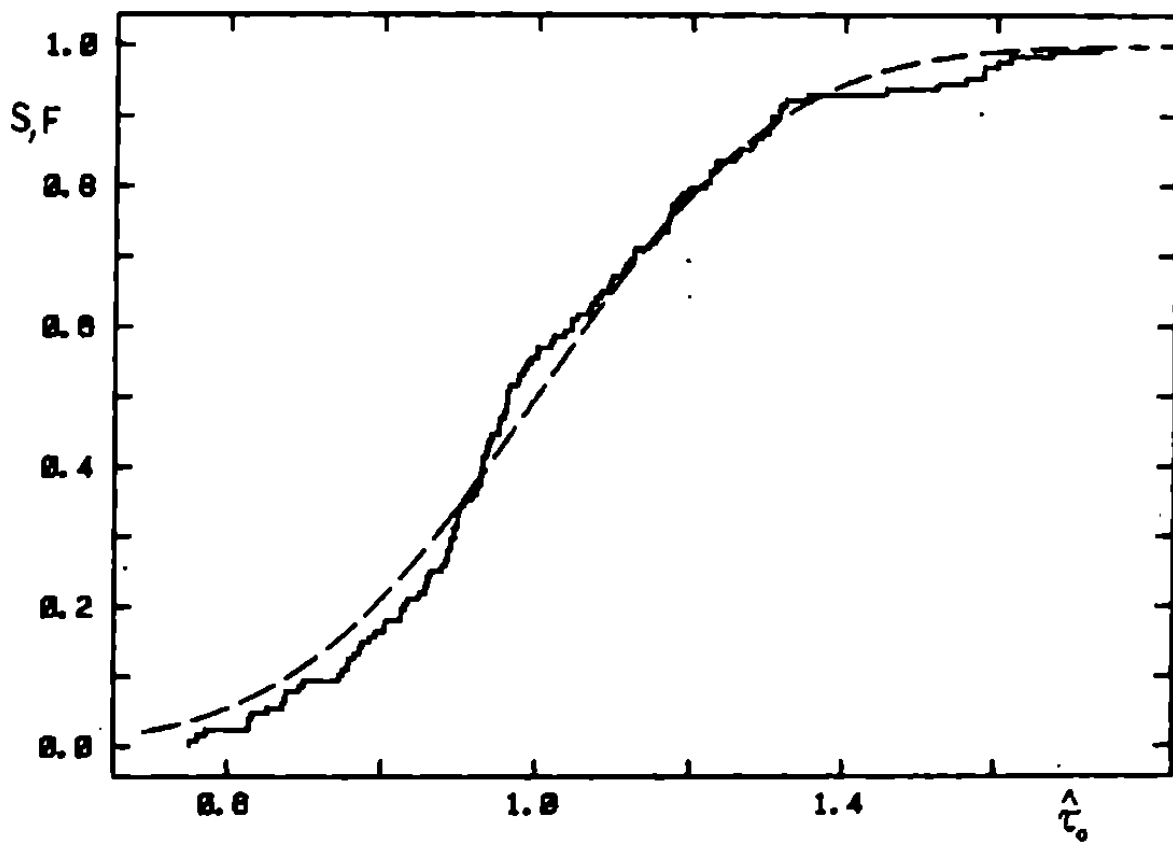
$$t_i = -\tau_0 \ln x_i \quad (7)$$

dostaneme pseudonáhodná čísla s hustotou (1), což snadno ověříme pomocí (2.5). Protože na volbě jednotek času v našem simulovaném experimentu nezáleží, použijeme  $\tau_0=1$ .

Budeme sledovat výsledky odhadu (5) pro různé počty "naměřených" hodnot  $N=8, 16, 32, \dots, 2048$ . Výsledky jsou graficky znázorněny v obr. 28 ve tvaru intervalových odhadů  $\hat{\tau}_0 \pm \hat{\delta}$ , kde střední kvadratická odchylka podle (6) je  $\hat{\delta} \approx \hat{\tau}_0 / \sqrt{N}$ . Vidíme, jak se s rostoucím N zkracují intervaly (velmi pomalu, jako  $1/\sqrt{N}$ ). Pravděpodobnost, že obsahuje hledanou hodnotu  $\tau_0$ , je blízká standardnímu 0.683. Ačkoliv mají data  $t_i$  rozdělení (1) podstatně odlišné od normálního, rozdělení průměru (5) se podle centrální limitní věty normálnímu blíží, a to tím více, čím větší je N. I pro dosti malé N je approximace normálním rozdělením dobrá. Ukazuje to obr. 29, kde je empi-



Obr. 28. Intervalové odhady  $\hat{\tau}_0$  s různým počtem  $N$  měřených hodnot.



Obr. 29. Empirická distribuční funkce odhadů doby života částice pro  $N=16$ , plná čára; normální distribuční funkce  $N(1,1/16)$ , čárkováná čára.

rická distribuční funkce (viz(11.10)) průměrů s  $N=16$ , získaná 128-násobným opakováním pokusu. Hustoty gama - rozdělení průměru (5) a approximativního normálního rozdělení můžeme pro  $N=16$  porovnat v obr. 18.

**14. Odhad polohy symetrického rozdělení**

Nejběžnějším odhadem polohy rozdělení náhodné proměnné  $x$  je aritmetický průměr

$$\bar{x} = \frac{1}{N} (x_1 + \dots + x_N) \quad (1)$$

naměřených dat (polohu nejčastěji charakterizujeme střední hodnotou, můžeme však použít třeba medián nebo modus (§ 3)). Jsou k tomu dva podstatné důvody. Především je průměr optimální v případě normálně rozdělených dat (má minimální disperzi). Za druhé, zákon velkých čísel (5.5) zaručuje asymptotické ( $N \rightarrow \infty$ ) přiblížení k hledané hodnotě pro libovolné rozdělení, které má konečnou disperzi  $D(x)$ . Pokud  $E(x)$  a  $D(x)$  neexistují (třeba pro důležité Cauchyovo rozdělení), nelze průměr  $\bar{x}$  vůbec použít; není-li rozdělení  $x$  normální, existují účinnější odhady.

Zaměříme se na několik jednoduchých symetrických modelových rozdělení z § 9. Optimální odhady (s nejmenší disperzí) dostaneme metodou maximální věrohodnosti:

rozdělení	optimální odhad polohy
(a) normální	aritmetický průměr $\bar{x}$
(b) rovnoměrné	poloviční suma krajních hodnot $\bar{x}$
(c) dvojně exponenciální	medián $\tilde{x}$
(d) Cauchyovo	z podmínky maxima věrohodnosti (řešení nelineární rovnice)

V případě Cauchyova rozdělení (odhadujeme  $x_0$  ze vztahu (9.20)) je třeba řešit nelineární rovnici a výsledek nemůžeme zapsat tak obecně, jako pro zbylé rozdělení. Medián v (c) značená takovou hodnotu, pro kterou je minimální suma

$$s_1 = |x_1 - \tilde{x}| + \dots + |x_N - \tilde{x}|. \quad (2)$$

Kvantitativní srovnání efektivnosti jednotlivých odhadů je možné provést v limitě  $N \rightarrow \infty$  tak, že spočteme jejich disperze (za předpokladu  $D(x)=1$ ):

rozdělení	medián	průměr	polosuma krajních hodnot $\bar{x}$
(a) normální	$\pi/(2N)$	$1/N$	$\pi^2/(12 \ln N)$
(b) rovnoměrné	$1/(4N)$	$1/(12N)$	$1/(2N^2)$
(c) dvojně exponenciální	$1/(2N)$	$2/N$	$\pi^2/12$
(d) Cauchyovo	$\pi^2/(4N)$	$\infty$	$\infty$

Podtržením jsou označeny nejmenší možné disperze, viz první tabulku v

tomto odstavci. Poloviční součet krajních hodnot pro rovnoměrné rozdělení je asymptoticky velmi účinný (kvadratický pokles disperze  $\sim N^{-2}$ , v ostatních případech nejvýše  $\sim N^{-1}$ ). Pro libovolné ohrazené rozdělení budou odhadech hrát důležitou roli krajní hodnoty.

Pokud rozdělení dat neznáme, snažíme se najít odhad polohy, který de je co nejfektivnější pro více druhů rozdělení. Jednou z možností je tedy vyrovnany průměr. Z N-tice  $x_1, \dots, x_N$  vynecháme m hodnot, zpravidla m/2 největších a m/2 nejmenších a polohu odhadujeme aritmetickým průměrem lých N-m údajů:

$$\bar{x}_{N-m} = \frac{1}{N-m} \sum_{i=m/2+1}^{N-m/2} x(i), \quad (3)$$

kde jsme jako  $x(1), \dots, x(N)$  označili naměřená data uspořádaná podle velikosti. Volba m=0 znamená průměr  $\bar{x}$ ; při m=N-1 pro N liché, resp. m=N-2 pro N sudé, je vyrovnany průměr (3) roven mediánu  $\tilde{x}$ . Volbou m v daném rozsahu dostáváme odhadu, které jsou jistým kompromisem mezi vlastnostmi  $\bar{x}$  a  $\tilde{x}$ . Pozoruhodný je fakt, že pro  $m \approx 0.54N$  je v asymptotické limitě disperze vyrovnávaného průměru pro každé rozdělení z trojice - normální, dvojnásobkově exponentiální, Cauchyovo - pouze o necelou čtvrtinu větší než je disperze příslušného optimálního odhadu.

#### Příklad odhadu střední hodnoty rovnoměrného rozdělení

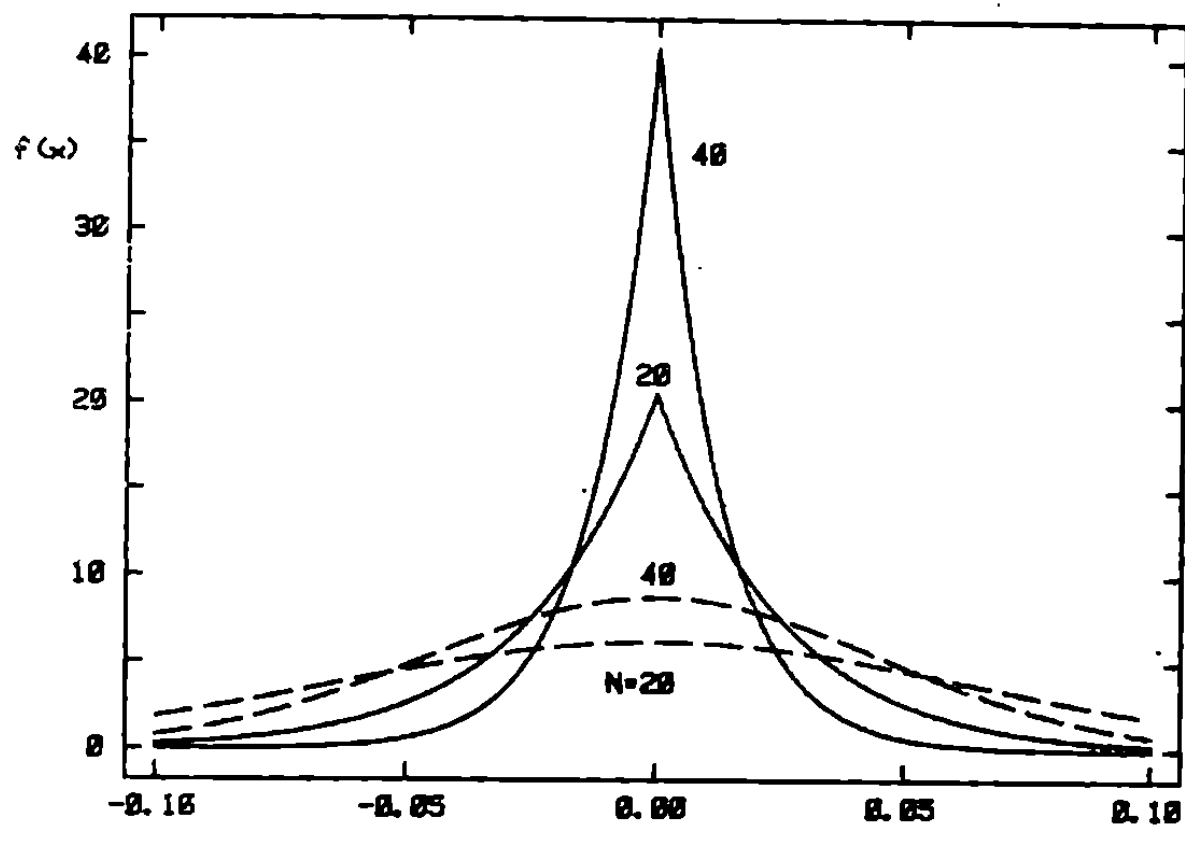
Srovnáme podrobněji odhad polohy rovnoměrného rozdělení

$$f(x) = 1, \quad x \in (-1/2, 1/2) \quad (4)$$

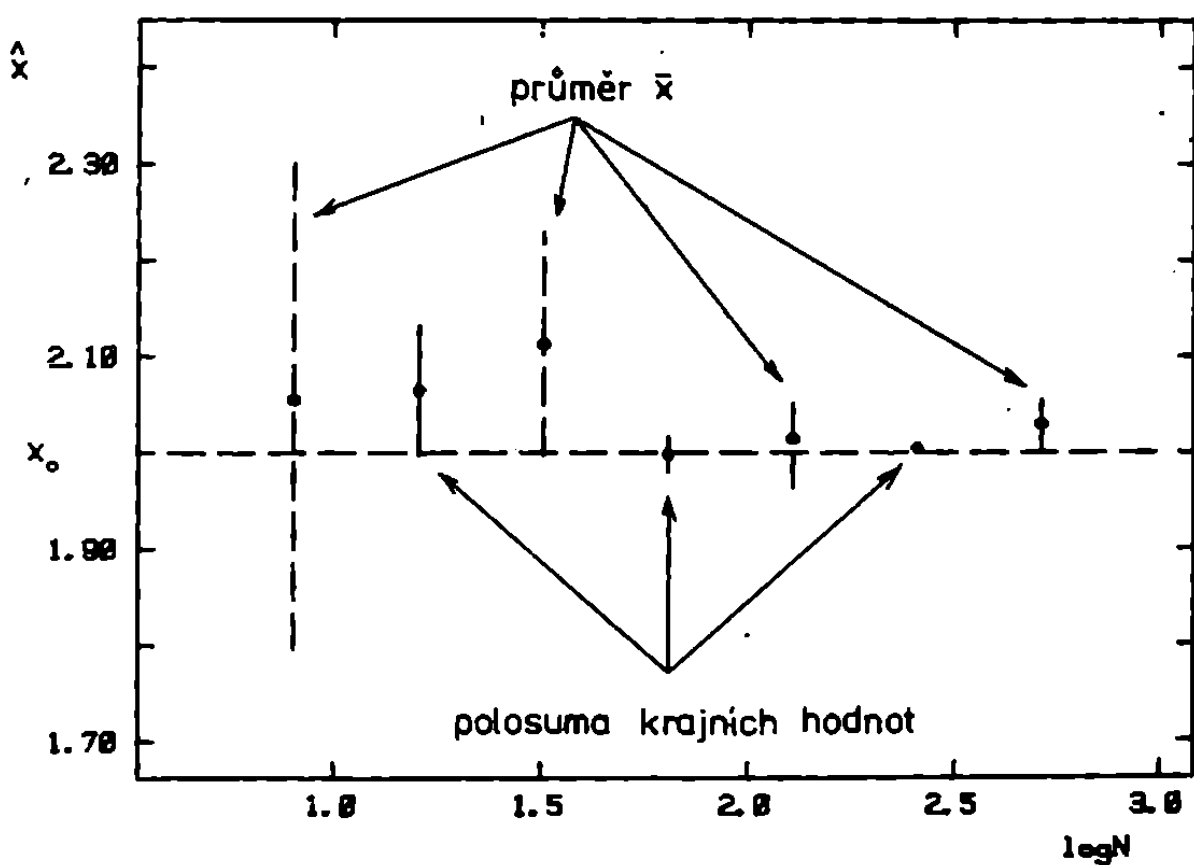
průměrem  $\bar{x}$  a polovičním součtem krajních hodnot  $\tilde{x}$  naměřených nezávislých údajů  $x_1, \dots, x_N$ . Průměr má rozdělení blízké k normálnímu (§ 5, obr. 6) se středem 0 a disperzí  $1/(12N)$ . Rozdělení  $\tilde{x}$  se dá nejenáze najít z distribučních funkcí  $F(x_M) = (1/2+x_M)^N$ ,  $F(x_m) = 1-(1/2-x_m)^N$  maxima  $x_M$  a minima  $x_m$  v N nezávislých pokusech. Výsledkem je symetrická hustota, tvořená polynomy stupně  $2N-1$  v intervalech  $(-1,0)$  a  $(0,1)$ . V obrázku 30 je nakreslena pro dvě hodnoty N. Pro střední hodnotu a disperzi tohoto rozdělení výjde

$$E(\bar{x}) = 0, \quad D(\bar{x}) = N/[2(N+1)^2(N+2)]. \quad (5)$$

Rozdělení polosumy krajních hodnot je pro větší N užší než rozdělení průměru (obr. 30). Ještě násorněji je vidět podstatně větší efektivnost odhadu pomocí  $\tilde{x}$  v obr. 31. Tam jsou nakresleny intervalové odhadu pro různý počet bodů v souboru dat, generovaném v počítači. S pomocí distribučních funkcí  $F$  a  $\tilde{F}$  byly intervaly zkonstruovány tak, aby měly standardní pravděpodobnostní obsah 68,3%.



Obr. 30. Hustoty pravděpodobnosti polovičního součtu (plná čára) a průměru (čárkovaná čára) z  $N$  hodnot s rovnoměrným rozdělením (14.4).



Obr. 31. Intervalové odhady polohy rovnoměrného rozdělení (soubor  $N$  hodnot generován v počítači)

### 15. Příklad odhadu dvou parametrů lineárního modelu

Metody odhadu více parametrů budeme ilustrovat na dvojrozměrném případě, který je dostatečně obecný a přitom velmi názorný. Předpokládejme, že pro různé hodnoty nezávisle proměnné  $x$  měříme hodnoty závisle proměnné

$$y = a_0 + b_0 x^2 . \quad (1)$$

Závislost  $y(x)$  je určena dvojicí parametrů  $a_0, b_0$ , které vystupují v modelu (1) lineárně; jejich hodnoty hledáme nepřímo z naměřených dvojic  $x, y$ . O linearitě modelu rozhoduje závislost na parametrech, nikoliv na nezávisle proměnné.

Předpokládejme dále, že nezávisle proměnnou můžeme určit přesně (nebo se zanedbatelnou chybou) a výsledkem měření je  $N$  hodnot proměnné  $y$ :

$$y_i = a_0 + b_0 x_i^2 + \varepsilon_i, \quad i=1, \dots, N, \quad (2)$$

pro  $N$ -tici pevných hodnot  $x_i$ . Náhodná chyba  $i$ -té hodnoty (označili jsme ji  $\varepsilon_i$ ) má symetrické rozdělení se střední hodnotou nula. Výsledky měření t.j.  $N$ -tice hodnot  $(x_i, y_i)$ , byly simulovány na počítači za pomocí generátoru pseudonáhodných čísel. Zvolili jsme

$$a_0 = 1, \quad b_0 = 2 , \quad (3)$$

ekvidistantní síť  $x_i$  z intervalu  $\langle 0,1 \rangle$ :

$$x_i = (i-1)/(N-1), \quad i=1, \dots, N, \quad (4)$$

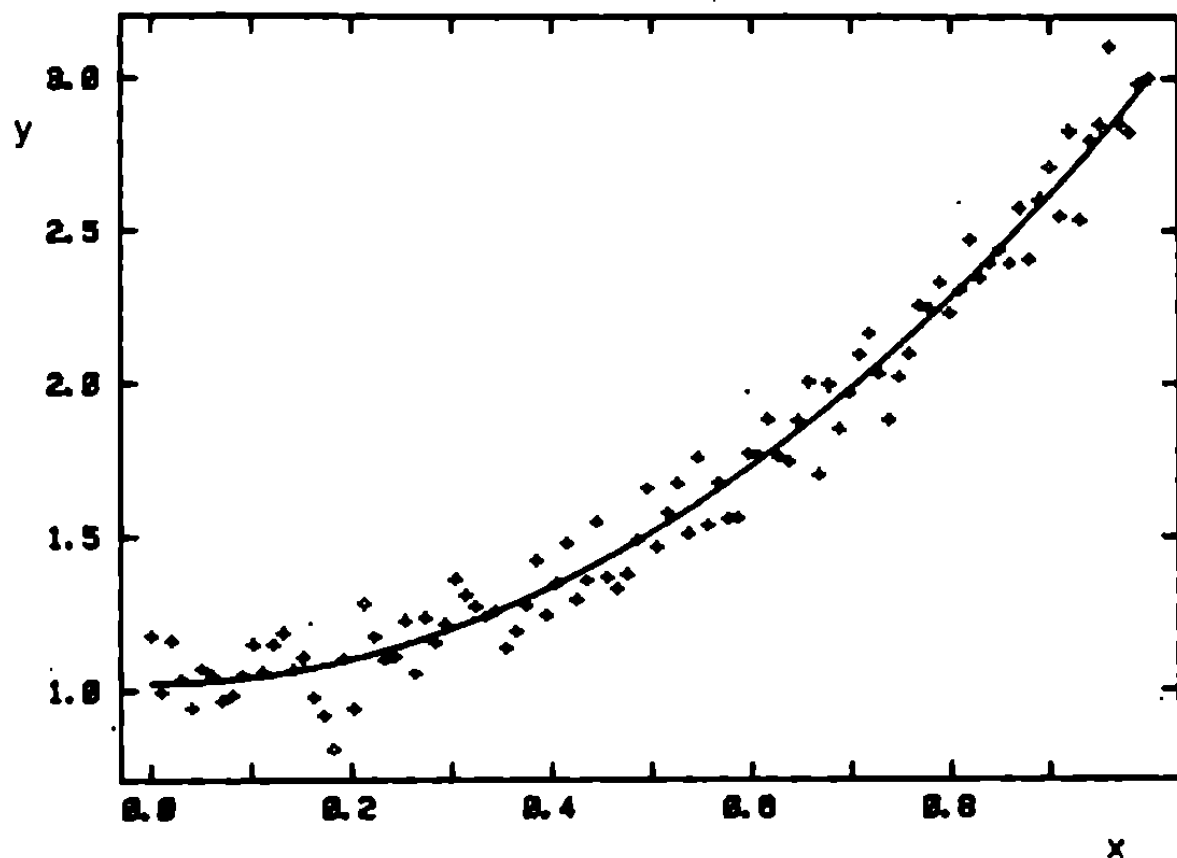
a několik možností rozdělení chyb. Příklad takto generovaných "experimentálních" dat ukazuje křížky v obr. 32. Díky rychlosti počítače můžeme generování a zpracování dat mnohokrát opakovat a sledovat souvislost výsledků se správnými hodnotami (3).

#### Normální rozdělení chyb

Ukážeme podrobně výsledky výpočtů pro chyby  $\varepsilon_i$  rozdělené normálně se stejnou disperzí  $\sigma^2$  pro všechna  $x_i$ . Hustota pravděpodobnosti jednotlivých hodnot  $y_i$  je tedy normální se střední hodnotou  $a_0 + b_0 x_i^2$  a disperzí  $\sigma^2$ .

$$f(y_i) = \frac{1}{\sqrt{2\pi}\sigma} \exp \left[ -\frac{(y_i - a_0 - b_0 x_i^2)^2}{2\sigma^2} \right]. \quad (5)$$

Předpokládáme samozřejmě nezávislost naměřených hodnot  $y_i$ ; nejvhodnější odhad parametrů  $a_0, b_0$  dostaneme z podmínky maxima logaritmu funkce věrohodnosti



Obr. 32. Závislost (15.2) generovaná pro  $N=100$  s normálně rozdělenou chybou se střední kvadratickou odchylkou  $\sigma=0.1$  (křížky) a proložená závislost s odhadem parametrů (13a) (plná čára).

$$\ln L = \ln \prod_{i=1}^N f(y_i) = - \sum_{i=1}^N \frac{(y_i - a - bx_i^2)^2}{2\sigma^2} - \frac{N}{2}(\ln \sigma^2 + \ln 2\pi). \quad (6)$$

Maximum (6) vzhledem k  $a, b$  nastane právě tehdy, je-li minimální součet čtverců odchylek hodnot naměřených ( $y_i$ ) a předpovězených modelem ( $a + bx_i^2$ )

$$S = \sum_{i=1}^N (y_i - a - bx_i^2)^2. \quad (7)$$

Z podmínky  $\partial S / \partial a = \partial S / \partial b = 0$  vyjde soustava dvou lineárních rovnic (říce se jim normální rovnice) pro hledané odhady  $\hat{a}, \hat{b}$ :

$$\hat{a}N + \hat{b} \sum_{i=1}^N x_i^2 = \sum_{i=1}^N y_i, \quad \hat{a} \sum_{i=1}^N x_i^2 + \hat{b} \sum_{i=1}^N x_i^4 = \sum_{i=1}^N y_i x_i^2. \quad (8)$$

Je-li determinant soustavy

$$d = N \sum_{i=1}^N x_i^4 - (\sum_{i=1}^N x_i^2)^2 = \sum_{i=1}^N \sum_{j=i+1}^N (x_i^2 - x_j^2)^2 \quad (9)$$

nenulový (podle (9) k tomu stačí, aby v  $N$ -tici argumentů  $x_i$  byly alespoň dva různé), existuje právě jedno řešení. Můžeme je napsat explicitně:

$$\hat{a} = \frac{1}{d} \sum_{i=1}^N y_i \left[ \sum_{j=1}^N x_j^2 (x_j^2 - x_i^2) \right], \quad \hat{b} = \frac{1}{d} \sum_{i=1}^N y_i \left[ \sum_{j=1}^N (x_i^2 - x_j^2) \right]. \quad (10)$$

Odhady jsou lineárními kombinacemi normálně rozdělených naměřených hodnot  $y_i$  - mají tedy také normální rozdělení. Přímým výpočtem můžeme najít sčítání hodnoty a druhé momenty; s pomocí (3.18) dostáváme

$$E(\hat{a}) = a_0, \quad E(\hat{b}) = b_0,$$

$$D(\hat{a}) = \sigma^2(\hat{a}) = \frac{\sigma^2}{d} \sum_{i=1}^N x_i^4, \quad D(\hat{b}) = \sigma^2(\hat{b}) = \sigma^2 \frac{N}{d}, \quad D(\hat{a}, \hat{b}) = \frac{\sigma^2}{d} (-\sum_{i=1}^N x_i^2).$$

Využili jsme nezávislosti různých  $y_i$  ...  $D(y_i, y_i) = \sigma^2 \delta_{ij}$ , kde  $\delta_{ij}$  je Neckerovo delta (jednička pro  $i=j$ , jinak nula). Odhady  $\hat{a}, \hat{b}$  jsou vždy kolované, protože  $D(\hat{a}, \hat{b}) \neq 0$ . Korelační koeficient

$$\rho = \frac{D(\hat{a}, \hat{b})}{\sigma^2(\hat{a})\sigma^2(\hat{b})} = - \sum_{i=1}^N x_i^2 / \sqrt{N \sum_{i=1}^N x_i^4}$$

závisí pouze na hodnotách  $x_1, \dots, x_N$ . Stojí zato si všimnout, že matice druhých momentů (11) je až na faktor  $\sigma^2$  rovna inverzní matici soustavy normálních rovnic (8). Je-li disperze jednotlivých hodnot  $y_i$  známá, víme o odhadech  $\hat{a}, \hat{b}$  prostřednictvím (11) vše, co vědět můžeme.

Výpočet e daty z obr. 32 veden k následujícím hodnotám:

$$\hat{a} = 1.022, \hat{b} = 1.971, \quad (13a)$$

$$\sigma(\hat{a}) = 0.0150, \sigma(\hat{b}) = 0.0332, \rho = -0.743. \quad (13b)$$

Proložená závislost  $\hat{a} + \hat{b}x^2$  je nakreslena v obr. 32.

### Odhad eliptickou oblastí při známém $\delta$

Při opakování pokusu budou body  $(a, b)$  vycházet náhodně kolem středu  $(a_0, b_0) = (1, 2)$  s normální hustotou s parametry (13b). Analogie intervalového odhadu jednoho parametru je zde odhad pomocí oblasti, která obsahuje hledané hodnoty s předepsanou pravděpodobností. Nejvýhodnější oblastí je vnitřek elipsy s konstantní hustotou (má při zadaném pravděpodobnostním obsahu minimální plochu, čímž nejlépe lokalizuje hledaný bod v rovině parametrů). Z § 6 víme, že konstrukce takové elipsy vyplývá ze znalosti rozdělení kovariační formy normální hustoty. Kovariační forma pro proměnné  $\hat{a}, \hat{b}$  se dá napsat ve tvaru

$$\begin{aligned} f &= \frac{1}{\delta^2} \left[ (\hat{a}-a_0)^2 N + 2(\hat{a}-a_0)(\hat{b}-b_0) \sum_{i=1}^N x_i^2 + (\hat{b}-b_0)^2 \sum_{i=1}^N x_i^4 \right] = \\ &= \frac{1}{1-\rho^2} \left[ \frac{(\hat{a}-a_0)^2}{\sigma^2(\hat{a})} - 2\rho \frac{(\hat{a}-a_0)(\hat{b}-b_0)}{\sigma(\hat{a})\sigma(\hat{b})} + \frac{(\hat{b}-b_0)^2}{\sigma^2(\hat{b})} \right]; \end{aligned} \quad (14)$$

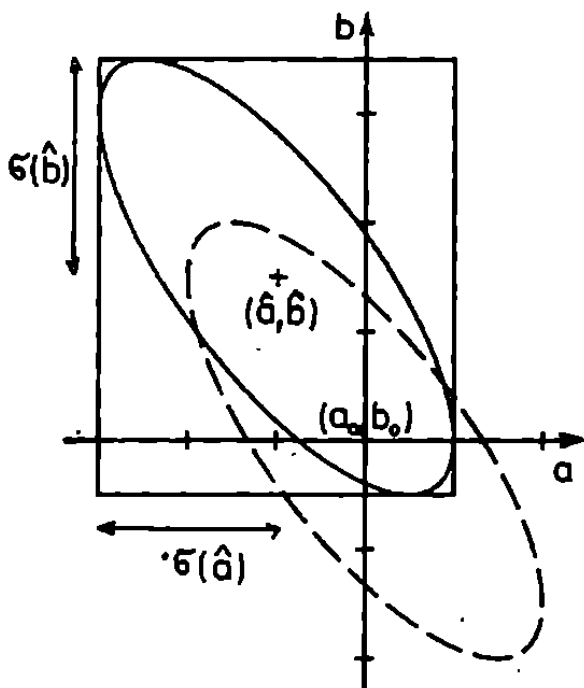
má rozdělení  $\chi^2$  se dvěma stupni volnosti. Vnitřek elipsy  $f = \text{konst.} = \lambda$  má pravděpodobnostní obsah dany příslušnou distribuční funkcí:

$$P(f < \lambda) = P_{\chi^2_2}(\lambda). \quad (15)$$

Elipsu  $f = \lambda$  můžeme interpretovat dvojím způsobem: buď má střed v  $(a_0, b_0)$  nebo v  $(\hat{a}, \hat{b})$  (obr. 33). V obou případech dává místa se stejnou hustotou pravděpodobnosti vzájemně polohy bodů  $(a_0, b_0)$  a  $(\hat{a}, \hat{b})$ . První možnost bychom použili pro předpověď výskytu odhadů při známém  $(a_0, b_0)$ , druhá se hodí pro řešení naší úlohy - elipsami kolem  $(\hat{a}, \hat{b})$  se snažíme zasáhnout hledaný bod  $(a_0, b_0)$ . Volbou konstanty  $\lambda$  určujeme velikost elipsy a tím i její pravděpodobnostní obsah. Například  $\lambda = 1$  znamená podle (14) elipsu, která je vepsaná do obdélníka  $\hat{a} \pm \sigma(\hat{a}), \hat{b} \pm \sigma(\hat{b})$  - viz obr. 33. Její pravděpodobnostní obsah je asi 0.4 (hodnota distribuční funkce (15) v bodě 1 ... tabulka v dodatku D2). Při 392-násobném opakování celého pokusu v počítači obseahovala elipsa  $f = 1$  bod  $(1, 2)$  ve 164 případech, což je ve velmi dobré shodě s očekávaným počtem  $392 \times 0.4 \approx 157$ .

### Odhad disperze $\delta^2$

Neznáme-li  $\delta^2$ , můžeme ji odhadnout z naměřených dat. Z podmínky



Obr. 33. Elipsy  $\frac{1}{\sigma^2} = 1$  s kovariační formou  $\frac{1}{\sigma^2}$  podle (14),  $\rho = -0.74$ ; obdélník  $a \pm \hat{\sigma}(a)$ ,  $b \pm \hat{\sigma}(b)$ .

Sly odhady (13a) bylo  $\hat{\sigma}^2 \approx 0.0098$  v dobré shodě se skutečnou disperzí dat  $\sigma^2 = 0.01$ .

### Odhad parametrů eliptickou oblastí při neznámé disperzi $\hat{\sigma}^2$

Podíl

$$\eta = \frac{\frac{1}{2} \frac{1}{\sigma^2}}{\frac{1}{N-2} \frac{\hat{\sigma}^2}{\hat{\sigma}^2}} = \frac{\hat{\sigma}^2 / 2}{S_0 / (N-2)} \quad (17)$$

na neznámé disperzi  $\hat{\sigma}^2$  nezávisí a má podle (8.11) F-rozdělení s  $m=2$ ,  $m'=N-2$  stupni volnosti. Vnitřek elipsy  $\eta = \lambda$  má tedy pravděpodobnostní obhah roven hodnotě příslušné distribuční funkce v  $\lambda$ :

$$P(\eta < \lambda) = F_{2, N-2}(\lambda). \quad (18)$$

Označíme

$$\hat{\sigma}(a) = \sqrt{\frac{S_0}{N-2}} \sqrt{\frac{1}{d} \sum_{i=1}^N x_i^4}, \quad \hat{\sigma}(b) = \sqrt{\frac{S_0}{N-2}} \sqrt{\frac{N}{d}} \quad (19)$$

odhadu standardních odchylek  $\hat{a}, \hat{b}$ , které dostaneme ze vztahů (11) a (17). Rovnici elipsy  $\eta = \lambda$  pak přepíšeme do tváru

$$\frac{1}{2} \frac{1}{1-\rho^2} \left\{ \frac{(\hat{a}-a_0)^2}{[\hat{\sigma}(a)]^2} - 2\rho \frac{(\hat{a}-a_0)(\hat{b}-b_0)}{\hat{\sigma}(a)\hat{\sigma}(b)} + \frac{(\hat{b}-b_0)^2}{[\hat{\sigma}(b)]^2} \right\} = \lambda. \quad (20)$$

maxima věrohodnosti vzhledem k  $\hat{\sigma}^2$  (lépe s pomocí (6)...  $\partial \ln L / \partial \hat{\sigma}^2 = 0$ ) dostaneme odhad

$$\hat{\sigma}^2 = \frac{1}{N} \sum_{i=1}^N (y_i - \hat{a} - \hat{b}x_i)^2 = S_0 / N. \quad (1)$$

Symbolom  $S_0$  jsme označili tzv. reziduální sumu čtverců, t.j. hodnotu  $S$  z vztahu (7) v bodě minima.  $N\hat{\sigma}^2 / \hat{\sigma}^2$  je hodná veličina s  $\chi^2$  rozdelením s počtem stupňů volnosti rovným  $N-2$  (dá se vyjádřit jako součet  $N-2$  kvadrátů nezávislých proměnných s rozdelením  $N(0, 1)$  jednotlivé sčítance v součtu (16) nezávislé nejsou!). Odhad (16) je vychýlený, protože jeho střední hodnota je  $E(\hat{\sigma}^2) = \hat{\sigma}^2(N-2)/N \neq \hat{\sigma}^2$ . Nevychýleným odhadem  $\hat{\sigma}^2$  je  $\hat{\sigma}^2' = S_0 / (N-2)$ . V našem případě ( $N=100$ ) je rozdíl mezi  $\hat{\sigma}^2$  a  $\hat{\sigma}^2'$  zanedbatelný; v pokusu, při kterém by

Pro  $\lambda=1/2$  je to elipsa vepsaná do obdélníka  $\hat{a} \pm \hat{\delta}(\hat{a})$ ,  $\hat{b} \pm \hat{\delta}(\hat{b})$  a její pravděpodobnostní obsah je  $F_{2,98}(0.5) \approx 0.4$  (tabulka F-rozdělení je v D3; vyšla stejná hodnota jako nahoře pro elipsu  $\zeta=1$ , podle § 8 je rozdělení veličiny  $2F_{2,98}$  blízké k  $\chi^2_2$ ).

Elipsy (20) mají nejen náhodný střed  $(\hat{a}, \hat{b})$ , ale i velikost  $(\hat{\delta}(\hat{a}), \hat{\delta}(\hat{b}))$  jsou náhodné veličiny. Sledovali jsme je při zmíněném 392-násobném opakování pokusu. Při prvním z nich vyšly odhadové odchylek (19)

$$\hat{\delta}(\hat{a}) = 0.0148, \quad \hat{\delta}(\hat{b}) = 0.0328, \quad (21)$$

a v dalších podle očekávání kolísaly kolem svých středních hodnot  $\delta(\hat{a})$ ,  $\delta(\hat{b})$  ze vztahu (13b). Prvních čtyřicet elips  $\zeta=1/2$  je nakresleno v obr. 34. Celkem 169-krát obsahovala elipsa bod (1,2), opět v dobrém souhlasu s předpovězenou pravděpodobností  $\sim 0.4$ . V obrázku 34 bychom si měli všimnout toho, jak záporný koeficient korelace rozděluje odhady  $(\hat{a}, \hat{b})$  kolem úhlopříčky z levého horního do pravého dolního rohu. Pravděpodobnostní obsah obdélníka  $\hat{a} - \hat{\delta}(\hat{a}), \hat{b} - \hat{\delta}(\hat{b})$  je samozřejmě o něco větší. Z obr. 9 v § 6 odečteme pro  $\rho = 0.74$  pravděpodobnost asi 0.55; pozorovaná relativní četnost příznivých případů  $225/392 \approx 0.57$  je s ní ve výborné shodě.

#### Intervalové odhadové jednotlivých parametrů

Zatím jsme se soustředili na odhad obou parametrů současně. Můžeme najít také pravděpodobnostní tvrzení o každém parametru zvlášť. Především je zřejmé, že intervalový odhad  $\hat{a} \pm \delta(\hat{a})$  (chápaný tak, že sledujeme pouze souvislost  $a_0$  a  $\hat{a}$  - bez ohledu na to, jak vychází  $\hat{b}$ ) má pravděpodobnostní obsah 0.683; marginální rozdělení  $\hat{a}$  je  $N(a_0, \delta^2(\hat{a}))$ . Stejné tvrzení platí i o odhadu  $\hat{b} \pm \delta(\hat{b})$ .

Pokud disperzi  $\delta^2$  neznáme a nemůžeme spočítat  $\delta(\hat{a})$ ,  $\delta(\hat{b})$  ze vztahu (11), můžeme použít Studentova rozdělení pro sestrojení intervalů pomocí  $\hat{\delta}(\hat{a})$ ,  $\hat{\delta}(\hat{b})$  ze vztahu (19). Postup je přesně stejný jako v případě přímo měřené hodnoty (§12).

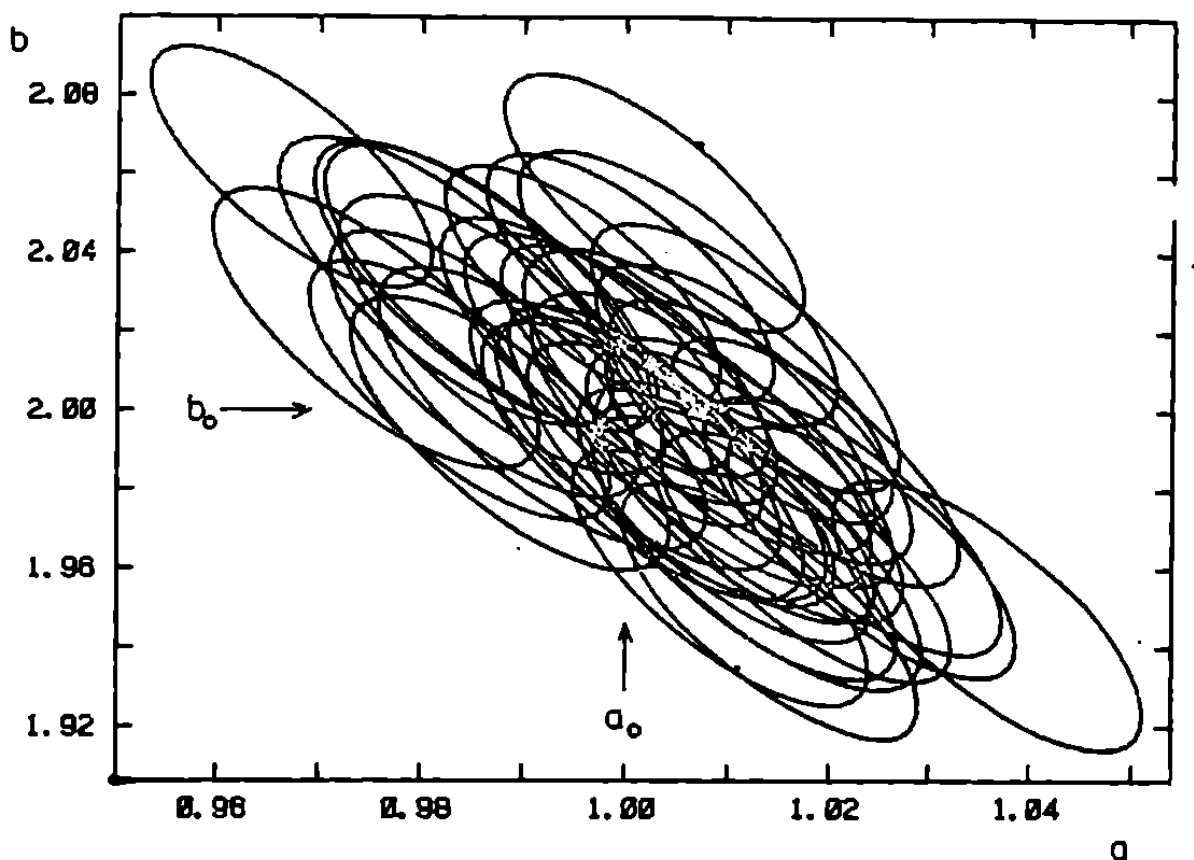
Je-li hodnota jednoho z parametrů známá, má odhad druhého opět normální rozdělení, s disperzí zmenšenou faktorem  $1-\rho^2$  (viz podmíněné rozdělení (6.16), (6.17)). Například fixování hodnoty parametru  $b=b_0$  vede ke zmenšení disperze  $\hat{a}$  podle vztahu (11) a (12) na

$$D(\hat{a}|b=b_0) = D(\hat{a})(1-\rho^2) = \delta^2/N. \quad (22)$$

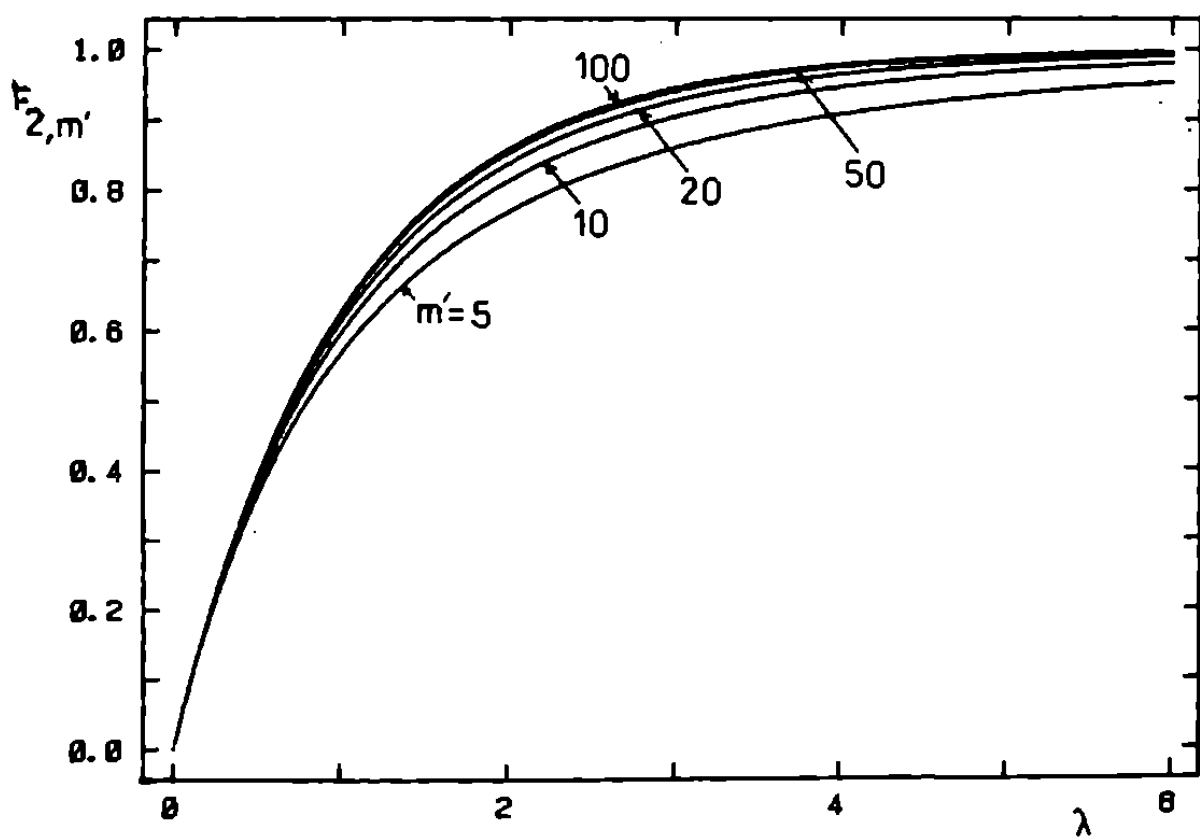
To je očekávaný výsledek, neboť jde vlastně jen o odhad přímo měřené veličiny z N-tice  $a_i = y_i - b_0 x_i^2$  normálně rozdělených hodnot se stejnou disperzí  $\delta^2$ .

#### Jiné rozdělení dat

Posoudíme vliv různých rozdělení chyb  $\varepsilon_i$  ze vztahu (2) na odhad parametrů. Jde o velmi složitý problém, protože v záseadě každý typ rozdělení



Obr. 34. Odhadý parametrů  $(a_0, b_0)$  eliptickou oblastí (15.20) s  $\lambda = 1/2$ .



Obr. 35. Distribuční funkce  $F$  - rozdělení s  $m=2$  a různými hodnotami  $m'$ .

dává jiné formule pro nejvhodnější odhad a potřebné výpočty mohou být značně komplikované. Stanovíme si relativně skromný cíl: zjistit, jak se ovědějí vztahy odvozené v předchozí části tohoto odstavce pro normální rozdělení v případech, kdy rozdělení chyb normální není. Navíc budeme postupovat čistě empiricky - vyzkoušíme konkrétní rozdělení v mnohokrát opakových pokusech v počítači.

Od normálního se jistě hodně liší rovnoramenné rozdělení (§ 9) s konstantní hustotou

$$f(y_i) = \frac{1}{2\sqrt{36}}, \quad y_i \in (a_0 + b_0 x_i^2 - 6\sqrt{3}, \quad a_0 + b_0 x_i^2 + 6\sqrt{3}), \quad (23)$$

které má podle (9.6) střední hodnotu  $a_0 + b_0 x_i^2$  a disperzi  $6^2$ . Ještě méně se normální hustotě podobá funkce

$$f(y_i) = \frac{1}{\sqrt{6\sqrt{90}(y_i - a_0 - b_0 x_i^2 + 6\sqrt{45}/6)}}, \quad y_i \in (a_0 + b_0 x_i^2 - \frac{6\sqrt{45}}{6}, \quad a_0 + b_0 x_i^2 + \frac{6\sqrt{45}}{3}). \quad (24)$$

Je to neesymetrická hustota, která má střední hodnotu a disperzi stejnou jako (23). Přitom má v levém krajiném bodě povoleného intervalu singularitu. (Pseudo) náhodná čísla s rozdělením (23) a (24) se dají v počítači snadno generovat.

Aby byl výpočet rychlejší, zvolíme menší počet bodů v závislosti (2): N=7. Budeme v každém pokusu konstruovat elipsy (20) s oblibeným pravděpodobnostním obsahem 0.683 a 0.954 a sledovat počet případů, kdy v nich hledaný bod (1,2) leží. Při malém počtu stupňů volnosti  $m' = N-2 = 5$  se F - rozdělení značně liší od limitního  $\chi^2$ , jak ukazují distribuční funkce v obr. 35. Odtud (nebo z tabulky D3) zjistíme, že pro dvě uvedené pravděpodobnosti musíme zvolit konstantu  $\lambda$  ve (20) po řadě 1.46 a 6.16. V následující tabulce jsou shrnutý výsledky simulovaných experimentů.

rozdělení dat	počet pokusů	menší elipsa (68,3%)		větší elipsa (95,4%)	
		pozorovaný počet úspěchů	očekávaný interval	pozorovaný počet úspěchů	očekávaný interval
normální (5)	500	353	341.5 ± 21	476	477 ± 9.4
rovnoramenné (23)	6510	4449	4446 ± 78	6170	6211 ± 34
se singularitou (24)	10000	6794	6830 ± 96	9327	9540 ± 42

Počet úspěchů je náhodná veličina s binomickým rozdělením, které se dá pro velký počet pokusů dobře approximovat normální hustotou. Odtud jsme také určili intervaly, do kterých by měly pozorované počty padnout s pravdě-

dobnosti 95.4% ( $\pm$  dvě standardní odchylky). Pro normálně rozdělená data první řádku je vše v pořádku. Pozoruhodná je ovšem dobrá shoda pro obě další rozdělení. Jedině údaj pro větší elipsu v posledním řádku signalizuje závažný nesouhlas mezi pozorovaným a očekávaným údajem (liší se zhruba o 5 standardních odchylek). Na druhé straně je však většinou nepodstatné, že místo 0.954 je pravděpodobnostní obsah odhadu pouze 0.93. Celkově můžeme zhodnotit funkci postupu odvozeného pro normální rozdělení jako překvapivě dobrou.

Předpověď vlastností odhadů podle vztahů (10), (19) a (20) s testovacím rozdělením dat (23) a (24) by se dala provést přesně, byla by ale značně namáhavá. Použitelnost postupu můžeme vysvetlit v hrubých rysech pomocí centrální limitní věty – rozdělení odhadů (10) se blíží normálnímu i pro jiná rozdělení dat. Dobrá funkce studovaného postupu zpracování pro různá rozdělení je velmi vítaná. Neznamená to ale, že by nemělo cenu hledat jiné postupy respektující zvláštnosti rozdělení dat; zpracování pak může být efektivnější (viz příklad odhadu polohy rovnoměrného rozdělení v § 14).

#### 16. Odhad parametrů lineárního modelu

Postup odhadu parametrů lineárního modelu, odvozený a ilustrovaný na příkladu v § 15, zobecníme pro případ různých a neměřených hodnot a libovolného počtu parametrů. Budeme používat maticové zápisy podle konvencí použitých v § 6.

Předpokládejme, že hledáme hodnoty K parametrů  $\theta_1, \dots, \theta_K$  (uspořádáme je do sloupcového vektoru  $\underline{\theta}$  nebo po transpozici do řádkového vektoru  $\underline{\theta}^T = (\theta_1, \dots, \theta_K)$ ). Měříme hodnoty  $y_1, \dots, y_N$ , které jsou lineárními funkcemi  $\underline{\theta}$ :

$$\underline{y} = \underline{A} \underline{\theta}, \quad (1)$$

kde  $\underline{y}$  je vektor s N složkami,  $\underline{y}^T = (y_1, \dots, y_N)$ ,  $\underline{A}$  je matice koeficientů s N řádky a K sloupce (stručně NxK). Abychom mohli odhadnout všechny parametry, musí být  $N > K$ ; a matici  $\underline{A}$  předpokládáme, že má hodnost K. Obvykle dostáváme hodnoty  $y_i$  měřením při různých (známých) hodnotách  $x_i$ , jiné promenné  $x$ , na které  $y$  také závisí:

$$y(x) = \theta_1 f_1(x) + \dots + \theta_K f_K(x), \quad (2)$$

kde  $f_1(x), \dots, f_K(x)$  jsou zadané lineárně nezávislé funkce. Model (2) je lineární vzhledem k parametrům  $\underline{\theta}$ , matice  $\underline{A}$  má prvky

$$\underline{A} = \begin{bmatrix} f_1(x_1) & f_K(x_1) \\ \vdots & \ddots \\ f_1(x_N) & f_K(x_N) \end{bmatrix}. \quad (3)$$

Předpokládejme dále, že  $\underline{y}$  má  $N$ -rozměrné normální rozdělení se středními hodnotami  $E(\underline{y}) = \underline{\theta}_0$  a diagonální maticí druhých momentů  $D = \sigma^2 \underline{I}^{-1}$  (složky  $\underline{y}$  jsou nezávislé). Zde je, stejně jako v § 12,  $\underline{W}$  matice vah,  $\sigma^2$  disperze pro jednotku váhy.

### Odhad parametrů $\underline{\theta}_0$

Z principu maximální věrohodnosti (zobecněním postupu z § 15) dostaneme pro odhad  $\hat{\underline{\theta}}$  hledaných parametrů  $\underline{\theta}_0$  soustavu lineárních rovnic

$$(\underline{A}^T \underline{W} \underline{A}) \hat{\underline{\theta}} = \underline{A}^T \underline{W} \underline{y}. \quad (4)$$

Rámeček se jí soustava normálních rovnic. Podle předpokladu je matice

$$\underline{H} = \underline{A}^T \underline{W} \underline{A} \quad (5)$$

regulérní – její hodnost je  $K$ . Soustava (4) má tedy právě jedno řešení

$$\hat{\underline{\theta}} = \underline{H}^{-1} \underline{A}^T \underline{W} \underline{y}. \quad (6)$$

Odhad  $\hat{\underline{\theta}}$  je lineární funkcií normálně rozděleného vektoru  $\underline{y}$ , má tedy také normální rozdělení. Střední hodnoty a matice druhých momentů jsou

$$E(\hat{\underline{\theta}}) = \underline{\theta}_0, \quad D(\hat{\underline{\theta}}) = E[(\hat{\underline{\theta}} - \underline{\theta}_0)(\hat{\underline{\theta}} - \underline{\theta}_0)^T] = \sigma^2 \underline{I}^{-1}. \quad (7)$$

### Odhad $\hat{\underline{\theta}}$ elipsoidem při známém $\sigma^2$

Z § 6 víme, že kovariační forma

$$\mathfrak{f} = (\hat{\underline{\theta}} - \underline{\theta}_0)^T \underline{D}^{-1} (\hat{\underline{\theta}} - \underline{\theta}_0) = \frac{1}{\sigma^2} (\hat{\underline{\theta}} - \underline{\theta}_0)^T \underline{H} (\hat{\underline{\theta}} - \underline{\theta}_0) \quad (8)$$

je náhodná proměnná s rozdělením  $\chi^2$  s  $K$  stupni volnosti. Pro kladnou konstantu  $\lambda$  znamená splnění nerovnosti  $\mathfrak{f} < \lambda$  fakt, že  $\underline{\theta}_0$  leží uvnitř elipsoidu  $\mathfrak{f} = \lambda$ , opsaného kolem středu  $\hat{\underline{\theta}}$ . Pravděpodobnost této události je

$$P(\mathfrak{f} < \lambda) = F_{\chi_K^2}(\lambda), \quad (9)$$

kde  $F_{\chi_K^2}$  je příslušná distribuční funkce, nakreslená pro několik hodnot  $K$

v obr. 36.

### Odhad neznámé disperze $\sigma^2$

Odhad neznámé hodnoty  $\sigma^2$  dostaneme opět z principu maximální věrohodnosti. Označíme-li  $\hat{\underline{y}} = \underline{A} \hat{\underline{\theta}}$  předpověď měřených hodnot z modelu (1) pro parametry získané odhadem (6), vyjde nejvěrohodnější odhad disperze

$$\hat{\sigma}^2 = \frac{1}{N} (\underline{y} - \hat{\underline{y}})^T \underline{W} (\underline{y} - \hat{\underline{y}}) = \frac{1}{N} \sum_{i=1}^N w_i (y_i - \hat{y}_i)^2 = \frac{s_0}{N}. \quad (10)$$

Jako  $s_0$  jsme označili tzv. reziduální součet čtverců odchylek.

Dá se dokázat, že veličina  $\hat{\sigma}^2 / \sigma^2$  má rozdělení  $\chi^2_{N-K}$ ; odtud můžeme najít intervalové odhady pro  $\sigma^2$ . Odhad (10) je vychýlený, protože jeho střední hodnota je

$$E(\hat{\sigma}^2) = (\sigma^2/N)E(\chi^2_{N-K}) = \sigma^2(N-K)/N. \text{ Nevyčýleným odhadem disperze je například}$$

$$\hat{\sigma}^2 = \frac{N}{N-K} \hat{\sigma}^2 = \frac{1}{N-K} \sum_{i=1}^N w_i (y_i - \hat{y}_i)^2. \quad (10a)$$

#### Odhad $\theta_0$ elipsoidem při odhadované disperzi

Známého rozdělení kovariační formy (8) a odhadu  $\hat{\sigma}^2$  (10) využijeme k odhadu  $\theta_0$  elipsoidem v prostoru parametrů; podíl

$$\eta = \frac{\xi/K}{\hat{\sigma}^2 / [\sigma^2(N-K)]} = \frac{(\hat{\theta} - \theta_0)^T H (\hat{\theta} - \theta_0) / K}{(\hat{y} - \bar{y})^T W (\hat{y} - \bar{y}) / (N-K)} \quad (11)$$

má neznámé hodnotě  $\hat{\sigma}^2$  nezávisí a má F- rozdělení (§ 8) s  $m=K$ ,  $n=N-K$  stupni volnosti. Podmínu  $\eta \lambda$ , kde  $\lambda$  je kladná konstanta, můžeme interpretovat tak, že bod  $\theta_0$  leží uvnitř elipsoidu  $\eta=\lambda$  se středem v  $\hat{\theta}$ . Pravděpodobnost této události je dána distribuční funkcí F- rozdělení:

$$P(\eta < \lambda) = F_{K, N-K}(\lambda). \quad (12)$$

Volbou  $\lambda$  můžeme zajistit předepsaný pravděpodobnostní obsah elipsoidu (tabulka F - rozdělení je v D3).

#### Intervalové odhady jednotlivých složek $\theta_0$

Znalost rozdělení vektoru  $\hat{\theta}$ , případně odhadu disperze  $\hat{\sigma}^2$ , umožňuje konstrukci odhadů každé složky  $\theta_{0j}$  vektoru  $\theta_0$  samostatně, t.j. bez ohledu na ostatní. Marginální rozdělení  $\hat{\theta}_j$  je podle (6.13) normální se střední hodnotou  $\theta_{0j}$  a disperzí danou j-tým diagonálním prvkem matice  $H$ :

$$\hat{\sigma}_{jj}^2 = (H^{-1})_{jj} = \sigma^2 (H^{-1})_{jj}, \quad j=1, \dots, K. \quad (13)$$

Známe-li  $\hat{\sigma}^2$ , najdeme intervalové odhady  $\hat{\theta}_j \pm k \hat{\sigma}_{jj}$  pomocí normální distribuční funkce ze vztahu (12.7).

Odhadujeme-li  $\hat{\sigma}^2$  z naměřených dat, vyjdeme z podílu

$$\frac{(\hat{\theta}_j - \theta_{0j}) / \hat{\sigma}_{jj}}{\sqrt{\hat{\sigma}^2 / [(N-K)\hat{\sigma}^2]}} = \frac{\hat{\theta}_j - \theta_{0j}}{\sqrt{(H^{-1})_{jj} S_0 / (N-K)}} ; \quad (14)$$

ten na  $\hat{\sigma}^2$  nezávisí a má Studentovo rozdělení s  $N-K$  stupni volnosti. Označíme

$$\hat{\delta}_j = \sqrt{(H^{-1})_{jj} \frac{S_0}{N-K}} \quad (15)$$

a najdeme pravděpodobnostní obsah intervalu  $\hat{\theta}_j \pm k \hat{\delta}_j$  pomocí distribuční

funkce  $F_{N-K}$  Studentova rozdělení (viz (12.11)). Pro dostatečně velký počet stupňů volnosti  $N-k$  ( $>30$ ) má interval  $\hat{\theta}_j \pm \delta_j$  pravděpodobnostní obsah 0.683, stejný, jako má interval  $\hat{\theta}_j \pm \sigma_j$ .

#### Souvislost se sumou čtverců odchylek

Podmínka maxima věrohodnosti je při normálně rozdělených datech ekvivalentní s podmínkou minima součtu čtverců - viz (10.11). V našem případě  $K$ -rozměrného vektoru parametrů  $\underline{\theta}$  a diagonální matice vah  $\underline{W}$  je suma čtverců rovna

$$S = (\underline{y} - \underline{A}\underline{\theta})^T \underline{W} (\underline{y} - \underline{A}\underline{\theta}) = \sum_{i=1}^N w_i (y_i - \sum_{j=1}^K a_{ij} \theta_j)^2. \quad (16)$$

Snadno se můžeme přesvědčit, že podmínka minima  $S$  vzhledem k  $\underline{\theta}$ , t.j.  $\partial S / \partial \theta_1 = \dots = \partial S / \partial \theta_K = 0$ , vede skutečně soustavu normálních rovnic (4).

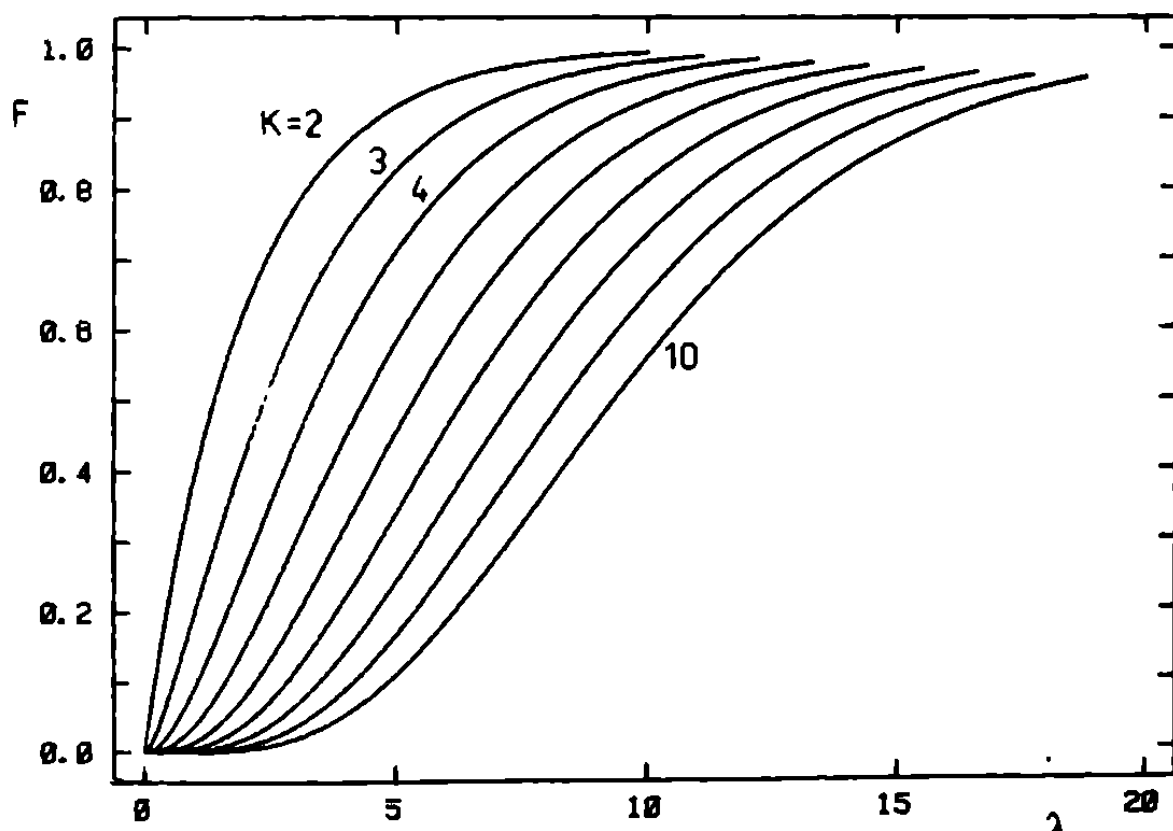
Pro součet čtverců (16) v minimu, t.j. v bodě  $\hat{\underline{\theta}}$ , dostaneme jednoduchý vztah

$$S_0 = S(\hat{\underline{\theta}}) = \underline{y}^T \underline{W} \underline{y} - 2 \hat{\underline{\theta}}^T \underline{A}^T \underline{W} \underline{y} + \hat{\underline{\theta}}^T \underline{H} \hat{\underline{\theta}} = \underline{y}^T \underline{W} \underline{y} - \hat{\underline{\theta}}^T \underline{A}^T \underline{W} \underline{y}. \quad (17)$$

Residuální sumu čtverců tedy můžeme vypočít tak, že od vženého součtu čtverců naměřených hodnot  $(\underline{y}^T \underline{W} \underline{y})$  odečteme skalární součin vektoru řešení a pravé strany normálních rovnic (4). Užitečné je také vyjádření  $S$  jako funkce posunutí  $\Delta$  z minima  $\hat{\underline{\theta}}$ :

$$S(\hat{\underline{\theta}} + \Delta) = S_0 + \Delta^T \underline{H} \Delta. \quad (18)$$

Matice  $\underline{H}$  kovariační formy (8) popisuje také funkci  $S$  v prostoru parametrů  $\underline{\theta}$ .



Obr. 36. Distribuční funkce  $\chi^2$  - rozdělení s  $K$  stupni volnosti.

### 17. Odhad parametrů nelineárního modelu

Měřené hodnoty  $y_1, \dots, y_N$  mohou záviset na hledaných parametrech  $\theta_1, \dots, \theta_K$  nelineárně:

$$y_i = h_i(\theta_1, \dots, \theta_K), i=1, \dots, N. \quad (1)$$

Předpokládejme, že  $y_i$  jsou nezávislé normálně rozdělené proměnné se středními hodnotami  $E(y_i) = h_i(\theta_{01}, \dots, \theta_{0K})$  a diagonální kovariační maticí  $D = 6^2 W^{-1}$  ( $W$  je diagonální matice vah,  $6^2$  disperze pro jednotkovou váhu

Funkce věrohodnosti pozorované  $N$ -tice  $\underline{y}$  při hodnotách parametrů  $\underline{\theta}$  tedy

$$L = \prod_{i=1}^N \frac{1}{\sqrt{2\pi 6^2/w_i}} \exp \left\{ - \frac{[y_i - h_i(\theta_1, \dots, \theta_K)]^2}{26^2/w_i} \right\}. \quad (2)$$

Maximum  $L$  vzhledem k  $\underline{\theta}$  nastane tehdy, je-li maximální

$$\ln L = - \sum_{i=1}^N \left\{ \frac{[y_i - h_i(\theta_1, \dots, \theta_K)]^2}{26^2/w_i} + \frac{1}{2} \ln(2\pi 6^2/w_i) \right\}; \quad (3)$$

k tomu stačí najít minimum váženého součtu čtverců odchylek pozorovaných a modelových hodnot v prostoru parametrů  $\underline{\theta}$ :

$$S = \sum_{i=1}^N w_i [y_i - h_i(\theta_1, \dots, \theta_K)]^2 = [\underline{y} - \underline{h}(\underline{\theta})]^T W [\underline{y} - \underline{h}(\underline{\theta})]. \quad (4)$$

Nalezení odhadu  $\hat{\underline{\theta}}$  hledaného vektoru  $\underline{\theta}_0$  je díky nelinearity modelových funkcí  $h_i$  podstatně obtížnější než v lineárním případě (§§ 15, 16), kde stačí sestavit a vyřešit soustavu lineárních rovnic. Podle (16.6) jsme mohli dokonce vyjádřit odhad jako explicitní lineární funkci naměřených dat. Zde je závislost  $\hat{\underline{\theta}}$  na  $\underline{y}$  vyjádřena pouze implicitně – podmínkou maximu  $L$  nebo minima  $S$ . Tím je dána druhá komplikace: rozdělení  $\hat{\underline{\theta}}$  není normální – je zpravidla obtížné ho najít.

Hledání odhadu  $\hat{\underline{\theta}}$  svěříme vhodnému numerickému algoritmu nelineární minimalizace a samočinnému počítači. I v lineárním případě řešíme normální rovnice (16.4); tam je však výpočet rychlý a vždy jednoznačný. Nelineární model vede obvykle k mnohem náročnějším (delším) strojovým výpočtům a k možnosti nalezení "falešného" minima. Při interpretaci výsledků je třeba s touto eventualitou počítat.

Druhou komplikaci, t.j. neznalost rozdělení odhadu  $\hat{\underline{\theta}}$ , obcházíme zpravidla approximací nelineárního modelu lineárním. Jde v zásadě o použití přibližných formulí (3.28) a (3.29) pro druhé momenty funkcí náhodných proměnných, neboli o přibližné vyjádření "přenosu chyb měřených  $\underline{y}$  do chyb hledaných parametrů". V okolí odhadu  $\hat{\underline{\theta}}$  approximujeme funkce (1) lineárními členy Taylorova rozvoje; v maticovém zápisu je

$$\underline{h}(\hat{\underline{\theta}} + \Delta) \approx \underline{h}(\hat{\underline{\theta}}) + \sum_i \Delta_i = \hat{\underline{y}} + \underline{\Delta}, \quad (5)$$

kde prvky matice NxK koeficientů rozvoje jsou dány vlivem  $\underline{h}$  v bodě  $\hat{\underline{\theta}}$ :

$$(\underline{\Delta})_{ij} = (\partial h_i / \partial \theta_j)|_{\underline{\theta}} = \hat{\underline{\theta}}^T \underline{\Delta}_j. \quad (6)$$

Symbolem  $\hat{\underline{y}}$  jsme označili hodnoty modelových funkcí (1) v bodě  $\hat{\underline{\theta}}$ . V této approximaci je suma čtverců (6) přibližně rovna

$$S \approx (\underline{y} - \hat{\underline{y}})^T \underline{W} (\underline{y} - \hat{\underline{y}}) + \underline{\Delta}^T \underline{A}^T \underline{W} \underline{A} \underline{\Delta} = \underline{\Delta}_0 + \underline{\Delta}^T \underline{H} \underline{\Delta}, \quad (7)$$

kde jsme zavedli označení

$$\underline{H} = \underline{A}^T \underline{W} \underline{A}, \text{ nebo } (\underline{H})_{jm} = \sum_{i=1}^N w_i \frac{\partial h_i}{\partial \theta_j} \frac{\partial h_i}{\partial \theta_m} \Bigg|_{\underline{\theta}=\hat{\underline{\theta}}}. \quad (8)$$

Při odvození vztahu (7) jsme využili faktu, že vektor  $(\underline{y} - \hat{\underline{y}})^T \underline{W} \underline{A}$  je úměrný gradientu

$$g_j = \frac{\partial S}{\partial \theta_j} = -2 \sum_{i=1}^N w_i [y_i - h_i(\underline{\theta})] \frac{\partial h_i}{\partial \theta_j}, \quad j=1, \dots, K \quad (9)$$

sumy čtverců (4) a je tedy v minimu S nulový.

Pokud je lineární approximace (5) dobrá, můžeme použít všech výsledků z předchozího paragrafu. Rozdělení odhadu  $\hat{\underline{\theta}}$  bude přibližně normální s kovariační maticí  $\hat{\underline{\Sigma}}^{-1}$  (viz (16.7)), kde prvky matice  $\hat{\underline{\Sigma}}$  počítáme z (8). Použitelnost lineární approximace záleží na průběhu funkcií  $h_i$  v tak velké oblasti prostoru parametrů  $\underline{\theta}$ , ve které je hustota pravděpodobnosti výsledku  $\hat{\underline{\theta}}$  výrazně odlišná od nuly. Záleží tedy i na disperzi  $\sigma^2$  naměřených hodnot  $\underline{y}$  (viz diskusi o přibližných formulích v § 3). Představu o možnostech lineární approximace poskytuje příklad v následujícím odstavci.

#### 18. Příklad odhadu parametrů nelineárního modelu

Ukážeme použití metod předchozího paragrafu na příkladě odhadu tří parametrů  $\Omega_0$ ,  $\Gamma_0$  a  $\alpha_0$  modelu

$$y(x; \Omega_0, \Gamma_0, \alpha_0) = \frac{1}{(x - \Omega_0)^2 + \Gamma_0^2} + \alpha_0. \quad (1)$$

Měříme N-tici hodnot  $y_i = y(x_i) + \varepsilon_i$  pro známé  $x_1, \dots, x_N$ ,  $\varepsilon_i$  je náhodná chyba. Funkce (1) popisuje například tzv. Lorentzovský spektrální profil (závislost intenzity na frekvenci) čáry s centrální frekvencí  $\Omega_0$  a pološírkou  $\Gamma_0$ , přičtený ke konstantnímu pozadí  $\alpha_0$ . Vzhledem k  $\Omega_0$ ,  $\Gamma_0$  je model (1) nelineární,  $\alpha_0$  je lineární parametr.

Naměřená data byla simulována v počítači. Zvolili jsme

$$\Omega_0 = 0, \Gamma_c = 1, \alpha_0 = 0.5, \quad (2)$$

ekvidistantní síť s  $N=50$  hodnotami  $x_i$  z intervalu  $\langle -4, 4 \rangle$  a normálně rozdělené pseudonáhodné chyby  $\varepsilon$  se střední hodnotou 0 a standardní odchylkou

$$\hat{\sigma}(\varepsilon) = 0.1 \quad (3)$$

stejnou pro všechny body  $x_i$ . V obrázku 37 jsou takto generované data znázorněna křížky.

Odhady  $\hat{\Omega}$ ,  $\hat{\Gamma}$  a  $\hat{\alpha}$  jeme našli numerickou minimalizací součtu čtverců (17.4) s jednotkovými vahami (disperze jednotlivých  $y_i$  jsou stejné):

$$S(\Omega, \Gamma, \alpha) = \sum_{i=1}^N [y_i - y(x_i; \Omega, \Gamma, \alpha)]^2. \quad (4)$$

Linearity modelu vzhledem k parametru  $\alpha$  jsme nevyužili. Použitý minimizační algoritmus hledá mimumum funkce pomocí gradientu a matice druhých derivací (tzv. hessiánu). Označíme  $\theta_1, \theta_2, \theta_3$  po řadě parametry  $\Omega, \Gamma, \alpha$ ; složky gradientu a hessiánu jsou

$$\frac{\partial S}{\partial \theta_j} = -2 \sum_{i=1}^N [y_i - y(x_i)] \frac{\partial y(x_i)}{\partial \theta_j}, \quad (5)$$

$$\frac{\partial^2 S}{\partial \theta_j \cdot \partial \theta_m} = 2 \sum_{i=1}^N \left\{ \frac{\partial y(x_i)}{\partial \theta_j} \frac{\partial y(x_i)}{\partial \theta_m} - [y_i - y(x_i)] \frac{\partial^2 y(x_i)}{\partial \theta_j \cdot \partial \theta_m} \right\}, \quad j, m = 1, \dots, 3.$$

V hessiánu zanedbáváme členy s druhými derivacemi (to je tzv. linearizace) a používáme vlastně (až na faktor 2) matici  $\tilde{H}$  ze vztahu (17.8):

$$(\tilde{H})_{jm} = \frac{1}{2} \frac{\partial^2 S}{\partial \theta_j \cdot \partial \theta_m}. \quad (6)$$

Vedlejším produktem minimalizace je tedy užitečná matice, která podle § 17 popisuje rozdělení odhadu  $\hat{\theta}$  parametrů v lineárním přiblížení  $(\hat{\sigma}^2(\varepsilon))_{\tilde{H}}^{-1}$  je kovariacioní maticí normálního rozdělení  $\hat{\theta}$ .

Suma čtverců (4) je minimální pro

$$\hat{\Omega} = 0.0470, \hat{\Gamma} = 0.999, \hat{\alpha} = 0.522; \quad (7)$$

modelová funkce (1) s těmito parametry je nakreslena plnou čarou v obr. 37. Součet čtverců v minimu je  $S_0 = 0.456$ . Další postup záleží na tom, je-li hodnota  $\hat{\sigma}(\varepsilon)$  známé nebo je třeba ji odhadnout (§ 16); ukážeme výsledky pro druhý případ. Počet stupňů volnosti je  $N-3=47$ , proto

$$\hat{\sigma}(\varepsilon) = \sqrt{S_0/47} \approx 0.0985,$$

v dobré shodě s hodnotou (3) použitou při generaci dat. Odhadý standardních odchylek (16.15) jsou

$$\hat{\delta}_{\Omega} = 0.045, \hat{\delta}_r = 0.024, \hat{\delta}_{\alpha} = 0.017. \quad (8)$$

Počet stupňů volnosti je dostatečně velký k tomu, abychom namísto Studentova rozdělení v (16.14) mohli použít limitní normální rozdělení. Jako výsledek měření můžeme udat intervaly  $\hat{\Omega} \pm \hat{\delta}_{\Omega}$ ,  $\hat{r} \pm \hat{\delta}_r$ ,  $\hat{\alpha} \pm \hat{\delta}_{\alpha}$  pro každý z parametrů zvlášť; jejich pravděpodobnostní obsah je asi 68%. Výhodnější může být odhad celé trojice elipsoidem (16.12) s pravděpodobnostním obsahem daným F - rozdělením. K tomu je třeba doplnit údaje o kovariační matici, nejlépe udáním korelačních koeficientů dvojic parametrů. V našem příkladě je

$$\rho_{\Omega r} = 0.001, \rho_{\Omega \alpha} = 0.001, \rho_{r \alpha} = 0.551. \quad (9)$$

Předchozí úvaha o intervalových odhadech je založena na lineární approximaci modelu (1) podle § 17. Posoudíme její použitelnost. Názorné je srovnání závislosti součtu čtverců odchylek (4) na parametrech pro modelovou funkci a její lineární approximaci. Pro určitost budeme sledovat závislost na  $\Gamma$ . Numericky vypočteme funkci  $S(\Gamma)$  pro pevně zadané  $\Gamma$  a parametry  $\Omega, \alpha$  nalezené tak, aby suma (4) byla minimální; s pomocí vztahu (17.7) najdeme parabolickou závislost  $\tilde{S}(\Gamma)$  z lineární approximace:

$$S(\Gamma) = \min_{\Omega, \alpha} S(\Omega, \Gamma, \alpha), \quad \tilde{S}(\Gamma) = S_0 + (\Gamma - \hat{\Gamma})^2 / \hat{\theta}_{22}^{-1} = S_0 + \hat{\sigma}^2(\epsilon) (\Gamma - \hat{\Gamma})^2 / \hat{\delta}_r^2. \quad (10)$$

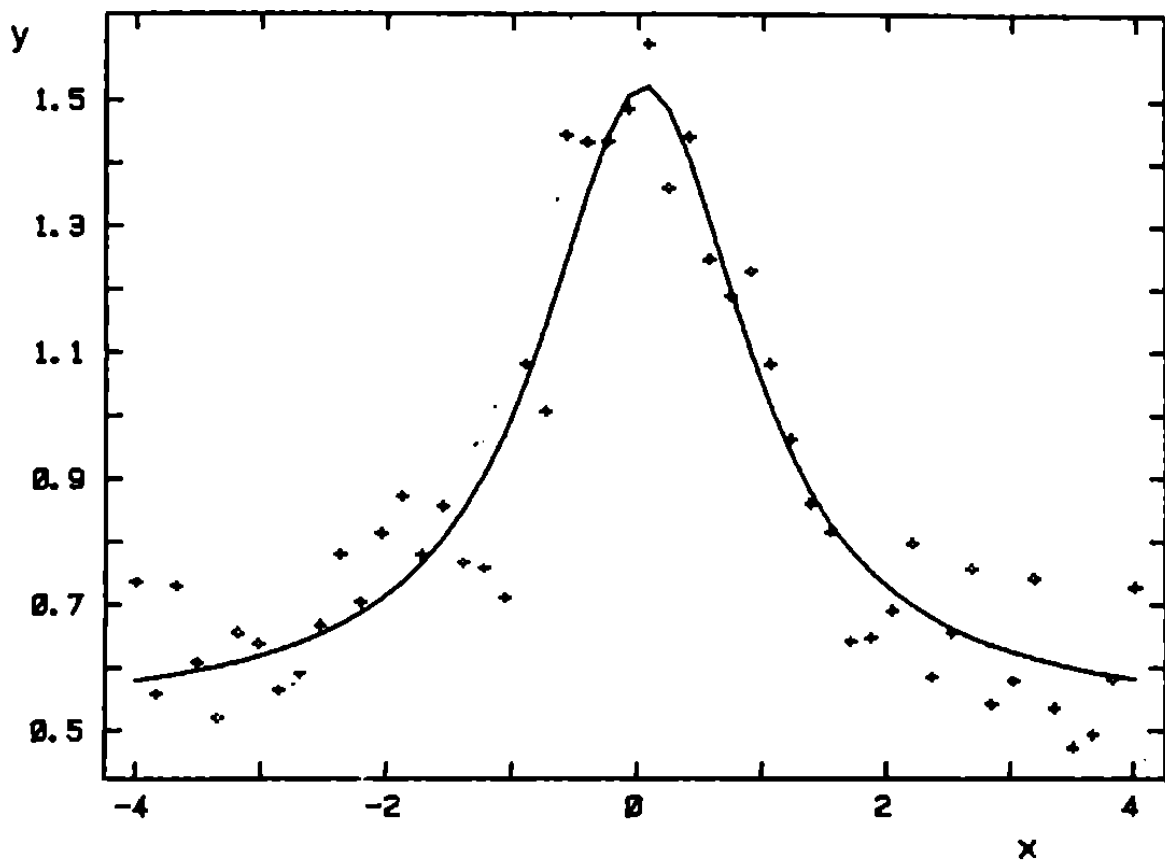
Při posunutí z minima o  $\pm \hat{\delta}_r$  vzroste hodnota paraboly  $\tilde{S} \circ \hat{\sigma}^2(\epsilon)$ .

Obě funkce  $S$ ,  $\tilde{S}$  jsou nakresleny v obr. 38; je vidět, že se v intervalu  $\hat{\Gamma} \pm \hat{\delta}_r$  liší velmi málo. Přestože závislost modelové funkce (1) na  $\Gamma$  je nelineární, odhadý  $\hat{\Gamma}$  jsou koncentrovány do dostatečně malého intervalu, v němž je lineární přiblížení vyhovující. Je třeba si uvědomit, že velikost intervalu  $2\hat{\delta}_r$  je přímo úměrná střední kvadratické odchylice  $\hat{\sigma}^2(\epsilon)$  naměřených hodnot. Budou-li chyby dat větší než v obr. 37, vliv nelinearity vzroste; naopak, pro menší chyby se bude dále zmenšovat.

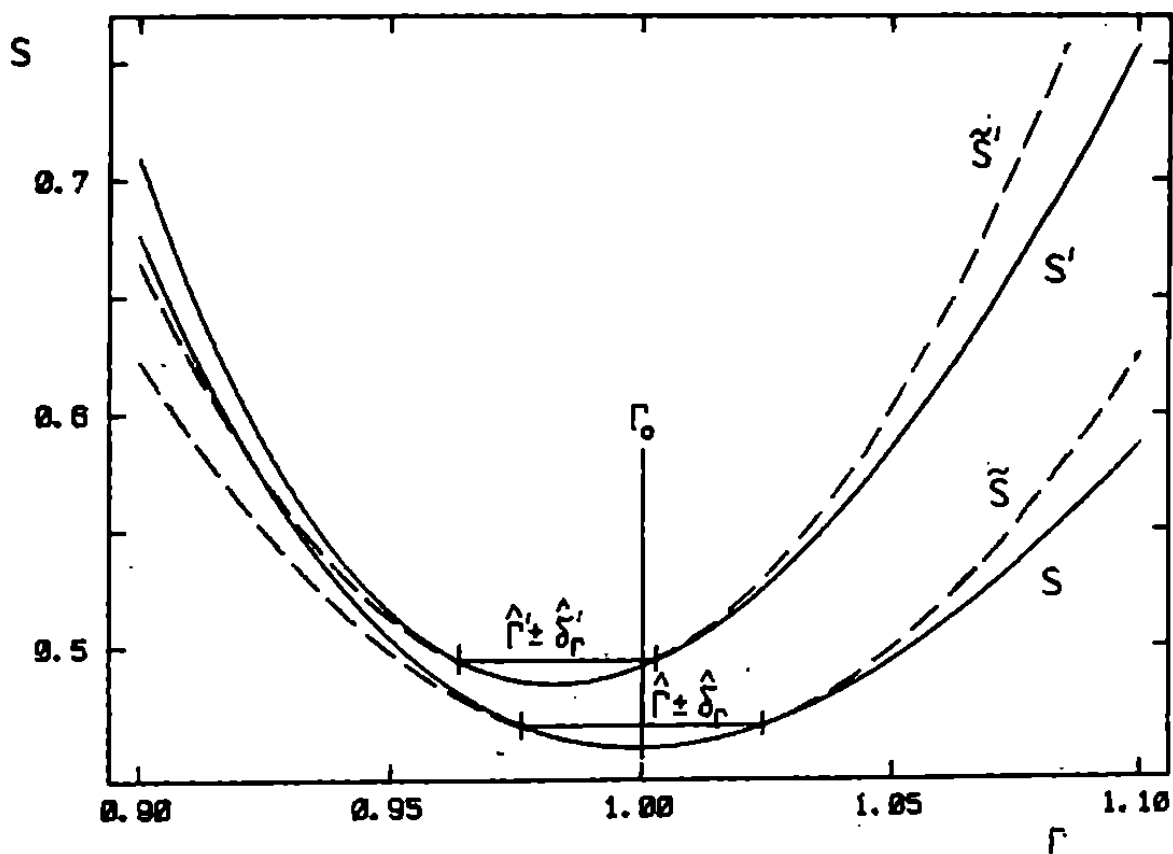
Započtení nelinearity modelu při konstrukci intervalového odhadu pro libovolný parametr  $\theta$  je možné a výsledek platný v asymptotické limitě  $N \rightarrow \infty$  je jednoduchý ([4], § 9.3). Krajní body intervalu s pravděpodobnostním obsahem 68.3% jsou takové, ve kterých je hodnota  $S$  (a nikoli parabolické approximace  $\tilde{S}$ ) o  $\hat{\sigma}^2(\epsilon)$  větší než v minimu:

$$S(\hat{\theta} - \hat{\delta}^{(-)}) = S(\hat{\theta} + \hat{\delta}^{(+)}) = S_0 + \hat{\sigma}^2(\epsilon). \quad (11)$$

Podobně vznikne  $S \circ k^2 \hat{\sigma}^2(\epsilon)$  definuje interval s pravděpodobnostním obsahem stejným, jako má v lineární approximaci interval  $\hat{\theta} \pm \hat{k}\hat{\delta}$  (například 95.4% a  $k=2$  a tedy s posunutím z minima o  $4\hat{\sigma}^2(\epsilon)$ ). Výsledkem je zpravidla interval,



Obr. 37. Experimentální data (křížky) a proložená závislost s parametry (18.8) (plná čára).



Obr. 38. Závislost součtu čtverců (18.10) a (18.12) na  $\Gamma$ , plná čára; parabolická approximace, čárkovaná čára.

který nemá střed v  $\hat{\theta}$ . V našem příkladě jsou podle obrázku 38 kladné odchylky poněkud větší než záporné.

Závislosti  $S(\Gamma)$ ,  $\tilde{S}(\Gamma)$  podle vztahu (10) souvisí s marginálním rozdělením  $\hat{\Gamma}$ , které je v lineárním přibližení normální s disperzí  $\sigma^2(\epsilon)(\underline{H}^{-1})_{22}$ .

Za povšimnutí stojí ještě závislosti sumy čtverců na  $\Gamma$ , odpovídající podmíněnému rozdělení při pevných hodnotách  $\Omega = \Omega_0$  a  $\alpha = \alpha_0$  zbylých parametrů:

$$S'(\Gamma) = S(\Omega_0, \Gamma, \alpha_0), \quad \tilde{S}'(\Gamma) = S'_0 + (\underline{H})_{22}(\Gamma - \hat{\Gamma})^2. \quad (12)$$

Jako  $\hat{\Gamma}'$  jsme označili odhad  $\Gamma$  z podmínky nejmenších čtverců  $S'$ ,  $S'_0$  je příslušná minimální hodnota. Z dat v obr. 37 vychází

$$\hat{\Gamma}' = 0.983, \quad \hat{\delta}'_{\Gamma} = 0.020, \quad S'_0 = 0.484. \quad (13)$$

Funkce  $S'$  a  $\tilde{S}'$  jsou rovněž v obr. 38 a v oblasti  $\hat{\Gamma}' + \hat{\delta}'_{\Gamma}$  jsou velmi blízké. Důležitý je fakt, že fixování  $\Omega$  a  $\alpha$  zpřesňuje odhad zbylého parametru  $\Gamma$ . V lineární approximaci je poměr standardních odchylek pro podmíněné a marginální rozdělení  $\Gamma$  roven

$$\frac{S'(\hat{\Gamma})}{S(\hat{\Gamma})} = \frac{\sigma(\epsilon) \sqrt{(\underline{H})_{22}}}{\sigma(\epsilon) \sqrt{(\underline{H}')_{22}}} = \sqrt{\left[ (\underline{H})_{22} (\underline{H}^{-1})_{22} \right]^{-1}} = \sqrt{1 - \rho_r^2}, \quad (14)$$

kde  $\rho_r$  je globální korelační koeficient parametru  $\Gamma$  ze vztahu (3.17). Matice  $\underline{H}$ ,  $\underline{H}^{-1}$ , a tedy i veličiny z nich odvozené, sice nejsou v prostoru parametrů  $\Omega$ ,  $\Gamma$ ,  $\alpha$  konstantní, ale jejich změna v blízkém okolí odhadu je malá. V našem případě vychází  $\rho_r \approx 0.552$  v bodě odhadu (7); podle (9) je  $\Gamma$  korelováno především s  $\alpha$ , korelace s  $\Omega$  je nepatrná. Podle (14) musí tedy fixování  $\Omega$  a  $\alpha$  zkrátit intervalový odhad  $\Gamma$  faktorem zhruba 0.83, což v odhadech chyby  $\Gamma$  podle (8) a (13) skutečně pozorujeme. Názorně je tento fakt vidět i v obr. 38 – suma čtverců  $S'$  a fixovanými parametry má ostřejší minimum než  $S$ . V tomto místě už snad nikoho nepřekvapí, že přesnější odhad  $\hat{\Gamma}'$  vyšel dál od správné hodnoty než odhad  $\hat{\Gamma}$ ; je to věc náhody, při opakování pokusu by byl výsledek většinou opačný. Korelační koeficient  $\sim 0.55$  v naší úloze je poměrně malý, často se můžeme setkat s korelacemi  $\sim 0.99$  nebo i bližšími k jedničce. Potom může fixování některých parametrů (zadáním hodnot z jiných měření) podstatně zlepšit přesnost zbylých odhadů.

### III. Testy hypotéz

#### 19. Statistické testy hypotéz

Podstatnou úlohou statistiky je odhad hledaných parametrů z naměřených hodnot. Naměřená data mohou být využita ještě jiným způsobem – k. t. tu, který má rozhodnout o platnosti dané teorie nebo hypotézy, případně vybrat jednu z možných alternativ. Testované hypotéze velmi často odpovídá určité hodnotě některého parametru. Metody testu a odhadu mohou být v takovém případě podobné, formulace úlohy i výsledku jsou však podstatně odlišné. Pokud odhadujeme neznámý parametr  $\theta_0$  intervalom  $\hat{\theta} \pm \delta$ , je výsledkem tvrzení o pravděpodobnostní souvislosti intervalu a neznámé hodnoty. Testujeme-li naopak hypotézu o zadané hodnotě  $\theta_0$ , zformulujeme pravděpodobnostní tvrzení o možnostech správného nebo chybného přijetí či odmítnutí hypotézy na základě pozorovaných údajů.

Statistická hypotéza je soubor předpokladů, ze kterých plynou předpovědi rozdělení náhodných veličin. Pokud je předpověď rozdělení jednoznačná, označuje se hypotéza jako jednoduchá (například hypotéza, že rozdělení náhodné proměnné je normální se zadanou střední hodnotou a disperzí). V opačném případě jde o hypotézu složenou (normální rozdělení proměnné se střední hodnotou z nějakého intervalu).

Statistický test je založen na srovnání předpovědi plynoucí z hypotézy s pozorovanými daty. Je-li pozorovaný výsledek v rámci dané hypotézy málo pravděpodobný, soudíme na její neplatnost. Při testu hypotézy  $H_0$  mohou nastat čtyři případy:

- (a)  $H_0$  platí, na základě testu ji přijímáme;
- (b)  $H_0$  neplatí, na základě testu ji zamítáme;
- (c)  $H_0$  platí, ale pomocí testu ji zamítáme; to je tzv. chyba prvního druhu;
- (d)  $H_0$  neplatí, ale pomocí testu ji přijímáme; to je chyba druhého druhu.

Shoda předpovědí plynoucích z hypotézy  $H_0$  s pozorovanými faktami se testuje pomocí vhodné funkce t naměřených hodnot, které se ve statistické terminologii říká testovací statistika. Obor všech možných hodnot této náhodné proměnné rozdělíme na tzv. oblast přijetí  $H_0$  a kritickou oblast. Kritickou oblast  $K$  vybíráme tak, že hodnoty t do ní padnou s malou pravděpodobností

$$\alpha = P(t \in K | H_0); \quad (1)$$

nastane-li tento případ, hypotézu  $H_0$  zamítáme. Říkáme, že pomocí testu zamítáme  $H_0$  na hladině významnosti  $\alpha$  (nebo s rizikem  $\alpha$ ). Přitom se můžeme podle (c) nahoru dočпустit s pravděpodobností  $\alpha$  chyby prvního druhu,

Existuje-li k  $H_0$  jediná alternativní hypotéza  $H_1$  (platí právě jedna z nich), můžeme najít pravděpodobnost chyby druhého druhu ( $\beta$ ), tříli neoprávněného přijetí  $H_0$ :

$$\beta = P(t > t_{\alpha} | H_1). \quad (2)$$

Mírou možnosti oddělit  $H_0$  a  $H_1$  je tzv. síla (mohutnost) testu  $1 - \beta$ , která ovšem závisí na  $\alpha$ . Tuto souvislost objasníme v následujícím příkladu.

Příklad testu zvětšení střední hodnoty normálního rozdělení

Uvažujme o následující situaci. Měřením intenzity zdroje záření (elektromagnetického nebo svazku částic) dostáváme náhodné výsledky  $x$  a normálně rozdělené se střední hodnotou  $\mu_0$  a disperzí  $\sigma^2$ . Předpokládejme, že jsme znali  $\mu_0$  a potřebujeme rozhodnout, zda tato hodnota zůstala (hypotéza  $H_0$ ) nebo se zvětšila na  $\mu_1$  (hypotéza  $H_1$ ) po nějaké úpravě zdroje. Budeme postupovat tak, že změříme  $N$ -tici intenzit  $x_1, \dots, x_N$  a spočteme průměr (testovací statistiku)

$$t = \frac{1}{N} \sum_{i=1}^N x_i, \quad (3)$$

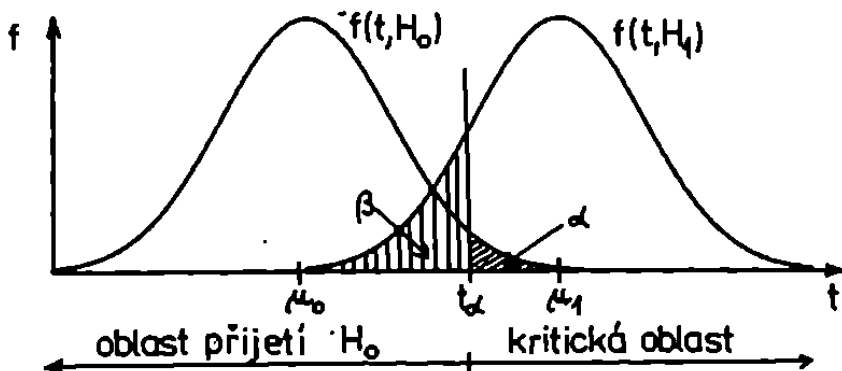
což je podle předpokladu o rozdělení  $x$  náhodná proměnná s rozdělením  $N(\mu_0, \sigma^2/N)$  pokud platí  $H_0$ , respektive  $N(\mu_1, \sigma^2/N)$  pokud platí alternativa  $H_1$ . V obrázku 39 jsou tyto dvě hustoty schematicky nakresleny spolu s plochami, reprezentujícími chyby  $\alpha$  a  $\beta$  při zadané hranici  $t_\alpha$  kritické oblasti. S použitím distribuční funkce (4.5) dostaneme

$$\alpha = P(t > t_\alpha | H_0) = 1 - \Phi\left(\frac{t_\alpha - \mu_0}{\sigma/\sqrt{N}}\right), \quad \beta = P(t < t_\alpha | H_1) = \Phi\left(\frac{t_\alpha - \mu_1}{\sigma/\sqrt{N}}\right). \quad (4)$$

S uvážením důsledků, které má přijetí jedné z hypotéz, je třeba rozhodnout o volbě kritické hodnoty  $t_\alpha$  (tou jsou dány pravděpodobnosti chyb prvého i druhého druhu). S rostoucím počtem naměřených hodnot se rozdělení  $f(t | H_0)$  i  $f(t | H_1)$  zužují a v limitě  $N \rightarrow \infty$  rozhodneme o platnosti jedné z hypotéz s libovolně malým rizikem chyby.

Dá se ukázat, že volba průměru (3) jako testovací statistiky je v tomto případě optimální – při zadaném  $\alpha$  je síla  $1 - \beta$  tohoto testu maximální. (V případě dvou jednoduchých hypotéz existuje nejsilnější test; obecný předpis pro jeho vyhledání udává tzv. Neymanova-Pearsonova věta). Můžeme použít mnoho jiných testů, ale žádný z nich nebude lepší než horší. Například lze testovat počet hodnot  $x_i$ , které jsou větší než  $\mu_0$ ; bude-li mnohem větší než  $N/2$ , platí pravděpodobnost  $H_1$ . Z přesného rozboru tohoto testu zjistíme, že pro dané  $\alpha$  dává větší  $\beta$  než test průměru (vztah (4)).

Přestože bychom mohli v dané situaci testovací veličinu  $t$  chápout



Obr. 39. Hustoty testovací statistiky  $t$  pro dvě hypotézy  $H_0$  a  $H_1$ .

jako odhad střední hodnoty proměnné  $x$ , je její použití v tomto příkladu podstatně jiné. Víme předem, že jsou pouze dvě možnosti (známé hodnoty  $\mu_0$  nebo  $\mu_1$ ) a výsledkem měření je rozhodnutí, kterou z nich vybereme.

#### Testy dobré shody

Teorie testů hypotéz je velmi obsáhlou a propracovanou částí matematické statistiky. Dále se budeme zabývat pouze jedním druhem testů: prověrkou dané hypotézy  $H_0$  vzhledem ke všem jiným možným hypotézám (ne  $H_0$ ). Takové srovnání  $H_0$  a alternativy, jaké jsme použili výše, pak nemá smysl; proti  $H_0$  stojí množina hypotéz, v níž jsou i takové, které vystihují data s libovolnou přesností. Chyba druhého druhu je v této situaci neznámá. Půjde tedy pouze o srovnání předpovědí plynoucích z  $H_0$  s naměřenými daty – tzv. kriteria dobré shody. Ve dvou následujících odstavcích jsou popsány dva z mnoha známých testů.

#### 20. Pearsonův test dobré shody

Předpokládejme, že z  $N$ -tice naměřených hodnot  $x_1, \dots, x_N$  byl sestaven histogram s  $k$  sloupky (buňkami). V  $i$ -tém sloupku jsou hodnoty z intervalu  $(m_i, M_i]$ , jejich počet označíme  $n_i$ ; zřejmě platí

$$\sum_{i=1}^k n_i = N. \quad (1)$$

Počty "událostí"  $n_i$  v buňkách jsou náhodné veličiny s binomickým rozdělením (§ 7). Jsou určeny pravděpodobnostmi  $p_i$  toho, že naměřená hodnota padne do  $i$ -té buňky, neboli rozdělením měřené veličiny  $x$ :

$$p_i = P[x \in (m_i, M_i)] = F(M_i) - F(m_i), \quad i=1, \dots, k. \quad (2)$$

Zde je  $F(x)$  distribuční funkce náhodné proměnné  $x$ . Z hypotézy  $H_0$ , že se  $x$  řídí daným rozdělením, plyne kromě jiného i předpověď pravděpodobností různých počtů v buňkách histogramu. Vhodnou testovací veličinou pro srovnání

nání shody předpovědi a pozorování je

$$T = \sum_{i=1}^k \frac{(n_i - Np_i)^2}{Np_i} . \quad (3)$$

Hodnota T bude tím větší, čím více se budou pozorované počty  $n_i$  lišit od očekávaných středních hodnot  $Np_i$ . T je ovšem náhodná veličina ( $n_i$  jsou náhodné proměnné). Platí-li hypotéza  $H_0$ , má  $n_i$  binomické rozdělení se střední hodnotou  $Np_i$ , které se dá pro větší  $Np_i$  dobře approximovat normální hustotou (§ 7). Jednotlivé sčítance v (3) nejsou nezávislé,  $n_i$  splňují podmíinku (1). Dá se ale ukázat, že veličina T je součtem k-1 kvadrátů nezávislých náhodných proměnných, z nichž každá má přibližně standardní normální rozdělení  $N(0,1)$ . Rozdělení T je tedy přibližně  $\chi^2$  s k-1 stupněm volnosti. Approximace je tím lepší, čím větší jsou očekávané počty  $Np_i$ . Jako podmínka použitelnosti se obvykle uvádí  $Np_i > 5$ , nebo alespoň malý počet (ne více než 20%) intervalů s  $Np_i$  v rozmezí 1 až 5.

Znalosti rozdělení T využijeme k testu hypotézy  $H_0$  pomocí následující úvahy. Je-li pozorovaná hodnota T velká, mohly nastat dva případy:

$H_0$  platí, velká hodnota vyšla náhodou;

$H_0$  neplatí, velká hodnota vyšla proto, že rozdělení dat je jiné.

Rozhodneme se tedy, že  $H_0$  zamítнем, je-li hodnota T dostatečně málo pravděpodobná. Ve statistice se užívá ustáleného způsobu vyjadřování této souvislosti. Hypotézu  $H_0$  zamítáme na hladině významnosti  $\alpha$  (nebo s rizikem  $\alpha$ ), jestliže vyšla hodnota  $T \geq T_\alpha$ , přičemž pravděpodobnost tohoto výsledku je  $\alpha$ :

$$P(T \geq T_\alpha) = 1 - P(T < T_\alpha) = 1 - F_{\chi^2_{k-1}}(T_\alpha) = \alpha . \quad (4)$$

Distribuční funkce  $F_{\chi^2_{k-1}}$  umožňuje najít k zadané pravděpodobnosti  $\alpha$  kritickou hodnotu  $T_\alpha$ . Podle rozdělení, kterým se řídí T, se tomuto testu říká Pearsonovo  $\chi^2$  - kriterium dobré shody.

Přesná hodnota  $\alpha$  hladiny významnosti ve statistickém testu není zřejmě důležitá. Zacházíme se náhodnými jevy a pozorujeme občas i velmi málo pravděpodobné výsledky. Zkušenost však ukažuje, že pravděpodobnosti  $\alpha$  pod ~5% znamenají silný podnět k úvahám o tom, nemá-li být testovaná hypotéza nahrazena nějakou vhodnější.

#### Test při odhadovaných parametrech rozdělení

Zatím jsme předpokládali, že testované rozdělení nezávisí na žádném parametru určovaném z naměřených dat. Pokud ze souboru  $x_1, \dots, x_N$  naměřených hodnot nejprve odhadujeme parametry  $\theta$  distribuční funkce  $F(x)$ , nemá

už proměnná (3) rozdělení  $\chi^2_{k-1}$ . Dá se ukázat, že odhad r-tice parametrů dat sdružených do histogramu vede ke zmenšení počtu stupňů volnosti v  $\chi^2$  - rozdělení proměnné T na k-r-1 (ztrácí se r stupňů volnosti). Je-li odhad založen na výchozích datech, bez sdružení do buněk histogramu, je rozdělení proměnné T někde mezi  $\chi^2_{k-1}$  a  $\chi^2_{k-r-1}$ . Pokud je k dostatečně velké proti r, je rozdíl mezi oběma krajními distribucemi malý a přesnější znalost rozdělení T není nutná.

### Příklad použití $\chi^2$ -testu

Ukážeme použití Pearsonova testu na příkladě dat z obr. 3 - výsledku N=1000-krát opakováního měření propustnosti infračerveným spektrometrem. Budeme testovat hypotézu  $H_0$  tvrdící, že data jsou rozdělena normálně se střední hodnotou  $\hat{\mu}$  a disperzí  $\hat{\sigma}^2$ , odhadnutými metodou maximální věrohodnosti. Vychází

$$\hat{\mu} = 274, \hat{\sigma}^2 = 4624 \quad (\hat{\sigma} \approx 68),$$

pravděpodobnosti (2) dostaneme s pomocí distribuční funkce (4.5) normálního rozdělení s těmito parametry. Pozorovaný a očekávaný počet událostí v histogramu z obr. 3 je spolu s příspěvkem každého sloupu do sumy (3) zapsán do následující tabulky.

i	1	2	3	4	5	6	7	8	9	10
$n_i$	3	1	2	2	6	11	24	20	43	44
$Np_i$	1.45	2.37	3.77	5.78	8.58	12.3	17.1	23.0	29.8	37.5
$\chi^2$	1.67	0.79	0.83	2.47	0.78	0.14	2.77	0.39	5.81	1.14
i	11	12	13	14	15	16	17	18	19	20
$n_i$	42	55	55	72	72	73	69	75	63	50
$Np_i$	45.5	53.5	60.7	66.7	70.9	72.8	72.4	69.6	64.7	58.1
$\chi^2$	0.27	0.04	0.54	0.42	0.02	0.00	0.16	0.43	0.04	1.13
i	21	22	23	24	25	26	27	28	29	30
$n_i$	46	31	27	36	18	23	14	10	3	10
$Np_i$	50.5	42.5	34.5	27.2	20.7	15.2	10.8	7.43	4.94	3.18
$\chi^2$	0.41	3.10	1.65	2.88	0.34	4.02	0.95	0.89	0.76	14.6

Hodnota T podle (3) je 49.4. Protože jeme dva parametry odhadovali, je rozdělení náhodné proměnné T podle předchozího výkladu ohrazeno distribucemi  $\chi^2_{29}$  a  $\chi^2_{27}$ .

S pomocí tabulek v dodatku D1 můžeme formulovat výsledek testu - hypotézu

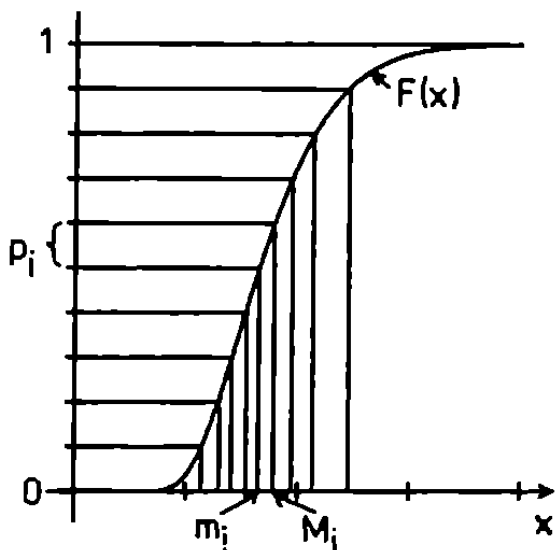
$H_0$  zamítáme s malým rizikem  $\alpha \approx 0.01$  (kritická hodnota  $T_{0.01}$  je asi 49.6 pro 29 stupňů volnosti).

Podíváme-li se pozorně do hořejší tabulky, všimneme si nápadně velkého příspěvku poslední buňky do  $T$ . Kdyby v ní bylo jen o několik událostí méně, třeba místo deseti jen pět, vyšla by hodnota  $T$  zhruba 36; pak by hypotéza o normálním rozdělení byla zamítnuta  $\chi^2$ -testem na hledině větší než 0.1 (viz D1). Při takovém výsledku býváme obvykle s hypotézou spokojeni. Pravděpodobně nejlepší vysvětlení těchto faktů je takové, že normální rozdělení skutečně dobře vystihuje registrovaná data. V průběhu 1000-krát opakovaného měření došlo asi k rušivému zásahu, při kterém bylo naměřeno několik příliš velkých hodnot (typické jsou náhodné impulzy v elektrické síti). V § 21 budeme testovat normalitu jedné menší části dat z obr. 3 (150 bodů) jiným testem; výsledek - dobrá shoda s hypotézou - hořejší závěry podporuje.

#### Volba buněk histogramu

Při sdružování naměřených dat do histogramu se ztrácí část informace (o rozdělení hodnot uvnitř jednotlivých buněk). To je nežádoucí jev, který ovlivňuje i kvalitu Pearsonova testu. Příliš jemné dělení intervalu vede zase k malému počtu událostí v buňkách a  $\chi^2$ -test nelze použít. Základní pravidlo pro optimální volbu buněk říká, že pravděpodobnosti (2) mají být stejné. Interval  $\langle 0,1 \rangle$  funkčních hodnot distribuční funkce  $F(x)$  je tedy

třeba rozdělit na  $k$  stejně velkých dílů a odečíst odpovídající argumenty jako hranice sousedních buněk (obr. 40). Optimální volba počtu buněk k vychází z požadavku maximální mohutnosti kriteria a je poměrně komplikovaná [14]. Spokojíme se s konstatováním, že optimální  $k$  roste s počtem dat  $N$  jako  $N^{2/5}$  a pro  $N=200$  je doporučená hodnota  $k \approx 30$ , pro  $N=500$  zhruba  $k \approx 43$ . Histogram z obr. 3, který jeme použili v hořejším příkladu, nebyl z hlediska testu vybrán správně. Chtěli jeme však zachovat podobnost s hustotou pravděpodobnosti a proto byly zvoleny stejné velikosti buněk.



Obr. 40. Volba buněk histogramu se stejnou pravděpodobností.

## 21. Kolmogorovův test dobré shody

Při vytvoření histogramu z naměřených údajů se část informace ztrácí, proto je lepší testovat hypotézu o rozdělení dat bez sdružování do buněk ("třídních intervalů" ve statistické terminologii). Úspěšná kriteria jsou založena na sledování odchylek empirické a hypotetické distribuční funkce. Empirická distribuční funkce  $S_N(x)$  souboru  $x_1, \dots, x_N$  je po částech konstantní se skokem velikosti  $1/N$  v každé naměřené hodnotě. Označíme-li  $x(1), \dots, x(N)$  naměřené údaje uspořádané podle velikosti od nejmenšího k největšímu, je

$$S_N(x) = \begin{cases} 0 & \text{pro } x < x(1), \\ i/N & \text{pro } x \in (x(i), x(i+1)), i=1, \dots, N-1, \\ 1 & \text{pro } x \geq x(N). \end{cases} \quad (1)$$

Tuto empirickou distribuční funkci jeme už použili v § 11 pro kvalitativní srovnání s hypotetickou distribuční funkcí  $F(x)$ .

Vhodnou mírou odlišnosti  $S_N(x)$  a  $F(x)$  je maximum odchylky

$$D_N = \max_x |S_N(x) - F(x)|. \quad (2)$$

Hodnota  $D_N$  se celkem snadno spočte, protože maximum rozdílu  $S_N(x) - F(x)$  nastává v některém z naměřených bodů  $x(1), \dots, x(N)$ .  $D_N$  je náhodná proměnná která má za předpokladu platnosti hypotézy o rozdělení  $F(x)$  asymptotickou distribuční funkci

$$F_K(z) = \lim_{N \rightarrow \infty} P\left[\sqrt{N} D_N > z\right] = 2 \sum_{r=1}^{\infty} (-1)^{r-1} \exp(-2r^2 z^2). \quad (3)$$

Průběh funkce  $F_K(z)$  je v obr. 41; obvykle se předpokládá, že proměnná  $\sqrt{N} D_N$  má asymptotické rozdělení (3) s dostatečnou přesností už při  $N \geq 80$ .

V Kolmogorovově testu posuzujeme pozorovanou hodnotu  $\sqrt{N} D_N$ . Vyjde-li příliš velká, zamítne hypotézu o rozdělení dat podle  $F(x)$ : pro

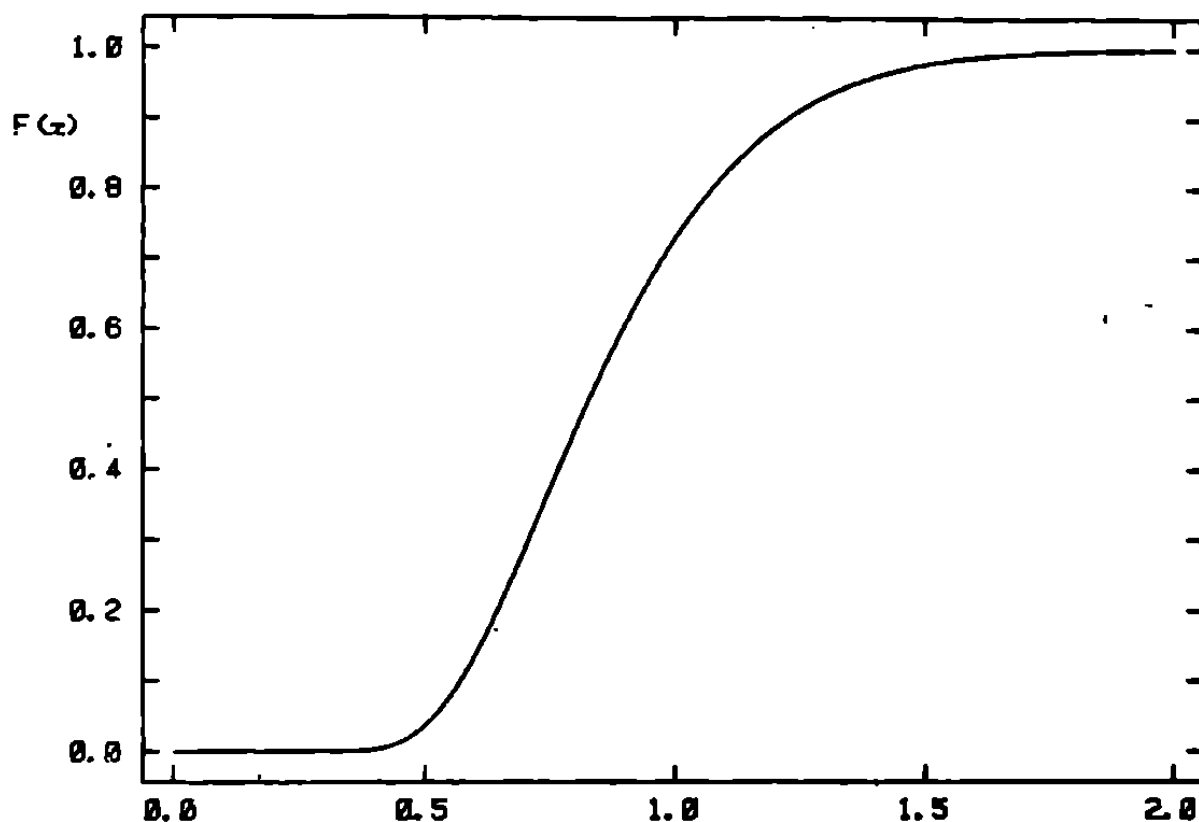
$$\sqrt{N} D_N > z_\alpha, \text{ kde } F_K(z_\alpha) = 1 - \alpha, \quad (4)$$

zamítáme hypotézu na úrovni  $\alpha$  (s rizikem  $\alpha$ ). Kritické hodnoty jsou např.

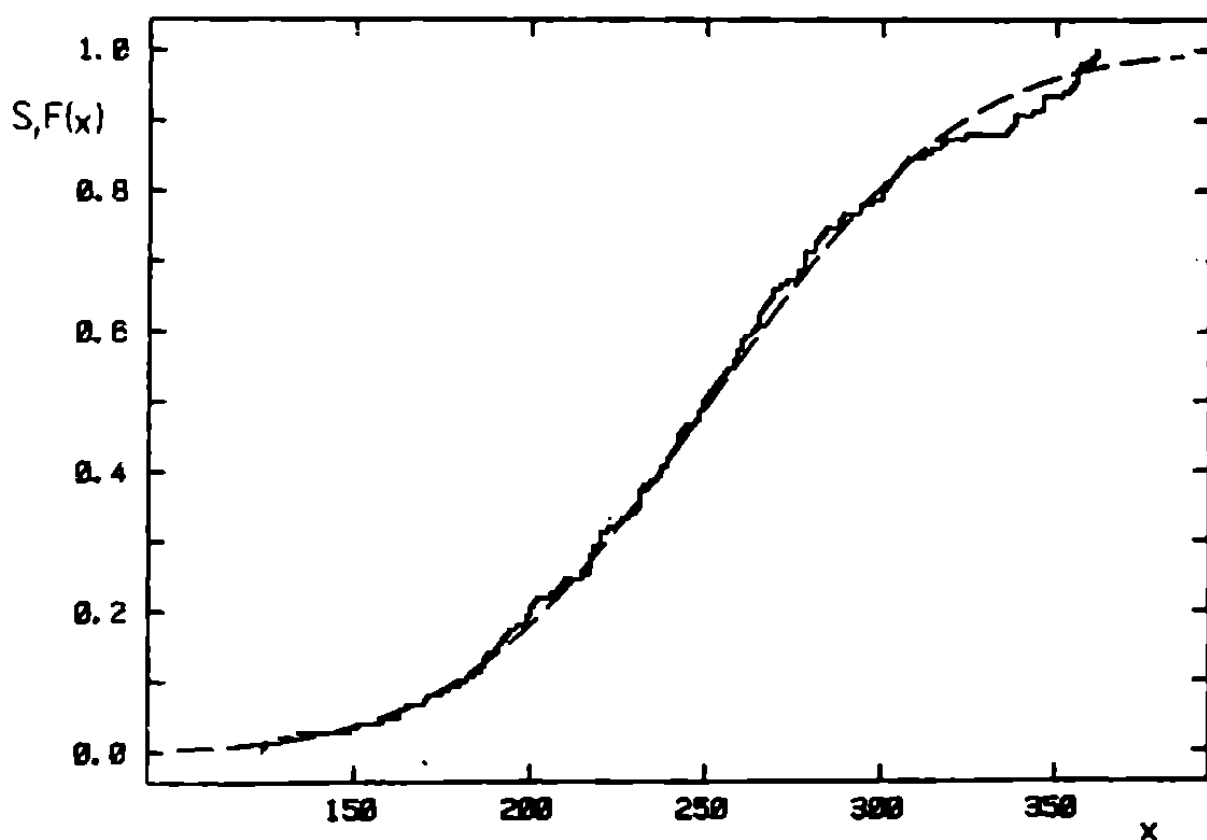
$$z_{0.01} = 1.63, \quad z_{0.05} = 1.36, \quad z_{0.1} = 1.22. \quad (5)$$

### Test normality rozdělení dat z § 11 - měření času

Ukážeme funkci testu v případě dat z obr. 24 (§ 11). Maximální odchylka mezi empirickou distribuční funkci a čárkované nakreslenou hypotetickou normální distribuční funkci je  $D_{200} = 0.0513$ ; testovaná hodnota  $\sqrt{200} D_{200} = 0.725$  padá podle obrázku 41 do oblasti hodnot velmi pravděpodobných. Hladina významnosti pro  $z_\alpha = 0.725$  je  $\alpha = 1 - F(z_\alpha) = 0.67$ , riziko při



Obr. 41. Distribuční funkce (21.3) Kolmogorovova kriteria.



Obr. 42. Empirické distribuční funkce prvních 150-ti hodnot ze souboru dat z infračerveného spektrometru (§ 2, obr. 3), plná čára.  
Normální distribuční funkce, čárkováná čára.

zamítnutí hypotézy daného normálního rozdělení je příliš velké. Připomene  
me ještě, že není možné uvažovat tak, že shoda s hypotézou je tím lepší,  
čím menší je testovaná hodnota  $\sqrt{N} D_N$ . Jde o hodnotu náhodné proměnné, kte-  
rá podle obr. 41 padá s velkou pravděpodobností do intervalu mezi 0.5 a  
1.5; pravděpodobnost výsledku  $\sqrt{N} D_N < 0.25$  je prakticky nulová ( $\sim 3 \times 10^{-8}$ ).

Test normality dat ze spektrometru

Z tisíce hodnot použitých v příkladu  $\chi^2$  - testu v § 20 jsme vybrali  
prvních 150 a vypočetli maximální odchylku empirické a hypotetické distri-  
buční funkce (obr. 42):  $D_{150} = 0.0538$ . Riziko při zamítnutí hypotézy o  
normálním rozdělení je pro  $z_\alpha = \sqrt{150} D_{150} = 0.659$  zhruba  $\alpha = 0.78$ , tedy ne-  
přípustně velké. Shodu v obr. 42 posuzujeme jako velmi dobrou, pozornost  
může vzbudit odchylka v intervalu hodnot 300  $\div$  350. Kolmogorovův test říká,  
že odchylky takové velikosti nastávají často.

Dodatek

Dl.  $\chi^2$  - rozdělení

V tabulce jsou hodnoty  $x_p$ , pro které je pravděpodobnost  
 $P(x < x_p) = F_{\chi_n^2}(x_p) = P$ , v závislosti na počtu stupňů volnosti n  
 a pravděpodobnosti P.

n	P, 0.050	0.100	0.200	0.500	0.683	0.900	0.954	0.980	0.990
1	0.004	0.016	0.064	0.455	1.001	2.705	3.981	5.411	6.632
2	0.103	0.211	0.446	1.386	2.298	4.605	6.158	7.824	9.210
3	0.352	0.584	1.005	2.366	3.529	6.251	8.000	9.837	11.34
4	0.711	1.064	1.649	3.357	4.722	7.779	9.689	11.67	13.28
5	1.145	1.610	2.343	4.351	5.891	9.236	11.29	13.39	15.09
6	1.635	2.204	3.070	5.348	7.042	10.64	12.82	15.03	16.81
7	2.167	2.833	3.822	6.346	8.180	12.02	14.31	16.62	18.48
8	2.733	3.490	4.594	7.344	9.308	13.36	15.76	18.17	20.09
9	3.325	4.168	5.380	8.343	10.43	14.68	17.18	19.68	21.67
10	3.940	4.865	6.179	9.342	11.54	15.99	18.58	21.16	23.21
11	4.575	5.578	6.989	10.34	12.65	17.28	19.95	22.62	24.72
12	5.226	6.304	7.807	11.34	13.75	18.55	21.31	24.05	26.22
13	5.892	7.042	8.634	12.34	14.85	19.81	22.66	25.47	27.69
14	6.571	7.790	9.467	13.34	15.94	21.06	23.99	26.87	29.14
15	7.261	8.547	10.31	14.34	17.03	22.31	25.30	28.26	30.58
16	7.962	9.312	11.15	15.34	18.12	23.54	26.61	29.63	32.00
17	8.672	10.09	12.00	16.34	19.20	24.77	27.91	31.00	33.41
18	9.390	10.86	12.86	17.34	20.29	25.99	29.20	32.35	34.81
19	10.12	11.65	13.72	18.34	21.36	27.20	30.48	33.69	36.19
20	10.85	12.44	14.58	19.34	22.44	28.41	31.75	35.02	37.57
21	11.59	13.24	15.44	20.34	23.52	29.62	33.02	36.34	38.93
22	12.34	14.04	16.31	21.34	24.59	30.81	34.28	37.66	40.29
23	13.09	14.85	17.19	22.34	25.66	32.01	35.53	38.97	41.64
24	13.85	15.66	18.06	23.34	26.73	33.20	36.78	40.27	42.98
25	14.61	16.47	18.94	24.34	27.80	34.38	38.03	41.57	44.31
26	15.38	17.29	19.82	25.34	28.87	35.56	39.26	42.86	45.64
27	16.15	18.11	20.70	26.34	29.94	36.74	40.50	44.14	46.96
28	16.93	18.94	21.59	27.34	31.00	37.92	41.73	45.42	48.28
29	17.71	19.77	22.48	28.34	32.07	39.09	42.95	46.69	49.59
30	18.49	20.60	23.36	29.34	33.13	40.26	44.17	47.96	50.89
31	19.28	21.43	24.26	30.34	34.19	41.42	45.39	49.23	52.19
32	20.07	22.27	25.15	31.34	35.25	42.58	46.60	50.49	53.49
33	20.87	23.11	26.04	32.34	36.31	43.75	47.81	51.74	54.78
34	21.66	23.95	26.94	33.34	37.37	44.90	49.02	53.00	56.06
35	22.47	24.80	27.84	34.34	38.43	46.06	50.23	54.24	57.34
36	23.27	25.64	28.73	35.34	39.48	47.21	51.43	55.49	58.62
37	24.07	26.49	29.64	36.34	40.54	48.36	52.63	56.73	59.89
38	24.88	27.34	30.54	37.34	41.60	49.51	53.82	57.97	61.16
39	25.70	28.20	31.44	38.34	42.65	50.66	55.02	59.20	62.43
40	26.51	29.05	32.34	39.34	43.70	51.81	56.21	60.44	63.69
41	27.33	29.91	33.25	40.34	44.76	52.95	57.39	61.67	64.95
42	28.14	30.77	34.16	41.34	45.81	54.09	58.58	62.89	66.21
43	28.96	31.63	35.07	42.34	46.86	55.23	59.76	64.12	67.46
44	29.79	32.49	35.97	43.34	47.91	56.37	60.95	65.34	68.71
45	30.61	33.35	36.88	44.34	48.96	57.51	62.13	66.56	69.96
46	31.44	34.22	37.80	45.34	50.02	58.64	63.30	67.77	71.20
47	32.27	35.08	38.71	46.34	51.06	59.77	64.48	68.99	72.44
48	33.10	35.95	39.62	47.34	52.11	60.91	65.65	70.20	73.68
49	33.93	36.82	40.53	48.33	53.16	62.04	66.82	71.41	74.92
50	34.76	37.69	41.45	49.33	54.21	63.17	67.99	72.61	76.15

D2. Studentovo rozdělení

V tabulce jsou hodnoty  $t_p$ , pro které je pravděpodobnost  $P(|t| < t_p) = F_n(t_p) - F_n(-t_p) = P$ , v závislosti na počtu stupňů volnosti  $n$  a pravděpodobnosti  $P$ .

$P$	0.050	0.100	0.200	0.500	0.683	0.900	0.954	0.980	0.990
1	0.079	0.158	0.325	1.000	1.839	6.314	13.82	31.82	63.66
2	0.071	0.142	0.289	0.816	1.322	2.920	4.500	6.965	9.925
3	0.068	0.137	0.277	0.765	1.198	2.353	3.292	4.541	5.841
4	0.067	0.134	0.271	0.741	1.142	2.132	2.858	3.747	4.604
5	0.066	0.132	0.267	0.727	1.111	2.015	2.640	3.365	4.032
6	0.065	0.131	0.265	0.718	1.091	1.943	2.508	3.143	3.707
7	0.065	0.130	0.263	0.711	1.077	1.895	2.421	2.998	3.499
8	0.065	0.130	0.262	0.706	1.067	1.860	2.359	2.896	3.355
9	0.064	0.129	0.261	0.703	1.059	1.833	2.313	2.821	3.250
10	0.064	0.129	0.260	0.700	1.053	1.812	2.277	2.764	3.169
11	0.064	0.129	0.260	0.697	1.048	1.796	2.249	2.718	3.106
12	0.064	0.128	0.259	0.695	1.044	1.782	2.225	2.681	3.055
13	0.064	0.128	0.259	0.694	1.041	1.771	2.206	2.650	3.012
14	0.064	0.128	0.258	0.692	1.038	1.761	2.189	2.624	2.977
15	0.064	0.128	0.258	0.691	1.035	1.753	2.175	2.602	2.947
16	0.064	0.128	0.258	0.690	1.033	1.746	2.163	2.583	2.921
17	0.064	0.128	0.257	0.689	1.031	1.740	2.153	2.567	2.898
18	0.064	0.127	0.257	0.688	1.029	1.734	2.143	2.552	2.878
19	0.064	0.127	0.257	0.688	1.028	1.729	2.135	2.539	2.861
20	0.063	0.127	0.257	0.687	1.026	1.725	2.128	2.528	2.845
21	0.063	0.127	0.257	0.686	1.025	1.721	2.121	2.518	2.831
22	0.063	0.127	0.256	0.686	1.024	1.717	2.115	2.508	2.819
23	0.063	0.127	0.256	0.685	1.023	1.714	2.109	2.500	2.807
24	0.063	0.127	0.256	0.685	1.022	1.711	2.104	2.492	2.797
25	0.063	0.127	0.256	0.684	1.021	1.708	2.100	2.485	2.787
26	0.063	0.127	0.256	0.684	1.020	1.706	2.096	2.479	2.779
27	0.063	0.127	0.256	0.684	1.020	1.703	2.092	2.473	2.771
28	0.063	0.127	0.256	0.683	1.019	1.701	2.088	2.467	2.763
29	0.063	0.127	0.256	0.683	1.018	1.699	2.085	2.462	2.756
30	0.063	0.127	0.256	0.683	1.018	1.697	2.082	2.457	2.750
31	0.063	0.127	0.256	0.682	1.017	1.696	2.079	2.453	2.744
32	0.063	0.127	0.255	0.682	1.017	1.694	2.076	2.449	2.738
33	0.063	0.127	0.255	0.682	1.016	1.692	2.074	2.445	2.733
34	0.063	0.127	0.255	0.682	1.016	1.691	2.071	2.441	2.728
35	0.063	0.127	0.255	0.682	1.015	1.690	2.069	2.438	2.724
36	0.063	0.127	0.255	0.681	1.015	1.688	2.067	2.434	2.719
37	0.063	0.127	0.255	0.681	1.014	1.687	2.065	2.431	2.715
38	0.063	0.127	0.255	0.681	1.014	1.686	2.063	2.429	2.712
39	0.063	0.126	0.255	0.681	1.014	1.685	2.061	2.426	2.708
40	0.063	0.126	0.255	0.681	1.013	1.684	2.059	2.423	2.704
41	0.063	0.126	0.255	0.681	1.013	1.683	2.058	2.421	2.701
42	0.063	0.126	0.255	0.680	1.013	1.682	2.056	2.418	2.698
43	0.063	0.126	0.255	0.680	1.012	1.681	2.055	2.416	2.695
44	0.063	0.126	0.255	0.680	1.012	1.680	2.053	2.414	2.692
45	0.063	0.126	0.255	0.680	1.012	1.679	2.052	2.412	2.690
46	0.063	0.126	0.255	0.680	1.012	1.679	2.051	2.410	2.687
47	0.063	0.126	0.255	0.680	1.011	1.678	2.050	2.408	2.685
48	0.063	0.126	0.255	0.680	1.011	1.677	2.049	2.407	2.682
49	0.063	0.126	0.255	0.680	1.011	1.677	2.047	2.405	2.680
50	0.063	0.126	0.255	0.679	1.011	1.676	2.046	2.403	2.678

D3. F- rozdělení

V tabulce jsou hodnoty  $x_p$ , pro které je pravděpodobnost  $P(x < x_p) = F_{m,m'}(x_p) = P$ , v závislosti na počtech stupňů volnosti  $m$ ,  $m'$  a pravděpodobnosti  $P$ .

		m= 2									
		P:	0.050	0.100	0.200	0.500	0.683	0.900	0.954	0.980	0.990
m'											
5	0.052	0.108	0.233	0.799	1.458	3.780	6.067	9.454	13.27		
10	0.052	0.106	0.228	0.743	1.292	2.924	4.256	5.934	7.559		
15	0.051	0.106	0.226	0.726	1.242	2.695	3.807	5.135	6.359		
20	0.051	0.106	0.226	0.718	1.217	2.589	3.606	4.788	5.849		
25	0.051	0.106	0.225	0.713	1.203	2.528	3.492	4.593	5.568		
30	0.051	0.106	0.225	0.709	1.194	2.489	3.418	4.470	5.390		
35	0.051	0.106	0.225	0.707	1.187	2.461	3.367	4.384	5.268		
40	0.051	0.106	0.224	0.705	1.182	2.440	3.329	4.321	5.179		
50	0.051	0.106	0.224	0.703	1.176	2.412	3.277	4.235	5.057		
60	0.051	0.106	0.224	0.701	1.171	2.393	3.243	4.179	4.977		
70	0.051	0.106	0.224	0.700	1.168	2.380	3.219	4.139	4.922		
80	0.051	0.105	0.224	0.699	1.166	2.370	3.201	4.110	4.881		
90	0.051	0.105	0.224	0.699	1.164	2.363	3.187	4.087	4.849		
100	0.051	0.105	0.224	0.698	1.162	2.356	3.176	4.069	4.824		
		m= 3									
		P:	0.050	0.100	0.200	0.500	0.683	0.900	0.954	0.980	0.990
m'											
5	0.111	0.188	0.337	0.907	1.523	3.619	5.659	8.669	12.06		
10	0.114	0.191	0.336	0.845	1.337	2.728	3.835	5.218	6.551		
15	0.115	0.192	0.335	0.826	1.281	2.490	3.388	4.447	5.416		
20	0.115	0.193	0.335	0.816	1.254	2.380	3.187	4.113	4.937		
25	0.116	0.193	0.335	0.811	1.238	2.317	3.074	3.927	4.675		
30	0.116	0.193	0.335	0.807	1.227	2.276	3.001	3.809	4.509		
35	0.116	0.194	0.335	0.804	1.220	2.247	2.950	3.727	4.395		
40	0.116	0.194	0.335	0.802	1.214	2.226	2.913	3.667	4.312		
50	0.117	0.194	0.335	0.800	1.207	2.197	2.862	3.585	4.199		
60	0.117	0.194	0.335	0.798	1.201	2.177	2.828	3.532	4.125		
70	0.117	0.194	0.335	0.796	1.198	2.164	2.804	3.494	4.074		
80	0.117	0.194	0.335	0.795	1.195	2.153	2.787	3.466	4.036		
90	0.117	0.194	0.335	0.795	1.193	2.146	2.773	3.445	4.006		
100	0.117	0.194	0.335	0.794	1.191	2.139	2.762	3.428	3.983		
		m= 4									
		P:	0.050	0.100	0.200	0.500	0.683	0.900	0.954	0.980	0.990
m'											
5	0.160	0.247	0.404	0.965	1.552	3.520	5.426	8.233	11.39		
10	0.168	0.255	0.407	0.899	1.353	2.605	3.591	4.816	5.994		
15	0.171	0.258	0.408	0.878	1.293	2.361	3.143	4.058	4.893		
20	0.172	0.260	0.409	0.868	1.264	2.249	2.942	3.731	4.431		
25	0.173	0.261	0.410	0.862	1.247	2.184	2.829	3.549	4.177		
30	0.174	0.262	0.410	0.858	1.235	2.142	2.756	3.434	4.018		
35	0.175	0.262	0.410	0.856	1.227	2.113	2.706	3.354	3.908		
40	0.175	0.263	0.410	0.854	1.221	2.091	2.668	3.295	3.828		
50	0.175	0.263	0.411	0.851	1.213	2.061	2.617	3.215	3.720		
60	0.176	0.264	0.411	0.849	1.208	2.041	2.583	3.163	3.649		
70	0.176	0.264	0.411	0.847	1.204	2.027	2.560	3.127	3.600		
80	0.176	0.264	0.411	0.846	1.201	2.016	2.542	3.100	3.563		
90	0.176	0.265	0.411	0.846	1.199	2.008	2.528	3.079	3.535		
100	0.177	0.265	0.411	0.845	1.197	2.002	2.517	3.062	3.513		

m = 5

P	0.050	0.100	0.200	0.500	0.683	0.900	0.954	0.980	0.990
m'									
5	0.198	0.290	0.449	1.000	1.567	3.453	5.273	7.953	10.97
10	0.211	0.303	0.456	0.932	1.359	2.522	3.429	4.555	5.636
15	0.217	0.309	0.460	0.911	1.296	2.273	2.980	3.805	4.556
20	0.219	0.312	0.462	0.900	1.266	2.158	2.779	3.482	4.103
25	0.221	0.314	0.463	0.894	1.248	2.092	2.665	3.302	3.855
30	0.222	0.315	0.464	0.890	1.236	2.049	2.592	3.188	3.699
35	0.223	0.316	0.464	0.887	1.228	2.019	2.541	3.109	3.592
40	0.224	0.317	0.465	0.885	1.221	1.997	2.504	3.051	3.514
50	0.225	0.318	0.466	0.882	1.213	1.966	2.452	2.972	3.408
60	0.226	0.318	0.466	0.880	1.207	1.946	2.419	2.921	3.339
70	0.226	0.319	0.466	0.879	1.203	1.931	2.395	2.885	3.291
80	0.227	0.319	0.467	0.878	1.200	1.921	2.377	2.858	3.255
90	0.227	0.320	0.467	0.877	1.197	1.912	2.364	2.837	3.228
100	0.227	0.320	0.467	0.876	1.195	1.906	2.353	2.821	3.206

m = 6

P	0.050	0.100	0.200	0.500	0.683	0.900	0.954	0.980	0.990
m'									
5	0.228	0.322	0.482	1.024	1.576	3.405	5.166	7.758	10.67
10	0.246	0.340	0.493	0.954	1.362	2.461	3.314	4.371	5.386
15	0.254	0.348	0.498	0.933	1.297	2.208	2.863	3.626	4.318
20	0.258	0.353	0.501	0.922	1.265	2.091	2.661	3.304	3.871
25	0.261	0.355	0.503	0.916	1.246	2.024	2.547	3.126	3.627
30	0.263	0.357	0.504	0.912	1.234	1.980	2.474	3.012	3.473
35	0.264	0.359	0.505	0.909	1.225	1.950	2.423	2.934	3.368
40	0.265	0.360	0.506	0.907	1.219	1.927	2.385	2.877	3.291
50	0.266	0.361	0.507	0.903	1.210	1.895	2.333	2.798	3.186
60	0.267	0.362	0.508	0.901	1.204	1.875	2.299	2.747	3.119
70	0.268	0.363	0.508	0.900	1.199	1.860	2.275	2.711	3.071
80	0.269	0.363	0.509	0.899	1.196	1.849	2.257	2.685	3.036
90	0.269	0.364	0.509	0.898	1.194	1.841	2.244	2.664	3.009
100	0.269	0.364	0.509	0.897	1.192	1.834	2.233	2.648	2.988

m = 7

P	0.050	0.100	0.200	0.500	0.683	0.900	0.954	0.980	0.990
m'									
5	0.252	0.347	0.507	1.041	1.583	3.368	5.086	7.614	10.46
10	0.275	0.370	0.521	0.971	1.363	2.414	3.228	4.235	5.200
15	0.285	0.380	0.528	0.949	1.296	2.158	2.775	3.492	4.142
20	0.290	0.385	0.532	0.938	1.263	2.040	2.572	3.171	3.699
25	0.294	0.389	0.535	0.931	1.244	1.971	2.457	2.993	3.457
30	0.296	0.391	0.536	0.927	1.231	1.927	2.384	2.880	3.304
35	0.298	0.393	0.538	0.924	1.222	1.896	2.332	2.802	3.200
40	0.299	0.394	0.539	0.922	1.215	1.873	2.294	2.745	3.124
50	0.301	0.396	0.540	0.919	1.206	1.840	2.242	2.667	3.020
60	0.303	0.398	0.541	0.917	1.200	1.819	2.208	2.616	2.953
70	0.304	0.399	0.542	0.915	1.195	1.804	2.184	2.580	2.906
80	0.304	0.399	0.542	0.914	1.192	1.793	2.166	2.553	2.871
90	0.305	0.400	0.543	0.913	1.189	1.785	2.152	2.533	2.845
100	0.305	0.400	0.543	0.913	1.187	1.778	2.141	2.517	2.823

m= 8

P	0.050	0.100	0.200	0.500	0.683	0.900	0.954	0.980	0.990
m'	5	10	15	20	25	30	35	40	50
	0.271	0.367	0.526	1.055	1.587	3.339	5.025	7.503	10.29
5	0.299	0.394	0.544	0.983	1.363	2.377	3.161	4.129	5.057
10	0.311	0.406	0.552	0.960	1.295	2.119	2.706	3.387	4.004
15	0.317	0.412	0.557	0.950	1.261	1.999	2.502	3.067	3.564
20	0.322	0.417	0.560	0.943	1.241	1.929	2.387	2.890	3.324
25	0.325	0.420	0.562	0.939	1.228	1.884	2.312	2.777	3.173
30	0.327	0.422	0.564	0.936	1.219	1.852	2.260	2.699	3.069
35	0.329	0.423	0.565	0.934	1.212	1.829	2.222	2.641	2.993
40	0.331	0.426	0.567	0.930	1.202	1.796	2.170	2.563	2.890
50	0.333	0.428	0.568	0.928	1.196	1.775	2.135	2.512	2.823
60	0.334	0.429	0.569	0.927	1.191	1.760	2.111	2.476	2.777
70	0.335	0.430	0.569	0.926	1.188	1.748	2.093	2.450	2.742
80	0.336	0.430	0.570	0.925	1.185	1.739	2.079	2.429	2.715
90	0.336	0.431	0.570	0.924	1.183	1.732	2.068	2.413	2.694
100	0.336	0.431	0.570	0.924	1.183	1.732	2.068	2.413	2.694

m= 9

P	0.050	0.100	0.200	0.500	0.683	0.900	0.954	0.980	0.990
m'	5	10	15	20	25	30	35	40	50
	0.287	0.383	0.542	1.065	1.590	3.316	4.976	7.415	10.16
5	0.319	0.414	0.562	0.992	1.363	2.347	3.107	4.044	4.942
10	0.333	0.427	0.572	0.970	1.293	2.086	2.650	3.303	3.895
15	0.341	0.435	0.577	0.959	1.259	1.965	2.445	2.984	3.457
20	0.346	0.440	0.581	0.952	1.239	1.895	2.329	2.806	3.217
25	0.349	0.444	0.583	0.948	1.225	1.849	2.254	2.693	3.067
30	0.352	0.446	0.585	0.945	1.216	1.817	2.202	2.615	2.963
35	0.354	0.448	0.587	0.943	1.208	1.793	2.164	2.558	2.888
40	0.357	0.451	0.589	0.940	1.198	1.760	2.111	2.479	2.785
50	0.359	0.453	0.590	0.937	1.192	1.738	2.076	2.428	2.718
60	0.360	0.454	0.591	0.936	1.187	1.723	2.051	2.392	2.672
70	0.361	0.455	0.592	0.935	1.183	1.711	2.033	2.366	2.637
80	0.362	0.456	0.593	0.934	1.181	1.702	2.019	2.345	2.611
90	0.363	0.457	0.593	0.933	1.178	1.695	2.008	2.329	2.590
100	0.363	0.457	0.593	0.933	1.178	1.695	2.008	2.329	2.590

m=10

P	0.050	0.100	0.200	0.500	0.683	0.900	0.954	0.980	0.990
m'	5	10	15	20	25	30	35	40	50
	0.301	0.397	0.555	1.073	1.592	3.297	4.936	7.344	10.05
5	0.336	0.431	0.578	1.000	1.363	2.323	3.062	3.975	4.849
10	0.351	0.446	0.588	0.977	1.291	2.059	2.604	3.235	3.805
15	0.360	0.454	0.594	0.966	1.257	1.937	2.398	2.915	3.368
20	0.366	0.460	0.599	0.960	1.236	1.866	2.281	2.737	3.129
25	0.370	0.464	0.601	0.955	1.222	1.819	2.206	2.624	2.979
30	0.373	0.467	0.603	0.952	1.212	1.787	2.154	2.546	2.876
35	0.376	0.469	0.605	0.950	1.205	1.763	2.115	2.488	2.801
40	0.379	0.472	0.607	0.947	1.195	1.729	2.061	2.410	2.698
50	0.382	0.475	0.609	0.945	1.188	1.707	2.026	2.359	2.632
60	0.383	0.476	0.610	0.943	1.183	1.691	2.002	2.323	2.585
70	0.385	0.477	0.611	0.942	1.180	1.680	1.983	2.296	2.551
80	0.386	0.478	0.612	0.941	1.177	1.670	1.969	2.275	2.524
90	0.386	0.479	0.613	0.940	1.174	1.663	1.958	2.259	2.503
100	0.386	0.479	0.613	0.940	1.174	1.663	1.958	2.259	2.503

$m=12$

$P$	0.050	0.100	0.200	0.500	0.683	0.900	0.954	0.980	0.990
5	0.322	0.418	0.575	1.085	1.596	3.266	4.674	7.235	9.888
10	0.363	0.457	0.601	1.012	1.361	2.294	2.994	3.868	4.706
15	0.332	0.475	0.614	0.989	1.288	2.017	2.532	3.128	3.666
20	0.393	0.486	0.622	0.977	1.253	1.892	2.325	2.808	3.231
25	0.400	0.492	0.627	0.971	1.231	1.820	2.207	2.629	2.993
30	0.405	0.497	0.630	0.966	1.217	1.773	2.130	2.516	2.843
35	0.409	0.501	0.633	0.963	1.207	1.739	2.077	2.437	2.740
40	0.412	0.503	0.635	0.961	1.199	1.715	2.039	2.380	2.665
50	0.416	0.508	0.638	0.958	1.189	1.630	1.984	2.301	2.562
60	0.419	0.510	0.640	0.956	1.181	1.657	1.948	2.249	2.496
70	0.422	0.512	0.641	0.954	1.176	1.641	1.923	2.213	2.450
30	0.423	0.514	0.642	0.953	1.173	1.629	1.904	2.186	2.415
90	0.425	0.515	0.643	0.952	1.170	1.620	1.890	2.165	2.389
100	0.426	0.516	0.644	0.951	1.167	1.612	1.879	2.149	2.368

$m=16$

$P$	0.050	0.100	0.200	0.500	0.683	0.900	0.954	0.980	0.990
5	0.351	0.446	0.600	1.101	1.599	3.230	4.795	7.095	9.680
10	0.401	0.493	0.633	1.026	1.359	2.233	2.904	3.730	4.520
15	0.425	0.515	0.649	1.003	1.283	1.961	2.438	2.988	3.485
20	0.439	0.529	0.658	0.992	1.246	1.833	2.227	2.666	3.051
25	0.449	0.538	0.665	0.985	1.223	1.758	2.107	2.487	2.813
30	0.456	0.544	0.669	0.980	1.208	1.709	2.029	2.372	2.663
35	0.461	0.549	0.673	0.977	1.198	1.674	1.974	2.293	2.560
40	0.465	0.552	0.675	0.975	1.190	1.649	1.934	2.234	2.484
50	0.471	0.558	0.679	0.972	1.178	1.613	1.878	2.154	2.382
60	0.475	0.561	0.682	0.969	1.171	1.589	1.842	2.102	2.315
70	0.478	0.564	0.684	0.968	1.165	1.572	1.816	2.065	2.268
30	0.480	0.566	0.685	0.967	1.161	1.559	1.796	2.038	2.233
90	0.482	0.568	0.687	0.966	1.158	1.550	1.781	2.017	2.206
100	0.483	0.569	0.688	0.965	1.156	1.542	1.769	2.000	2.185

$m=20$

$P$	0.050	0.100	0.200	0.500	0.683	0.900	0.954	0.980	0.990
5	0.369	0.463	0.617	1.111	1.601	3.207	4.747	7.009	9.553
10	0.426	0.516	0.653	1.035	1.357	2.201	2.847	3.644	4.405
15	0.454	0.542	0.671	1.011	1.279	1.924	2.378	2.900	3.372
20	0.471	0.557	0.682	1.000	1.241	1.794	2.164	2.577	2.938
25	0.482	0.568	0.690	0.993	1.218	1.718	2.042	2.396	2.699
30	0.490	0.575	0.695	0.989	1.202	1.667	1.963	2.281	2.549
35	0.497	0.581	0.699	0.986	1.191	1.632	1.908	2.200	2.445
40	0.502	0.585	0.702	0.983	1.183	1.605	1.867	2.141	2.369
50	0.509	0.592	0.707	0.980	1.171	1.568	1.810	2.060	2.265
60	0.514	0.596	0.710	0.978	1.163	1.543	1.772	2.007	2.198
70	0.518	0.600	0.713	0.976	1.157	1.526	1.745	1.969	2.150
80	0.520	0.602	0.715	0.975	1.153	1.513	1.725	1.941	2.115
90	0.523	0.604	0.716	0.974	1.149	1.503	1.710	1.920	2.089
100	0.525	0.606	0.717	0.973	1.147	1.494	1.698	1.902	2.067

## Literatura

### a) Populérní

- [1] A. Rényi, Dialogy o matematice, Mladá fronta, Praha 1980.
- [2] V. Dupač, J. Hájek, Pravděpodobnost ve vědě a technice, NČSAV, Praha 1962.

- [3] E. Borel, Verojatnost i doстоверност, Nauka, Moskva 1969.

### b) Učebnice teorie pravděpodobnosti a matematické statistiky

- [4] A. Rényi, Teorie pravděpodobnosti, Academia, Praha 1972.
- [5] B. V. Gnedenko, Kurs teorii verojetnosti, Nauka, Moskva 1969.
- [6] W. Feller, Vvedenije v teoriju verojetnosti i jeje priloženija, Mir, Moskva 1964.
- [7] A. N. Kolmogorov, Osnovnyje ponjatia teorii verojetnosti, Nauka, Moskva 1974.
- [8] B. Riečan, O pravdepodobnosti a mieri, Alfa, Bratislava 1972.
- [9] H. Cramer, Matematičeskiye metody statistiki, Izd. inostr. lit., Moskva 1948.

### c) Statistické metody zpracování výsledků měření

- [10] L. Jánossy, Teoriya i praktika obrabotki rezul'tatov nabljudenij, Mir, Moskva 1968.
- [11] B. Kladivo, Měřické chyby a jejich vyrovnání (podle metody nejmenších čtverců), Přírodovědecké nakladatelství, Praha 1950.
- [12] V. Kubáček, A. Pázman, Štatistické metódy v meraní, Veda, Bratislava 1979.
- [13] D. Hudson, Statistika dlja fizikov, Mir, Moskva 1967.
- [14] W. T. Eadie, D. Dryard, F. E. James, M. Rose, B. Sadoulet, Statističeskiye metody v eksperimental'noj fizike, Atomizdat, Moskva 1976.
- [15] Ju. V. Linnik, Metod najmenších kvadratov i osnovy matematiko-statistickoj obrabotki nabljudenij, GIFML, Moskva 1962.
- [16] R. A. Fisher, Statistical Methods for Research Workers, Oliver and Boyd, Edinburgh 1958.
- [17] G. I. Krasovskij, G. P. Filaretov, Planirovaniye eksperimenta, Izd. BGU, Minsk 1982.